

INSTITUTUL POLITEHNIC TIMISOARA  
FACULTATEA DE ELECTROTEHNICA

ROSU MIHAIL-EUGEN-GRIGORE

T E Z A   D E   D O C T O R A T

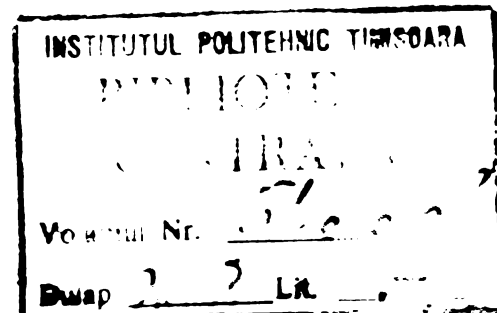
CUPLAREA SIMULTANA A UNITATILOR DE  
DISCURI MAGNETICE LA DOUA SAU MAI MULTE  
SISTEME DE CALCUL

BIBLIOTECA CENTRALĂ  
UNIVERSITATEA "POLITEHNICA"  
TIMISOARA

CONDUCATOR STIINTIFIC

| Prof.Dr.Ing. ALEXANDRU ROGOJAN |

T I M I S O A R A  
1984





ROSU MIHAIL-EUGEN-GRIGORE

T E Z A   D E   D O C T O R A T

CUPLAREA SIMULTANA A UNITATILOR DE  
DISCURI MAGNETICE LA DOUA SAU MAI MULTE  
SISTEME DE CALCUL

CONDUCATOR STIINTIFIC  
Prof.Dr.Ing. MIRCEA PETRESCU

1985

## C U P R I N S

PAG.

<b>CAP - 1 - INTRODUCERE</b>	
1.1. Obiectul lucrarii	1
1.2. Prezentarea generala a lucrarii	5
<b>CAP - 2 - SUBSISTEMUL DE DISCURI MAGNETICE</b>	
2.1. Definirea problemei	15
2.2. Definirea locului SDM in diversele sisteme de calcul	18
2.3. Consideratii tehnologice si economice	22
2.4. Definirea interfetelor SDM	23
<b>CAP - 3 - INTERFATA INTERNA A SDM</b>	
3.1. Grupe functionale	23
3.2. Organizarea interfetei interne a SDM	24
3.3. Dublul acces	28
3.4. Cuplarea simultana a UDM cu diverse capacitatii de inregistrare	29
3.5. Concluzii	32
<b>CAP - 4 - INTERFATA EXTERNA A SDM</b>	
4.1. Clasificarea cuploarelor componente ale SDM	34
4.2. Operatiile de baza executate de cuprul din SDM	35
4.2.1. Operatia de pozitionare a capetelor de scriere/citire (SEEK)	36
4.2.2. Operatia de scriere	36
4.2.3. Operatia de citire	38
4.3. Formatul inregistrarii	42
4.4. Ordinele utilizate pentru comanda SDM	44
4.5. Concluzii	45
<b>CAP - 5 - INTERFATA SISTEMULUI "INDEPENDENT"</b>	
5.1. Organizarea sistemului	46
5.2. Liniile de semnal ale Busului I	48
5.3. Transferul de date	50
5.3.1. Generalitati	50
5.3.2. Transferul de tip INTRARE/INTRARE PAUZA	54
5.3.3. Transferul de tip IESIRE/IESIRE OCTET	58
5.4. Secventa de arbitrage a prioritatii si secventa de intrerupere	60
5.4.1. Structura prioritara	60

5.4.2. Secventa de arbitrage a prioritatii	62
5.4.3. Secventa de intrerupere	66
5.5. Analiza structurii cu mai multe UC	70
<b>CAP - 6 - ALOCAREA TIMPULUI DE LUCRU AL SDM</b>	
6.1. Strategii de alocare	71
6.1.1. Strategii fara reciclaj	71
6.1.2. Strategii de reciclaj	72
6.2. Model de alocare	72
6.2.1. Calculul timpului $A_1$	74
6.2.2. Calculul timpului $A_2$	75
6.3. Calculul timpului de acces la informatie pentru UDM	79
6.3.1. Cazul "cozii de asteptare simple" (FIFO)	80
6.3.2. Cazul "timpului de acces MINIM" (SATF)	80
6.4. Concluzii	81
<b>CAP - 7 - TRATAREA FENOMENULUI DE INTERBLOCAJ</b>	
7.1. Generalitati	83
7.2. Stariile unui sistem	84
7.3. Interblocajul	86
7.4. Remediile interblocajului	90
7.4.1. Prevenirea statica a interblocajului	92
7.4.2. Prevenirea dinamica a interblocajului	94
7.5. Concluzii	96
<b>CAP - 8 - MECANISME DE SINCRONIZARE</b>	
8.1. Principiul de realizare a operatiilor de sincronizare. Semafoare	97
8.1.1. Proprietatile semafoarelor	98
8.1.2. Semafoare de excludere mutuala	101
8.2. Tranzitiile posibile de stare ale procesoarelor	101
8.3. Mecanismele de sincronizare	104
8.4. Concluzii	106
<b>CAP - 9 - LOCUL SDM IN CONFIGURATIILE MULTIPROCESOR</b>	
9.1. Multiprocesorul banalizat	107
9.1.1. Accesul tuturor procesoarelor	

la toate resursele	108
9.1.2. Autonomia proceselor fata de procesoare	109
9.2. Configuratiile cu minicalculatoare "INDEPENDENT"	110
9.3. Influenta introducerii circuitelor VLSI asupra arhitecturii configura- tiilor multiprocesor	112
<b>CAP - 10 - PROBLEMA CONFLICTELOR DE ACCES</b>	
10.1. Analiza teoretica a problemei	116
10.2. Masuratori	119
10.2.1.. Etapa I-a	119
10.2.2.. Etapa II-a	127
10.3. Concluzii	128
<b>CAP - 11 - CUPLAREA SIMULTANA A UDM LA MAI MULTE SISTEME DE CALCUL IN CONTEXTUL MODERNIZARII ARHI- TECTURII CONFIGURATIILOR DE CALCUL</b>	129
<b>CAP - 12 - CONCLUZII</b>	134
PRESCURTARI	137
BIBLIOGRAFIE	138

## CAP.1. INTRODUCERE

Directivele Congresului al XI-lea al P.C.R. prevede in "Obiectivele fundamentale ale etapei urmatoare a istoriei Romaniei socialiste" ca in anii urmatori electrotehnica si indeosebi electronica vor cunoaste o puternica dezvoltare. Va trebui asigurata producerea in tara a mijloacelor de calcul, de automatizare si conducere necesare activitatii economice si de productie. La Conferinta Nationala a P.C.R. din 7 - 9 decembrie 1977 se prevede ca "in industria electronica se va urmari asimilarea si dezvoltarea productiei de noi tipuri de calculatoare electronice, inclusiv echipamentele periferice aferente".

In acest context a fost creat si s-a dezvoltat Institutul de Cercetari pentru Tehnica de Calcul, in cadrul caruia s-au desfasurat lucrarile legate de prezenta teza de doctorat.

### 1.1. *Obiectul lucrarii*

Scopul lucrarii este de a studia cuplarea simultana la doua sau mai multe sisteme de calcul a unitatilor de discuri magnetice.

Problema cuplarii echipamentelor periferice la sistemele de calcul este sumar tratata in literatura de specialitate. Ponderea principala este ocupata de filozofia si structura sistemelor si a unitatilor centrale. Intrarea-iesirea este tratata global, facindu-se anumite analize privind influenta rezolvarii problemei intrarii-iesirii in vedere obtinerii unor performante ridicate ale sistemului propriu-zis. Firmele specializate in fabricarea echipamentelor periferice livreaza o documentatie foarte buna asupra echipamentului elaborat, dar nu publica nimic asupra lucrarilor de cercetare-dezvoltare efectuate in scopul elaborarii echipamentului. Acelasi procedeu este folosit la marile firme producatoare de sisteme de calcul. Departamentele de cercetare ale acestor firme desfasoara lucrari de inalt nivel stiintific, finalizeate prin rezultate superioare fata de nivelul tehnic al produselor din productia curenta. Interesele comerciale, dicteaza firmelor sa nu introduca in productie un produs nou, atita timp cit vechiul produs se vinde bine si pina cind alte firme nu comercializeaza un produs superior. Aceasta politica aplicata in tarile capitaliste, face ca in literatura de specialitate sa apară ori

numai studii pur teoretice a caror aplicare practica pre-supune un mare volum de munca suplimentar de cercetare si dezvoltare, ori o prezentare de prospect si scolarizare care reprezinta descrierea unor produse cercetate cu mai multi ani in urma. Aceasta este in momentul de fata stadiul posibilitatilor de documentare pentru rezolvarea problemei propuse.

Problema cuplarii simultane a unitatilor de discuri magnetice la doua sisteme de calcul a fost actuala in perioada 1970 - 1972 cind se cerea o rezolvare optima a variantei "dublului acces", apoi a pierdut din interes in intervalul 1975 - 1978, pentru ca sa devina actuala in prezent datorita dezvoltarilor tehnologice in domeniul circuitelor integrate si a relativei dezvoltari lente a tehnologiei echipamentelor periferice. Decalajul tehnologic aparut intre dezvoltarea rapida a circuitelor integrate si dezvoltarea mai lenta a echipamentelor periferice, a dus si la un decalaj valoric intre acestea, astfel ca la anumite sisteme de calcul este avantajoasa utilizarea in comun de catre mai multe procesoare, a unui grup de echipamente periferice. Unitatile de discuri magnetice au evoluat destul de mult in ultimii 10 ani pretul unei unitati a ramas aproape constant, insa pretul de stocare al informatiei a scazut cu mai mult de un ordin de marime prin cresterea corespunzatoare a capacitatii de stocare. In acest context se pot face modificari in arhitectura sistemelor, studiul aspectelor teoretice, practice si economice ale unor configuratii biprocesor sau multiprocesor care utilizeaza in comun acelasi Subsistem de discuri magnetice fiind de actualitate. De asemenea prezinta interes pina la ce nivel se poate da acestui subsistem o independenta relativa fata de procesoarele din sistem, care este puterea de calcul si care functii software din Sistemul de Operare pot fi preluate de hardware-ul din subsistem. Aceste modificari in arhitectura sistemului ridica probleme noi fata de cazul unor structuri clasice, lucrarea catutind sa puna in evidenta aceste probleme, sa stabileasca implicatiile si dimensiunea acestora si sa dea caile de rezolvare.

Unitatile de cuplare pentru discurile magnetice, utilizate pina in prezent in sistemele cunoscute elaborate de mari firme constructoare de calculatoare (IBM, DEC, CDC, SIEMENS, ICL, etc.) sunt simple cuploare care realizeaza

za functiile de transfer intre unitatea centrala sau un canal de intrare-iesire si echipamentele periferice propriu-zise. Cele mai moderne modele realizeaza pe linda detectia si uneori corectia erorilor si o testare ("in-line") a unui echipament periferic, simultan cu exploatarea normala a celorlalte echipamente. Modelele mai moderne fiind microprogramate permit o eventuala dezvoltare ulterioara a microprogramelor in vederea realizarii unor functiuni suplimentare.

Acesta fiind stadiul actual al rezolvarii teoretice si practice a problemelor din domeniul abordat, se impune analiza completa a tuturor aspectelor hardware si software legate de acest domeniu de interes si sistematizarea succinta a elementelor necesare pentru o dezvoltare completa a problemei. Lucrarea urmareste realizarea unui cadru teoretic care sa permita dezvoltarea unor dispozitive hardware de cuplare optima a unitatilor de discuri magnetice. Daca pina acum problema era tratata separat hardware si software, adica dispozitivul de cuplare propriu-zis si respectiv driverul aferent din Sistemul de Operare, in lucrare se analizeaza totul ca o problema unitara. In acest mod se studiaza posibilitatea transferarii unor functii software in hardware-ul cuplorului. De asemenea se studiaza posibilitatea cuplarii la mai multe sisteme de calcul, aparind notiunea de Subsistem de discuri magnetice. Se studiaza implicatiile acestor schimbari si modul adevarat de solutionare:

- alocarea timpului de lucru al Subsistemuil de discuri magnetice necesita analizarea strategiilor de alocare si a timpilor de acces la informatie si a stabilirii unui model de alocare adevarat.

- fenomenul de interblocaj specific Sistemului de Operare, poate apărea acum în interiorul Subsistemuil de discuri magnetice, fiind un fenomen interzis, deci se impune analizarea condițiilor în care apare și a gasirii metodelor de prevenire.

- sincronizarea unor lucrări paralele care se pot desfășura în cadrul Subsistemuil de discuri magnetice necesita analizarea mecanismelor de sincronizare și a modalităților de sincronizare cu semafoare.

- problema conflictelor de acces la informatie, unde după analizarea teoretică a problemei, s-a stabilit un algoritm și o metodă de măsuratoare și de verificare a jus-

tetii algoritmului.

In perioada 1972 - 1982 autorul a lucrat la tema de cercetare si elaborare a unor subansamblle ale Sistemului de discuri magnetice cum ar fi: Unitatea de discuri magnetice DM-29 si minicalculatorul INDEPENDENT-100, precum si la lucrari complexe cu minicalculatoare unde Subsistemul de discuri magnetice a fost utilizat in comun de doua sisteme de calcul cum au fost : "Sistemul de supraveghere a instala-tiilor de la OLTCIT - Craiova" si "Sistemul de avertizare hidrometeorologica la inundatii I.M.H.". Aceste elemente au constituit o platforma de observatii si experimentari care au dus la elucidarea teoretica si practica a unor aspecte legate de cuplarea simultana a unitatiilor de discuri magne-tice la mai multe sisteme de calcul. Pentru aprofundarea problemei a fost elaborata o metoda de simulare, prin care se probeze similitudinea intre calculele teoretice si re-zultatele masuratorilor facute pe sisteme INDEPENDENT-100.

Principalele contributii ale autorului la dezvoltarea acestei lucrari privesc :

- realizarea "grupului unic" si a "modulului virtu-al" pentru utilizarea simultana a unitatiilor de discuri mag-netice de diverse capacitatii;
- cercetarea unor metodologii de calcul a timpului de acces la informatie pentru stabilirea unor algoritmi de acces imbunatatit;
- analizarea unor strategii de alocare, a fenomenu-lui de interblockaj si a sincronizarii cu semafoare la nive-lul Subsistemului de discuri magnetice;
- elaborarea unei proceduri de evaloare a coeficien-tului real de utilizare a Subsistemului de discuri magnetice si realizarea de masuratori pe un montaj de simulare si pe o configuratie reala biprocesor;
- analiza transferului unor functiuni software din Sistemul de Operare la hardware-ul Subsistemului de discuri magnetice.

S-a cautat ca pe linda metodele si rezultatele ori-ginale, sa se realizeze si o sistematizare a problemelor le-gate de acest domeniu de interes. Lucrarea isi propune sa elucideze toate aspectele legate de cuplarea simultana a unitatiilor de discuri magnetice la mai multe sisteme de cal-cul.

Rezultatele obtinute pot fi utilizate la realizarea

unui asemenea Subsistem, proiectantului fiindu-i puse la dispozitie elementele necesare dezvoltarii practice a lucrării.

Din punctul de vedere al organizării, lucrarea este împărțita în 12 capitole, mentionind faptul că începând cu capitolul 2 noțiunile întâlnite mai frecvent în cursul lucrării, au fost prescurtate. Structura lucrării poate fi expusă prezentând pe scurt, în cele ce urmează, continutul acestor capitole.

### 1.2. Prezentarea generală a lucrării

1.2.1. Capitolul 1, de introducere, precizează obiectul lucrării. În continuare se face o prezentare generală a continutului lucrării și a contribuțiilor originale aduse de autor.

1.2.2. În capitolul 2 este prezentat Subsistemul de discuri magnetice. Se definește noțiunea de Subsistem de discuri magnetice ca un ansamblu fizic format din echipamentul periferic propriu-zis adică unitatile de discuri magnetice, cuplurile necesare legării acestora la sistemul de calcul, cablurile de legătură între echipamentele periferice și cupluri, precum și în anumite cazuri asigurarea software specifică anumitor funcții. Aceasta definire este necesară în vederea delimitării subsistemului, a funcțiilor sale, pentru realizarea unui tot unitar cu o independentă funcțională maximă față de restul sistemului. În acest fel se pot face studii care să duca la alegerea unor soluții optime de interconectare și implicit de minimizare a suportului software-ului aferent din Sistemul de Operare. Un alt avantaj care rezultă prin utilizarea noțiunii de subsistem se referă la posibilitatea definiției unei magistrale unice de conectare a subsistemului cu restul configurației de calcul, creându-se posibilitatea analizei aprofundate a dialogului de informații pe această magistrală și astfel alegerea unor soluții care să duca la obținerea unui randament maxim al comunicațiilor pe magistrala respectivă. Se urmărește obținerea unui principiu unic de interconectare.

Se analizează problema cuplării simultane a unităților de discuri magnetice la două sau mai multe sisteme de calcul, în contextul dezvoltării tehnologice actuale. Dacă în perioada 1975 - 1982 unitatile de discuri magnetice disponibile la noi au ramas aceleasi avind capacitatea maxima de 58 Moct., sistemele de calcul au evoluat mult în concordanță cu dezvoltările tehnologice din domeniul circuitelor

integrate precum si cu noile concepte arhitecturale. Apariția sistemelor minicalculator a reactualizat problema cuplării simultane. La vechile sisteme de tip FELIX C-256 rezolvarea problemei a constat în realizarea "dublului acces" prin care două sisteme de calcul puteau lucra cu aceleasi unitati de discuri magnetice echipate cu o interfata dubla. La noile sisteme cuplarea simultana poate lua insa mai multe aspecte. Sistemele minicalculator ieftine dar cu mare putere de calcul, vor putea utiliza în comun un grup de echipamente periferice cu preturi unitare relativ ridicate.

Se defineste locul Subsistemului de discuri magnetice in sistemul de calcul. La sistemele din generatia a 3-a reprezentate de familia FELIX C-256 (sisteme cu logica cablata), Subsistemul de discuri magnetice este cuplat la un Canal Multiplexor functiile sale fiind limitate. Modificarea structurii cablate este foarte greoarie, de multe ori imposibila, astfel ca la aceste subsisteme nu s-au putut aduce îmbunătătiri. Subsistemul a devenit mai flexibil prin realizarea cuploarelor cu structura microprogramata, unde se implementaza o serie de functii noi. De asemenea noile structuri minicalculator de tip INDEPENDENT-100 au permis operarea de modificari pozitive in ansamblul subsistemului.

In continuare se pun in evidenta strategiile de proiectare in corelatie cu parametrii: pret si performante. Se evidențiaza pastrarea unor preturi constante cu realizarea unor performante sporite, politica urmarita si la elaborarea familiei INDEPENDENT, sau pastrarea performantelor cu preturi de realizare mai mici. Pentru obtinerea performantelor de virf dinamica preturilor va fi pozitiva. Realizările tehnologice din domeniul circuitelor integrate duc indirect la minimizari ale surselor de alimentare, a sistemului de ventilatie, a suprafetei de circuit imprimat deci la micsorarea pretului global.

In incheiere se nominalizeaza cele două interfete ale subsistemului de discuri magnetice si anume interfata interna intre cupluri si unitatile de discuri magnetice si interfata externa intre cupluri si sistemul de calcul propriu-zis.

1.2.3. Capitolul 3 este dedicat interfetei interne a Subsistemului de discuri magnetice. Cu toata diversificarea tipurilor de unitati de discuri magnetice si de multitudinea firmelor producatoare, datorita functiilor pe

care trebuie sa le indeplineasca echipamentul, semnalele de interfata interna sunt aproximativ aceleasi factorii de diferenta fiind anumite sechete de dialog, nivelul semnalelor si conectorii de legatura. Se face o clasificare a unitatilor pe grupe functionale.

Semnalele interfetei interne sunt analizate luindu-se ca model unitatea DM-29 cu capacitatea de inregistrare de 29 Moct., realizata de un colectiv condus de autor. Se evidențiază semnalele comune tuturor unitatilor și semnalele specifice unei unitati separate, precum și modul de organizare a cuplarii. Se nominalizează cele opt semnale de esantionare și se arată semnificatia semnalelor pe linile bidirectionale care asigura legatura de date a unitatilor cu cuploul. Dialogul intre cupluri si unitati este pus in evidenta prin exemplificari.

Lucrul in regim de dublu acces prezinta doua posibilitati si anume dublul acces monocalculator unde unitatile de discuri magnetice cu dublu acces sunt cuplate la acelasi calculator prin doua cuploare si dublu acces bicalculator unde fiecare din cele doua cuploare este legat la cte un calculator separat. Sunt nominalizate semnalele specifice dublului acces.

Pentru realizarea cuplarii simultane la acelasi cupluri a unitatilor de discuri magnetice de capacitatii diferite, se defineste notiunea de unitate cu capacitate "majora" si de "module virtuale" formate din unitati cu capacitatea submultiplu al capacitatii "majore". Solutia prezentata este originala, permitind utilizarea alaturi de unitatile moderne a unitatilor mai vechi cu capacitate de inregistrare mai mica. In configuratia clásica apare un element nou "adaptorul", pentru care se pun in evidența functiile pe care trebuie sa le indeplineasca. Utilizarea modulelelor virtuale are efecte pozitive asupra modului de acces la informatie stocata pe unitatile de discuri magnetice care compun modulul, obtinindu-se o sporire a vitezei de transfer a informatiei.

1.2.4. Capitolul 4 referitor la interfata externa a Subsistemuilui de discuri magnetice incepe cu clasificarea cuploarelor care intra in componenta subsistemului, trebuind subliniat faptul ca modul de lucru asincron este cel mai favorabil pentru realizarea dialogului in cadrul sistemului de calcul. De mentionat ca, la cuploarele reali-

zate pînă în prezent nu s-a facut o trecere a unor funcții software existente în Sistemul de Operare în hardware-ul specific cuplului. De asemenea interfața externă a subsistemului nu a fost studiată și optimizată tinindu-se seama de toate particularitățile cuplului pentru unitatile de discuri magnetice.

Se enumera operațiile de bază executate de subsistem facîndu-se o sistematizare a acestora în legătura cu organizarea subsistemului în subansamblu funcționale. Aceasta defalcare permite o mai bună punere în evidență a minioperațiilor ce trebuie executate, a subruteinelor de comandă ce vor fi luate în considerare și în final, obținerea de informații ce pot fi utilizate la optimizarea subsistemului în ansamblu. Se evidențiază operația de premarcare a pachetului de discuri, detaliindu-se operațiile de poziționare, scriere și citire. Un element care trebuie avut în vedere în scopul realizării unor compatibilități între diversele unități de discuri magnetice, este formatul înregistrării. În acest scop se face o analiză a elementelor constitutive ale unui format de înregistrare.

În continuare sunt tratate ordinele utilizate pentru comandă subsistemului, urmărindu-se principiul de realizare a transferului de informație. Alegerea unor ordine puternice dar simple ca structură permite transformarea subsistemului într-un Subsistem de Intrare-Iesire cu autonomie de calcul, care să poată prelua o parte din sarcinile îndeplinite în prezent de Sistemul de Operare și implicit să descongestioneze procesorul central parțial sau în anumite cazuri total de sarcinile transferului, prelucrării și optimizării informațiilor.

1.2.5. În capitolul 5, cu scopul de a analiza rolul interfeței în rezolvarea problemei cuplării simultane a unor unități de discuri magnetice la două sau mai multe sisteme de calcul, se studiază interfața sistemului minicomputer INDEPENDENT-100 și măsurile luate pentru ca aceasta interfață să concureze la rezolvarea acestui deziderat. La minicomputerul I-100 urmărindu-se realizarea unui sistem de calcul eficient și compatibil cu sistemele firmei DEC din S.U.A. și cele realizate în țările socialiste, s-a ales ca element de compatibilitate interfața sistemului. Conceptia interfeței a permis realizarea unei compatibilități totale software cu aceste sisteme. Interfața este

constituită din două magistrale, dintre care una dedicată memoriei operative a sistemului. Se studiază posibilitatea creării de sisteme multiprocesor în jurul celor două magistrale. Problema dificilă este aceea a realizării unui arbitru de priorități eficient care să gestioneze folosirea magistrelor. Apare problema conflictelor de acces care va fi studiată în amanuntele în capitolul 10. În continuare se face o analiză detaliată a principiului de funcționare a magistralei alese, pentru a se putea trece la magistrelle multiprocesor. Rezolvarea acestei probleme este originală și implicit reprezintă o soluție pentru cuplarea simultană la mai multe sisteme de calcul a unor subsisteme de intrare-iesire.

1.2.6. La Subsistemul de discuri magnetice care lucrează ca un subsistem independent apar probleme legate de alocare timpului de lucru. Există două domenii de studiu și anume: cum să se aloce timpul efectiv de lucru al subsistemului pentru rezolvarea anumitor lucrări și care este timpul de acces la informația stocată pe echipamentul periferic respectiv. Aceste aspecte sunt tratate în capitolul 6. După ce se face o analiză a unor strategii de alocare, se trece la calculul timpului de alocare. Se constituie un model de alocare care funcționează după următorul algoritm: orice lucrare primește odată o singură cuantă de timp a cărui durată este predeterminată, o lucrare liberează subsistemul atunci cind se termină lucrarea sau cind ajunge la sfîrșitul cuantei repartizate, la eliberare subsistemul este alocat lucrării care a primit cele mai puține cuante. S-a folosit o strategie de ordonare cu mai multe nivele în care lucrările sunt aranjate în siruri de priorități diferite considerindu-se că cererile sosesc după o distribuție Poisson cu un debit mediu  $\lambda$ . Modelul de alocare permite prin varierea parametrilor să se utilizeze calculatorul pentru gasirea unor variante convenabile de alocare. Metoda s-a substituit utilizării unui simulator hardware, a cărui elaborare ar fi prezentat dificultăți constructive. În cadrul Subsistemului de discuri magnetice durata unei cuante poate fi aleasă să coincidă cu lungimea unui sector, a unei piste sau a unui cilindru, sau la o metodă mai complicată dar mai eficientă se poate lucra cu cuante de durată variabilă în concordanță cu lungimea înregistrării dacă pe durata acestei înregistrări nu apar mișcări ale an-

sambului de pozitinare a capetelor de scriere-citire. La Subsistemul de discuri magnetice metodele de alocare se pot aplica eficient, deoarece inregistrarea propriu-zisa are in componenta sa elemente informationale suficiente, care indica lungimea inregistrarii, locurile libere unde se pot face inregistrarile (in cazul operatiei de scriere) si locul unde este plasata inregistrarea (in cazul operatiei de citire).

Timpul de acces la informatie a fost calculat in cazul "cozii de asteptare simple" (FIFO) si in cazul "timpului de acces minim", observindu-se o crestere a eficientei lucrului in cazul al doilea, odata cu cresterea numarului de cereri simultane.

1.2.7. Transferarea unor sarcini din Sistemul de Operare la nivelul Subsistemului de discuri magnetice implica si transferul rezolvarii unor probleme care aparau in software. Un fenomen suparator este "interblocajul", fenomen prin care in operatia de cerere si repartizare a resurselor catre diverse procesoare poate sa apara situatia ca acestea sa se blocheze reciproc. Fenomenul de interblocaj este tratat in capitolul 7, urmarindu-se gasirea unor solutii de detectare si preventie a fenomenului. Se incepe prin descrierea starii unui sistem si a modului in care se poate trece dintr-o stare in alta. Se defineste notiunile de: resursa ceruta si resursa alocata precum si operatiile de: cerere, achizitie si liberare de resurse.

Pentru intuirea momentului in care poate sa apara interblocajul sau a momentului cind fenomenul nu a aparut inca dar nu mai poate fi evitat, s-a ales metoda reprezentarilor grafice. Rezulta importanta ordinei de repartizare a resurselor pentru evitarea fenomenului de interblocaj.

Se face o tratare teoretica a posibilitatilor de stabilire a starii unui sistem si a faptului daca acesta este sau nu in situatie de interblocaj. Apoi se dezvolta teoretic problema remedierii interblocajului. Exista doua tipuri de metode: metode de detectare si deblocare si metode de preventie. S-a ales solutia preventiei interblocajului ca metoda mai eficienta. Analiza teoretica s-a facut prin eliminarea din mecanismul de alocare a tuturor situatiilor care puteau conduce la interblocaj, pornind de la o stare initiala in care nu exista interblocaj.

La Sistemul de Operare se admiteau citeodata situatii de interblocaj care puteau fi rezolvate prin anularea unor procese care au condus la interblocaj si reluarea lor intr-un context favorabil. In cazul Subsistemului de discuri magnetice privit ca un

sistem comun unei configuratii multiprocesor, interblocajul este un fenomen interzis, care trebuie evitat pentru a se asigura configuratiei o functionare continua. De aceea se va lucra cu metode de preventie a interblocajului, metoda dinamica fiind cea mai utila. Fiecare proces va trebui sa faca o cerere initiala de resurse subsistemul fiind responsabilul evitarii interblocajului si a rezolvarii globale eficiente a acestor cereri.

1.2.8. Capitolul 8 analizeaza mecanismele de sincronizare, necesare sincronizarii microprogramelor si lucrarilor care se desfasoara simultan in cadrul Subsistemuil de discuri magnetice. Se defineste notiunea de semafor  $s$ , caracterizat prin variabila intreaga  $e(s)$  si sirul de asteptare  $f(s)$ , precum si notiunile de primitiva P si primitiva V prin care se poate actiona asupra semaforului  $s$ . Se descriu proprietatile semafoarelor si operatiile de sincronizare ce se pot executa cu ajutorul acestora. Se evidentaaza semafoarele de excludere mutuala.

Intre diverse procese apar interactiuni datorate de exemplu utilizarii acelorasi resurse. Pentru a intelege mai bine aceste interactiuni si modul de actionare, s-au analizat tranzitiile posibile de stare ale proceselor. Operatiile de sincronizare s-au regrupat pe patru tipuri: creere, punere in asteptare, activare si inchidere.

In continuare se analizeaza mecanismele de sincronizare propriu-zise, mecanisme ce trebuie sa fie independente de viteza de executie. Se exemplifica mecanismul de sincronizare cu semafoare, alegindu-se doua operatii reale pe care trebuie sa le rezolve subsistemul si anume: operatia de "scriere initiala" a parchetului de discuri si operatia de comanda a unui microprogram prin intermediul altor microprograme generale sau speciale.

Rezolvarea problemei sincronizarilor specifice in cadrul Subsistemuil de discuri magnetice, concura la realizarea unei independente reale a sistemului fata de restul configuratiei.

1.2.9. Capitolul 9 delimita locul Subsistemuil de discuri magnetice in configuratiile multiprocesor. Pentru studiul teoretic al problemei se defineste notiunea de "multiprocesor banalizat" ca un sistem cu o memorie unica partajata de mai multe procesoare fiecare din acestea putind executa toate procesele existente in sistem. Notiunea a fost extinsa prin utilizarea unui Subsistem de discuri magnetice unic, corect dimensionat pentru a face fata tuturor sarcinilor ce apar fata de sistem. Se grupeaza consecintele definitiei multiprocesor-

lui banalizat asupra structurii in urmatoarele grupe: accesul tuturor procesoarelor la toate resursele, autonomia proceselor fata de procesoare si autonomia proceselor unul fata de celalte.

In continuare se analizeaza diverse configuratii organizate cu minicalculatoare INDEPENDENT-100, la care s-a urmat cuplarea simultana a unitatilor de discuri magnetice la doua calculatoare. Se disting doua solutii si anume: realizarea unui grup de unitati de discuri magnetice care se comuta printr-o logica de comutare la cuplarele specifice apartinind sistemului de calcul si utilizarea unor comutatoare de busuri care permit cuplarea Subsistemuilui de discuri magnetice la sistemele de calcul.

Arhitectura configuratiilor multiprocesor a evoluat in concordanta cu dezvoltarea tehnologica a circuitelor VLSI. Odata cu aparitia noilor posibilitati de realizare a configuratiilor multiprocesor au aparut si noi probleme, ca de exemplu: modul de conectare al procesorului cu memoria si sistemul de intrare-iesire, care pot fi subansamblu unice ale configuratiei. Dintre solutiile posibile de solutionare a problemei, varianta configuratiei cu busuri comune este mai simpla si mai ieftina. In arhitectura actuala sarcinile de intrare-iesire sunt rezolvate de Unitatea Centrala. Performantele sistemului nu pot fi ameliorate substantial decit prin schimbarea conceptiei arhitecturale, un punct de interes fiind organizarea Sistemului de Intrare-Iesire cu autonomie in ceea ce priveste posibilitatile de calcul si gestiune a informatiilor. Problema definirii unei arhitecturi de intrare-iesire se apropie foarte mult de problema definirii arhitecturii retelei de calculatoare. Problema descentralizarii puterii de calcul, de fapt este o problema a manirii puterii de calcul in ansamblu si permite o micsorare a legaturilor cu procesoarele propriu-zise. Se analizeaza o arhitectura distribuita de intrare-iesire, organizata pe patru nivele de protocol si care utilizeaza mesaje de control orientate. In incheiere sunt analizate avantajele implementarii acestor nivele cu microprocesoare VLSI urmarindu-se realizarea de configuratii cu fiabilitate sporita.

1.2.10. Pentru sistemele de calcul nu s-a studiat inca in exploatare, coeficientul real de utilizare al Subsistemuilui de discuri magnetice. Folosind o metoda originala s-au studiat rezervele subsistemului, stabilindu-se limitele pina la care considerentele de ordin economic nu

duc la diminuarea performantelor tehnice. Performantele pot fi diminuate mult de conflictele ce apar in momentul in care mai multi utilizatori solicita simultan un subansamblu utilizat in comun. Problema conflictelor de acces este tratata in capitolul 10, capitol care incepe cu analiza teoretica a problemei in cazul in care "n" procesoare impart accesul la acelasi Subsistem de discuri magnetice. Procesoarele active pot sa se gaseasca fata de subsistem in una din urmatoarele stari: "executie", "in asteptare" si "in acces". Notind cu  $\beta$  inversul valorii medii a timpului de acces la subsistem pentru un procesor dat, posibilitatea ca acest procesor sa se afle "in acces" este dat de relatie:

$$f(t) = \beta e^{-\beta t}$$

Notind cu  $\alpha$  inversul valorii medii a timpului care separa pentru un procesor dat un sfarsit de acces si cерearea urmatoare de acces, posibilitatea ca procesorul sa treaca din starea "executie" in una din celelalte doua stari este data de relatie :

$$f(t) = \alpha e^{-\alpha t}$$

Pornind de la aceste posibilitati s-a stabilit formula de calcul a unui coeficient "k" de multiplicare al timpului de executie, functie de numarul mediu de procesoare care se afla in asteptarea unui acces.

Pentru verificarea partii teoretice s-a imaginat o metoda de masura, utilizindu-se un sistem monoprocesor impreuna cu un montaj care simuleaza prezenta in configuratie a unor procesoare suplimentare, prin simularea acceselor. Montajul a permis determinarea repartitiei duratei acceselor pe intervale de timp. Masuratorile s-au facut cu un sistem INDEPENDENT-100 pe care s-a rulat un lant de programe alcătuit pentru receptionarea sistemului. Pe baza masuratorilor s-au ridicat curbele acceselor libere, curbe de forma:

$$N = N_0 [1 - F(\Delta t)]$$

unde:  $N_0$  - valoarea la originea curbelor si  $F(\Delta t)$  functia de distributie a perioadelor de acces sau respectiv a perioadelor fara acces.

Masuratorile s-au facut pentru un subsistem cu unul sau doua echipamente periferice. Rezultatele masuratorilor

au confirmat justitia metodei de masura.

S-au facut masuratori suplimentare pe o configuratie biprocesor utilizind doua sisteme INDEPENDENT-100 cuplate la subsistem printr-un comutator de busuri, rezultatele fiind in concordanta cu cele obtinute prin calcule teoretice si la masuratorile facute cu simulatorul. Verificarea practica a analizei teoretice ne permite extinderea metodei de la sistemele biprocesor si la sistemele multiprocesor. Configuratiile obtinute permit o utilizare mai eficienta a echipamentelor periferice, fara ca performantele de ansamblu ale configuratiei sa aiba de suferit.

1.2.11. Capitolul 11 este un capitol de sinteza bazat pe analiza unor probleme puse in evidenta in capitolele precedente. Sunt enumerate elementele Sistemului de Intrare-Iesire din Sistemul de Operare, urmarindu-se posibilitatea transferarii acestora in cadrul Subsistemului de discuri magnetice. Sunt punctate probleme care pot fi studiate si dezvoltate in continuare la nivelul Subsistemului de discuri magnetice, in vederea maririi eficientei acestora.

1.2.12. Lucrarea se incheie cu o serie de concluzii grupate in capitolul 12. S-a cautat realizarea unui studiu complex al problemei cuplarii simultane a unitatilor de discuri magnetice la mai multe sisteme de calcul, urmarindu-se sistematizarea si punerea in evidenta a factorilor deja relevati in lucrările de specialitate, precum si prelevarea unor factori noi care sa constituie elemente de baza pentru realizarea unui Subsistem de discuri magnetice eficient in contextul modernizarii arhitecturii sistemului de calcul. Nu s-a procedat la proiectarea subsistemului, scopul lucrarii fiind analiza teoretica aprofundata a domeniului, aparind aspecte originale, pentru anumite directii putindu-se gasi rezolvari viabile, in timp ce alte directii sunt doar punctate in vederea unor rezolvari posibile ulterioare. Contributiile originale mai importante se refera la:

- prezentarea unitara a aspectelor teoretice si practice legate de cuplarea simultana a unitatilor de discuri magnetice la mai multe sisteme de calcul;
- studiul analitic al interfetelor Subsistemului de discuri magnetice in vederea realizarii unor interfete universale care sa permita cuplarea simultana;
- realizarea "grupului unic" si a "modulului virtual" in vederea utilizarii simultane a unitatilor de discuri mag-

netice de diverse capacitatii;

- stabilirea unei metodologii de calcul a timpului de acces la informatie in vederea alegerii unor algoritmi de acces imbunatatiti;

- studiul la nivelul Subsistemului de discuri magnetice a strategiilor de alocare, a operatiilor de sincronizare cu semafoare si a evitarii fenomenului de interblocaj;

- elaborarea unei proceduri de stabilire in exploatare a coeficientului real de utilizare a Subsistemului de discuri magnetice si realizarea de masuratori pe un montaj de simulare si pe o configuratie reala biprocesor;

- prelevarea unor elemente din Sistemul de Operare care se pot transfera in cadrul Subsistemului de discuri magnetice in vederea realizarii unui subsistem cu o independenta functionala cit mai ridicata.

\*

\* \* \*

Prezenta lucrare s-a desfasurat sub directa si permanenta coordonare stiintifica a Prof.Dr.Ing. Alexandru Rogojan personalitate care a influentat puternic asupra formarii autorului ca specialist in domeniul Tehnicii de Calcul inca din anul 1964, impreuna cu Conf.Dr. Strugaru si Conf. Dr. Pop Vasile.

Tin sa multumesc de asemenea tov.Gral.Dr.Ing. Dinu Buznea si Dr.Ing. Vasile Baltac oameni de stiinta care au detinut rolul de pionieri in acest domeniu si care au avut bunavointa sa-mi impartaseasca permanent din experienta lor. Multumesc si tatalui meu care m-a ajutat in momentele cind voiam sa renunt.

## CAP.2. SUBSISTEMUL DE DISCURI MAGNETICE

### 2.1. Definirea problemei

Se defineste notiunea de "Subsistem de discuri magnetice" (SDM) ca ansamblul fizic format din unitatile de memorie cu discuri magnetice (UDM) (echipamentul periferic

propriu-zis), cuploul pentru legarea UDM la sistemul de calcul, cablurile de legatura intre UDM si cupluri, precum si in anumite cazuri (ex: structurile microprogramate) asigurarea software specifica. SDM este parte constitutiva a oricarei configuratii de calcul care are in componenta sa UDM.

Necesitatea utilizarii noțiunii de SDM a aparut odata cu modernizarea arhitecturii sistemelor de calcul, arhitectura cu multe parti componente, unde delimitarea unor subsisteme permite o abordare mai usoara a problemelor hardware si software ce apar. Un subsistem trebuie sa constituie un ansamblu de sine statator, cu interfata si cu anumite raporturi de cooperare bine definite fata de alte subsisteme. Aceasta conceptie permite o simplificare necesara studierii teoretice a configuratiilor complexe pentru gasirea unor solutii de interconectare optime si pentru minimizarea partilor aferente acestor interconectari din Sistemul de Operare (S.O.). Conceptia permite standardizarea magistralelor (in lucrare va fi utilizat in continuare termenul "bus", termen care s-a impus in literatura de specialitate) si realizarea unui principiu unic de interconectare. In acest fel se pot concepe configuratiile "fault-tolerante", la care aparitia unui defect intr-un subsistem sa poata fi ignorata prin "reconfigurarea" configuratiei si preluarea sarcinilor subsistemului defect de catre alt subsistem cu functii identice. Realizarea fizica a acestor concepte a devenit posibila datorita progreselor tehnologice inregistrate in domeniul circuitelor integrate in ultimii cinci ani. Micropresesoarele VLSI pe 16 biti si memoriile cu peste 64 Kbiti pe circuit integrat permit realizarea unor astfel de structuri la preturi de cost convenabile. Inglobarea in hardware a unor noi functii, duce la simplificarea asigurarii software si implicit la ieftinirea sa.

Problema cuplarii simultane a UDM la doua sau mai multe sisteme de calcul, se pune de asemenea diferit in conditiile actuale fata de modul posibil de rezolvare la nivelul sistemelor de calcul din generatia 3-a. Aceste sisteme utilizeaza pentru cuplarea echipamentelor periferice canale selectoare sau multiplexoare, realizarea unor cupluri cu dublu acces sau utilizarea unor UDM cu dublu acces fiind singurele solutii abordabile, solutii destul de simple din punct de vedere hardware, dar care au ridicat multe probleme software legate de "rezervarea" la un anumit moment a re-

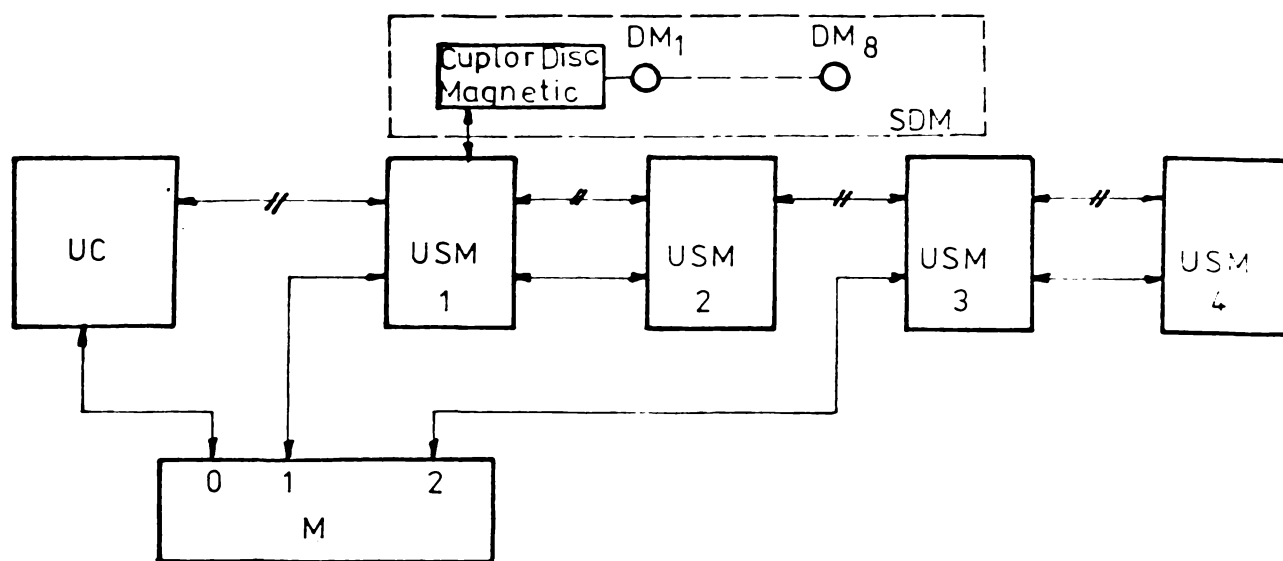


Fig. 2.1. Schema bloc a unei configuratii FELIX C-256.

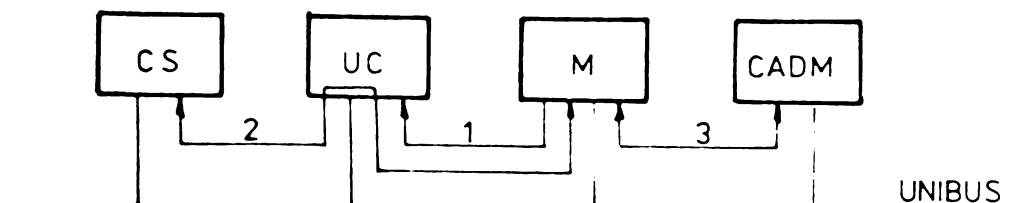
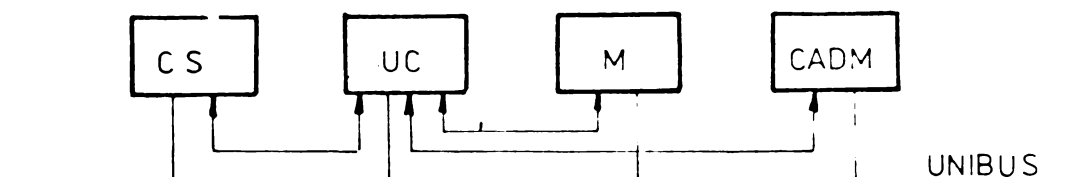


Fig.2.2.Schema bloc a unei configuratii cu bus comun(UNIBUS).

a. Schema transferului de comenzi si informatii.

b. Schema transferului de date (1.UC-M; 2.CS-M; 3.CADM-M)

5160634

surselor si a impartirii capacitatii utile intre doua sisteme de calcul. UDM aveau o capacitate maxima pe unitate de pina la 200 Moct., iar un cuplaj era conceput pentru a lega pina la opt UDM, deci se putea realiza o capacitate totala a memoriei externe cu discuri magnetice de 1600 Moct., suficienta pentru doua sisteme de calcul de tipul FELIX C-256. La noi in tara capacitatea maxima a unei UDM era in 1975 de 7 Moct., iar din 1975 pina in prezent UDM disponibile au capacitatea maxima de 58 Moct. In aceste conditii tinind cont si de pretul ridicat al unei UDM, nu s-a putut forma o capacitate de memorie cu discuri magnetice destul de mare, pentru a justifica utilizarea sa simultan de mai multe sisteme de calcul. Un alt impediment a fost ca tehnologia generatiei a 3-a era scumpa, astfel ca putini utilizatori au putut sa cumperi mai multe sisteme de calcul.

Aparitia sistemelor minicalculator care au fost placeate intr-o generatie intermediara, numita 3,5 a readus in actualitate problema cuplarii simultane a UDM la mai multe sisteme, deoarece aceste sisteme au un cost mult mai mic, iar capacitatile UDM satisfac pe deplin necesitatile de calcul ale acestora. Trecerea la generatia urmatoare, bazata pe tehnologia VLSI pastreaza in actualitate problema cuplarii simultane care insa se poate rezolva cu rezultate mai bune. Avind in vedere implicatiile economice pozitive ale utilizarii metodei de cuplare simultane a UDM la mai multe sisteme de calcul, ne propunem sa analizam aceste probleme pentru gasirea unor rezolvari cit mai bune.

## 2.2. Definirea locului SDM in diversele sisteme de calcul.

Sistemele din generatia 3-a, reprezentate la noi de sistemele de calcul FELIX C-32, 256, 512 si 1024, au fost sisteme cu logica cablata la care orice modificare se realiza foarte greu. In acest fel sistemele nu au putut fi modernizate prea mult in decursul celor 12 ani de fabricatie.

Sistemele FELIX utilizeaza o memorie (M) multiport (cu trei accese) folosita in comun de Unitatea Centrala (UC - utilizind un acces) si Unitatile de Schimb Multiplu (USM - maximum patru, cuplate ctre doua pe un acces al memoriei). Dialogul intre UC si USM se realizeaza prin intermediul a cinci instructiuni de intrare-iesire. Echipamentele periferice se coupleaza la USM prin intermediul cuploarelor (denumite si unitati de legatura). Principiul utilizat este avanta-

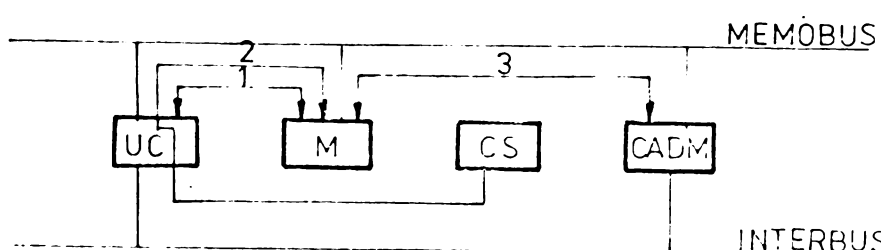
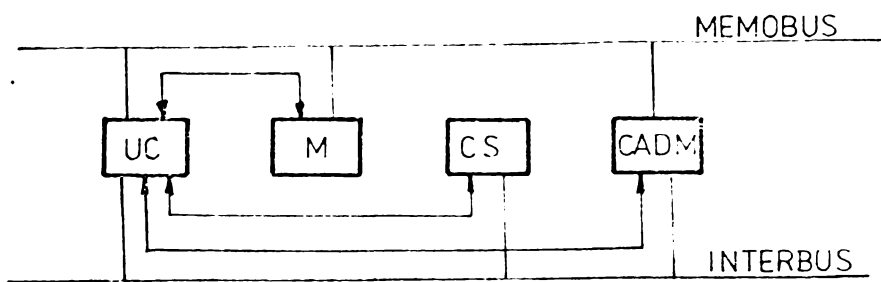


Fig. 2.3. Schema bloc a configuratiei I-100.

a. Schema transferului de comenzi  
si informatii.

b. Schema transferului de date (1.UC-M;  
2.CS-M; 3.CADM-M)

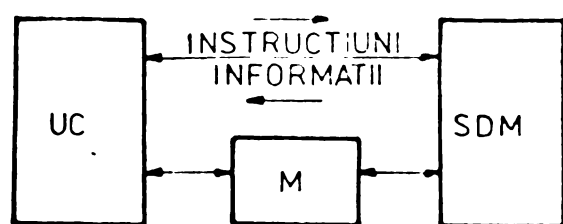


Fig. 2.4. Schema bloc a unei arhitecturi moderne.

jos, deoarece dialogul pentru realizarea unei operatii de intrare-iesire este facut cu instructiuni puternice, deci este simplu. In fig.2.1. este data schema bloc a unei configuratii FELIX C-256.

Aparitia minicalculatorelor a impus arhitectura cu un singur bus, reprezentative fiind configuratiile familiei PDP 11 elaborate de firma DEC, construite in jurul busului UNIBUS (fig.2.2.). Aceasta arhitectura cu toate ca este simpla si ieftina, asigura performante bune configuratiei. UNIBUS-ul permite transferul de comenzi si informatii intre UC si cuploarele echipamentelor periferice, precum si transferul de date intre memorie si celelalte subansamble din configuratie. Dupa modul de transfer a datelor, cuploarele se pot imparti in doua categorii:

- cuploare cu acces direct la memorie (CADM) in care transferul se face direct intre cuploare si memorie;
- cuploare fara acces direct la memorie, cuplorul simplu (CS) transferul datelor fiind facut prin intermediul UC.

Configuratia este foarte flexibila permitind adaugarea sau scoaterea usoara a unumitor elemente. Registrele interne ale UC si ale cuploarelor au adrese proprii si sint private ca locatii de memorie fiind adresate ca atare. Aceasta tehnica simplifica mult sechetele de adresare permitind o utilizare buna a UNIBUS-ului.

La proiectarea in 1975 a minicalculatorului INDEPENDENT-100 (I-100) s-a utilizat o solutie originala si anume utilizarea unui bus suplimentar pentru memorie numit MEMOBUS si transformarea UNIBUS-ului intr-un bus interprocesoare INTERBUS (fig.2.3.) care permite realizarea de configuratii multiprocesor la care mai multe UC sunt cuplate prin acelasi bus. Existenta unui bus separat pentru schimbul de date cu memoria are avantajul sporirii vitezei pe ansamblul configuratiei si implicit posibilitatea realizarii unor configuratii mai mari. Structura UC este microprogramata, deci foarte flexibila si permite realizarea de schimbari si imbunatatiri.

SDM ale configuratiilor din fig.2.2. si 2.3. sint compuse dintr-un cuplu CADM la care se coupleaza una sau mai multe UDM.

Datorita ultimelor cuceriri tehnologice si scaderii pretului de cost al componentelor, se pot concepe acum configuratii microprogramate, asemănatoare ca arhi-

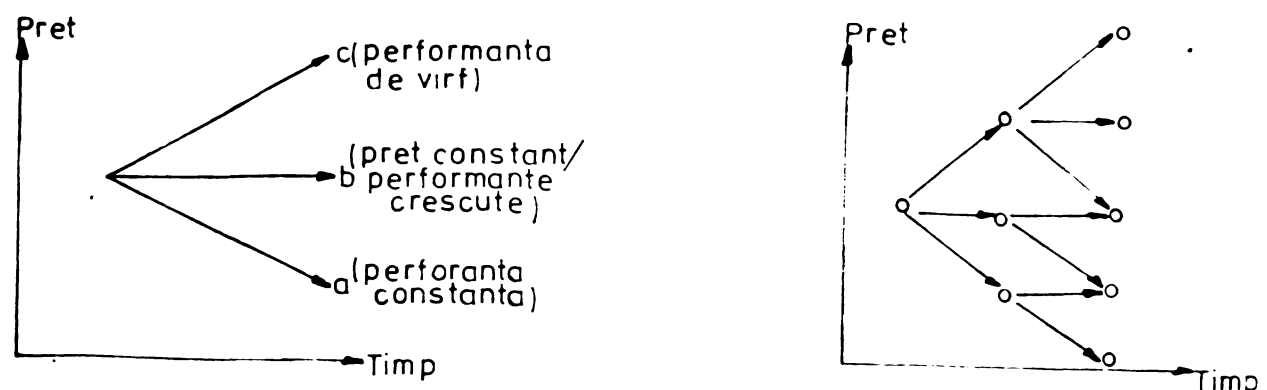


Fig. 2.5. Alternative de proiectare.

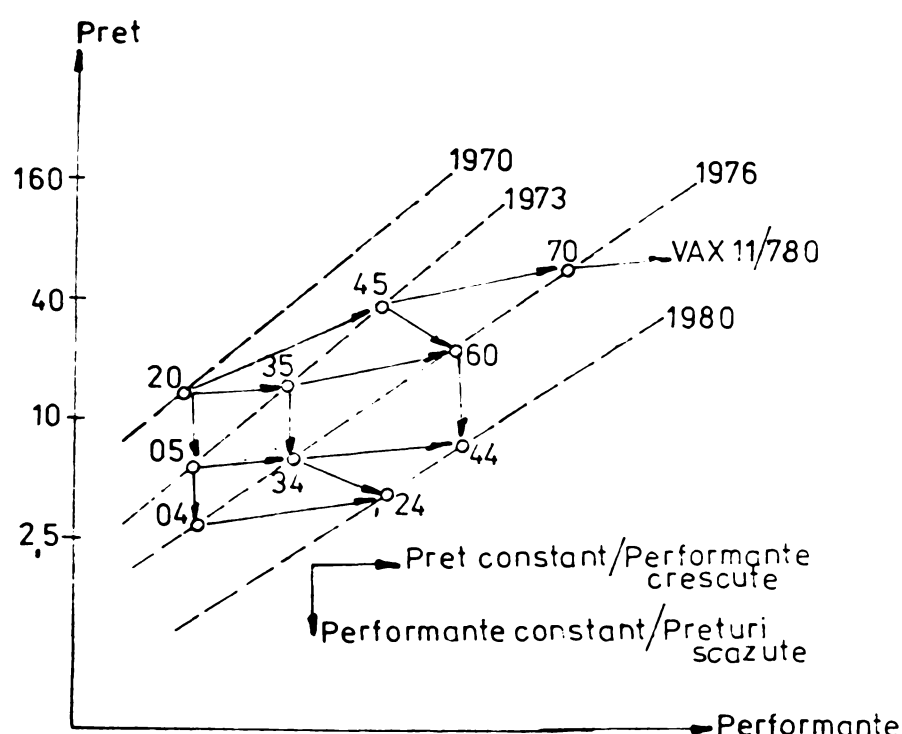


Fig. 2.6. Evolutia familiei PDP-11 (1970-1980).

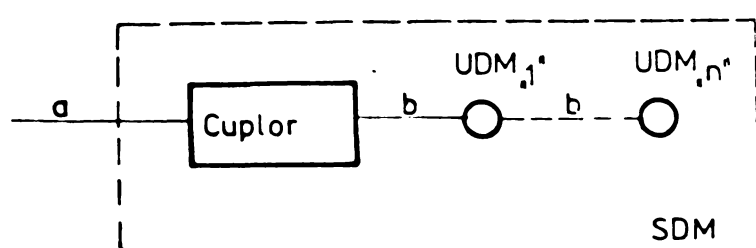


Fig. 2.7. Interfetele SIM.

a. Interfata externa.      b. Interfata interna

teitura cu sistemele generatiei a 3-a, in care SDM devine o parte independenta a configuratiei, dialogul cu UC facindu-se prin instructiuni de intrare-iesire puternice. SDM devine un procesor de intrare-iesire cu setul sau propriu de instructiuni si asigurarea software adevarata (fig. 2.4.). Aceasta solutie elibereaza UC care poate sa utilizeze intreaga sa putere de calcul pentru realizarea de calcule propriu-zise. De asemenea transferurile de informații si comenzi fiind reduse se pot simplifica si busurile sistemului.

### 2.3. Consideratii tehnologice si economice

Dezvoltarea calculatoarelor a fost influentata de trei factori:

- tehnologia circuitelor logice si de memorie;
- arhitectura si organizarea tehnologica;
- locul care a putut fi ocupat pe piata de modelul respectiv.

Datorita dezvoltarii tehnologice a circuitelor semiconductoare a crescut continuu eficacitatea lor, in timp ce costul s-a diminuat. Pentru proiectantii de sisteme de calcul exista trei alternative de proiectare (fig 2.5.):

- a). pastrarea constanta a performantelor cu scaderea pretului;
- b). pastrarea constanta a preturilor cu cresterea performantelor;
- c). urmarirea performantelor de virf cu cresterea corespunzatoare a preturilor.

La sistemele de minicalculatoare INDEPENDENT s-a utilizat curba pretului constant (b), obtinindu-se o crestere a performantelor, trecindu-se de la I-100 la I-102F. O ilustrare mai completa a strategiei alternativelor de proiectare apare prin urmarirea evolutiei familiei PDP-11 elaborate de firma DEC (fig.2.6.).

Evolutia tehnologica a circuitelor integrate implica schimbari in intreaga tehnologie a sistemului de calcul. Prin marirea gradului de integrare, scade numarul total de circuite, deci consumul de energie si implicit se micsoreaza sursele de alimentare si sistemul de ventilare, elemente care au o mare pondere in pretul sistemului de calcul.

Referitor la evolutia tehnologica a SDM la sistemele romanesti s-au parcurs urmatoarele etape:

- la sistemele FELIX cuploul de discuri ocupa o

poarta tehnologica cu sursa de alimentare si ventilatie separata, fiind compus din 5 sertare a 32 placete cu o medie de 15 circuite integrate simple;

- la sistemele I-100 cuploul a fost conceput initial pe patru placi si apoi pe doua placi a cite 90 circuite integrate;

- in prezent se omologheaza pentru sistemul INDEPENDENT un cuplou cu numai 80 circuite integrate, pentru UDM cu capacitatea de 58 Moct. si pentru o UDM originala cu frecventa de inregistrare dubla, deci capacitatea de 100 Moct.

#### 2.4. Definirea interfetelor SDM

Prin "interfata" se intlege ansamblul de semnale si de legaturi fizice ce se utilizeaza pentru cuplarea a doua subansamble si care asigura perfecta lor functionare in ansamblu.

La SDM se pot distinge doua interfete si anume:

- interfata interna - intre UDM si cuplou;
- interfata externa - intre SDM si sistemul de calcul propriu-zis.

### CAP.3. INTERFATA INTERNA A SDM

#### 3.1. Grupe functionale

Interfata interna este impusa in general de producatorii de UDM care in scopul pastrarii unor piete de desfacere au diversificat aceasta interfata. Datorita insa functiilor fixe pe care trebuie sa le indeplineasca UDM, semnalele de interfata sunt aceleasi si diversificarea a constat in utilizarea unor conectori diferiti si in modificarea secventei de dialog intre UDM si cuplou. In ultima perioada se observa o micsorare a numarului interfetelor utilizate la UDM. Varianta optima este stabilirea unei interfeite interne universale care sa permita utilizarea oricarui tip de UDM, cu utilizarea unor adaptoare de cuplare. UDM cu capacitatea cuprinsa intre 7 si 58 Moct. sint identice din punct de vedere functional, de asemenea UDM cu capacitatea de 100, 200 si 300 Moct. pot constitui o gru-

po functională aparte. Noile UDM de tip Winchester constituie o altă grupă funcțională. Se pune problema realizării unui cuplaj care să permită cuplarea oricărui UDM în diferent din ce grupă funcțională face parte. De menționat că se dorește și este posibila cuplarea UDM din aceeași grupă funcțională la un cuplaj, dar că nu este posibila cuplarea simultană a UDM din grupe funcționale diferite.

O altă problemă care poate apărea este interfata internă care trebuie să rezolve problema cuplării UDM cu dublu acces, deci existența unor semnale suplimentare care să ateste posibilitatea ocupării și ocuparea propriu-zisă a UDM de către cuplajul care posedă interfata internă în discuție.

Organizarea unei grupe de UDM cuplate la un cuplaj ridică anumite probleme care trebuie analizate teoretic în vederea proiectării interfeței interne, putindu-se obține o ameliorare a rândamentului SDM.

### 3.2. Organizarea interfeței interne a SDM

Pentru punerea în evidență a semnalelor interfeței interne, se va face o analiză pe baza UDM elaborată la I.T.C. cu capacitatea de 29 Moct., denumita DM-29. Dialogul între UDM și cuplaj este aproximativ același pentru toate UDM, mici diferențe aparind la diagramele de timp și citoada la valoarea semnalelor de interfata.

Semnalele de interfata se pot împărti în două categorii:

- semnale comune tuturor UDM din grup, semnale grupate într-un singur cablu denumit cablu A sau "COMUN";
- semnale specifice unei singure sau citoada mai multor UDM din grup, grupate în alt cablu denumit cablu B sau "SIMPLEX", (de exemplu: UDM de 29 Moct. este considerată jumătate dintr-o UDM de 58 Moct., pe un cablu SIMPLEX putind fi conectate două UDM de 29 Moct. sau o singură UDM de 58 Moct., denumita și unitate cu "dubla densitate" datorită densitatii duble de înregistrare a pistelor).

În cablul A se gasesc opt liniile pe care se pot trimite în ambele direcții informații, a caror semnificativitate este condiționată de existența unor semnale de strobare pe una din liniile de strobare. Semnalele de strobare sunt: control, selectare cilindru, selectare cilindru citit, selectare diferență, selectare cap și direcție de miscare a ansamblului de capete. Tabelul 3.1. prezintă semnificativitatea

TABELUL 3.1.

---

Strob 1 i-	SELECT	SELECT	SELECT		
nia bidi-	CONTROL	SELECT	CILINDRU	CAP SI	DIFE-
rectionala		CILINDRU	CITIT	DIRECTIE	RENTA

---

0	VALIDARE SCRIERE	Bit 128	Bit 128	inainte	Bit 128
1	VALIDARE CITIRE	Bit 64	Bit 64	inapoi	Bit 64
2	INITIALIZARE (MISCARE)	Bit 32	Bit 32	---	Bit 32
3	STERGERE REGISTRU	Bit 16	Bit 16	Bit regis- tru cap 16	Bit 16
	Adresa cap				
4	VALIDARE STERGERE	Bit 8	Bit 8	Bit regis- tru cap 8	Bit 8
5	SELECTARE CAP	Bit 4	Bit 4	Bit regis- tru cap 4	Bit 4
6	STERGERE REGISTRU	Bit 2	Bit 2	Bit regis- tru cap 2	Bit 2
7	AVANS CAPETE(+1)	Bit 1	Bit 1	Bit regis- tru cap 1	Bit 1

---

Numarul in      1      2      3      4      5  
fig. 3.1.

---

semnalelor pe liniile de informatie in functie de strobul ales.

Schema bloc simplificata a UDM (fig.3.1.) pune de asemenea in evidenta semnalele pe liniile de informatie in legatura cu semnalul de strob ales.

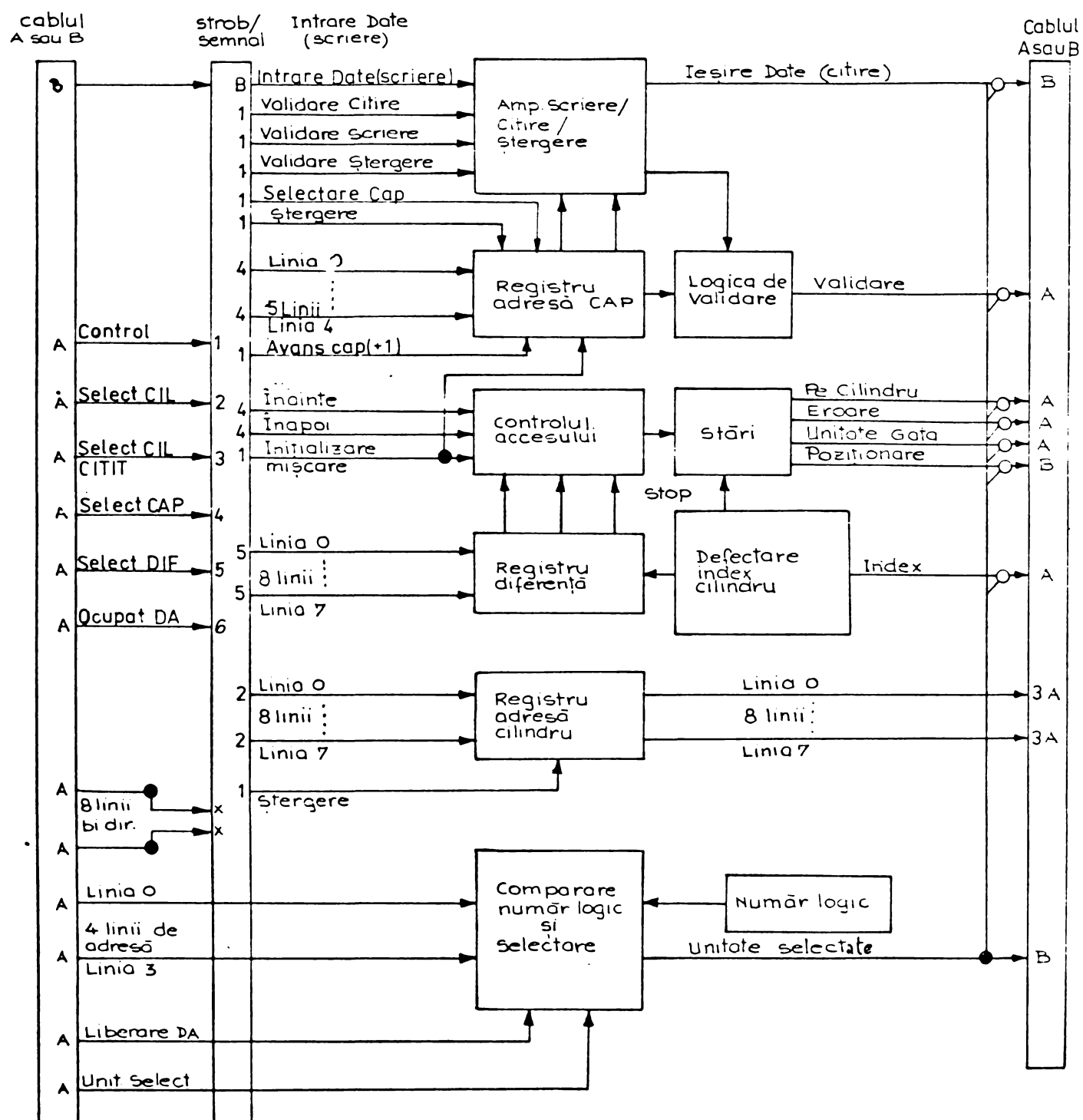
Dialogul dintre cuplor si UDM incepe prin trimiterea de catre cuplор a numarului logic al UDM cu care se doreste cuplarea, semnalele fiind trimise tuturor UDM, deci pe cablul A. Fiecare UDM are atribuit un numar logic care este cablat in interiorul unitatii. Liniile de adresa sunt strobotate de semnalul UNIT SELECT, iar coincidenta adreselor produce la UDM semnalul UNITATE SELECTATA, care fiind specific numai UDM selectate va fi trimis catre cuplор prin cablul B acesta fiind momentul inceperii dialogului pe liniile bidirectionale de informatie.

Dialogul initial are scopul pozitionarii ansamblului de capete pe cilindrul dorit si selectarea capului de scriere-citire dorit. In acest scop prima operatie este informarea asupra cilindrului pe care se gasesc capetele, apoi se calculeaza diferența intre aceasta pozitie si pozitia dorita, precum si sensul miscarii. Astfel cuplорul va trimite UDM selectionate in ordine: noua adresa a cilindrului care in secventa 1 este inregistrata in Registrul Adresa Cilindru; numarul capului cu care se va lucra, ce se inregistreaza in Registrul Adresa Cap impreuna cu directia in care urmeaza sa se deplaceze ansamblul de capete (secventa 2-a); diferența de piste ce urmeaza a fi parcursa care se inregistreaza in Registrul Adresa Diferenta (secventa 3-a).

Secventa de lucru propriu-zis (secventa 4-a) se desfasoara sub incinta semnalului de strob CONTROL care permite: initializarea pozitionarii; o operatie de scriere, citire sau stergere; stergerea Registrului Adresa Cap sau Registrului Adresa Cilindru; selectarea capetelor; incrementarea cu unu a Registrului Adresa Cap (+1).

In fig.3.2. este dat un exemplu de dialog intre cuplор si o UDM. Se observa ca in cazul scrierii si citirii trebuie luate masuri de siguranta care sa permita stabilizarea semnalelor de scriere, respectiv de citire. Pentru aceste semnale se utilizeaza cablul B.

De asemenea in cadrul dialogului se trimit o serie de semnale care dau indicatii asupra starii UDM si asupra erorilor care pot apare in timpul functionarii. Astfel ter-



A . Cablul principal COMUN

B . Cablul secundar individual (scriere, citire, selectare) – SIMPLEX

x – 2,3,4,5

DA - Dublu acces .

Fig. 3.1. – Schema bloc simplificată a UDM

iniarea operatiei de pozitionare este indicata de semnalul PE CILINDRU, faptul ca UDM este operationala si cu capetele pozitionate este pus in evidenta de semnalul UNITATE GATA; faptul ca ceva nu este in ordine si ca dialogul nu mai poate avea loc este semnalat prin semnalul EROARE; semnalul INDEX permite calcularea vitezei de rotatie a pachetului de discuri si daca viteza este in limitele admise.

### 3.3. Dublul acces

Există UDM care au un acces suplimentar, toate circuitele de interfata fiind dublate, putindu-se realiza cuplarea unui asemenea UDM la doua cuploare. Aceasta UDM se numeste "unitate cu dublu acces" (UDA) sau "modul", deoarece fiecare cuplaj poate considera ca intreaga UDM ii apartine, cu singura restrictie ca unitatea nu poate fi folosita simultan de cele doua cuploare. Din aceasta cauza apar doua noi semnale de interfata si anume "rezervare" cind se cere utilizarea UDA si "liberare" cind utilizarea sa nu mai este necesara. O unitate "rezervata" de un cuplaj este "ocupata" pentru celalalt cuplaj. De asemenea există o prioritate de rezervare a UDA de catre cuploare, la aparitia simultana a cererii de rezervare unul din cuploare fiind preferat.

Dublul acces poate fi folosit in doua moduri: dublul acces monoculator (DAM) cind cele doua cuploare apartin aceluiasi sistem de calcul si dublul acces biccalculator (DAB) unde fiecare cuplaj apartine cite unui sistem de calcul separat.

Lucrul cu dublul acces este asemanator celui monoacces, aparind insa anumite restrictii: semnalul "sfirsit de pozitionare" la DAB poate fi dat numai de sistemul de calcul care a facut rezervarea, iar la DAM de cuplajul care a facut rezervarea; intreruperea de liberare la DAB se emite spre sistemul de calcul caruia i s-a refuzat un acces pe o UDA rezervata de celalalt calculator, la DAM este posibil sa se lucreze fara rezervare si liberare la sfirsitul fiecarui secvente de selectie unitatea fiind libera si disponibila pentru oricare cuplaj.

### 3.4. Cuplarea simultana a UDM cu diverse capacitatii de inregistrare

Cuploarele existente sunt concepute pentru o anumita UDM, solutie rigida care ingreuneaza mult extinderea configuratiei. Din acest motiv gasirea unei solutii de cuplare simultane a UDM cu diverse capacitatati de inregistrare prezinta

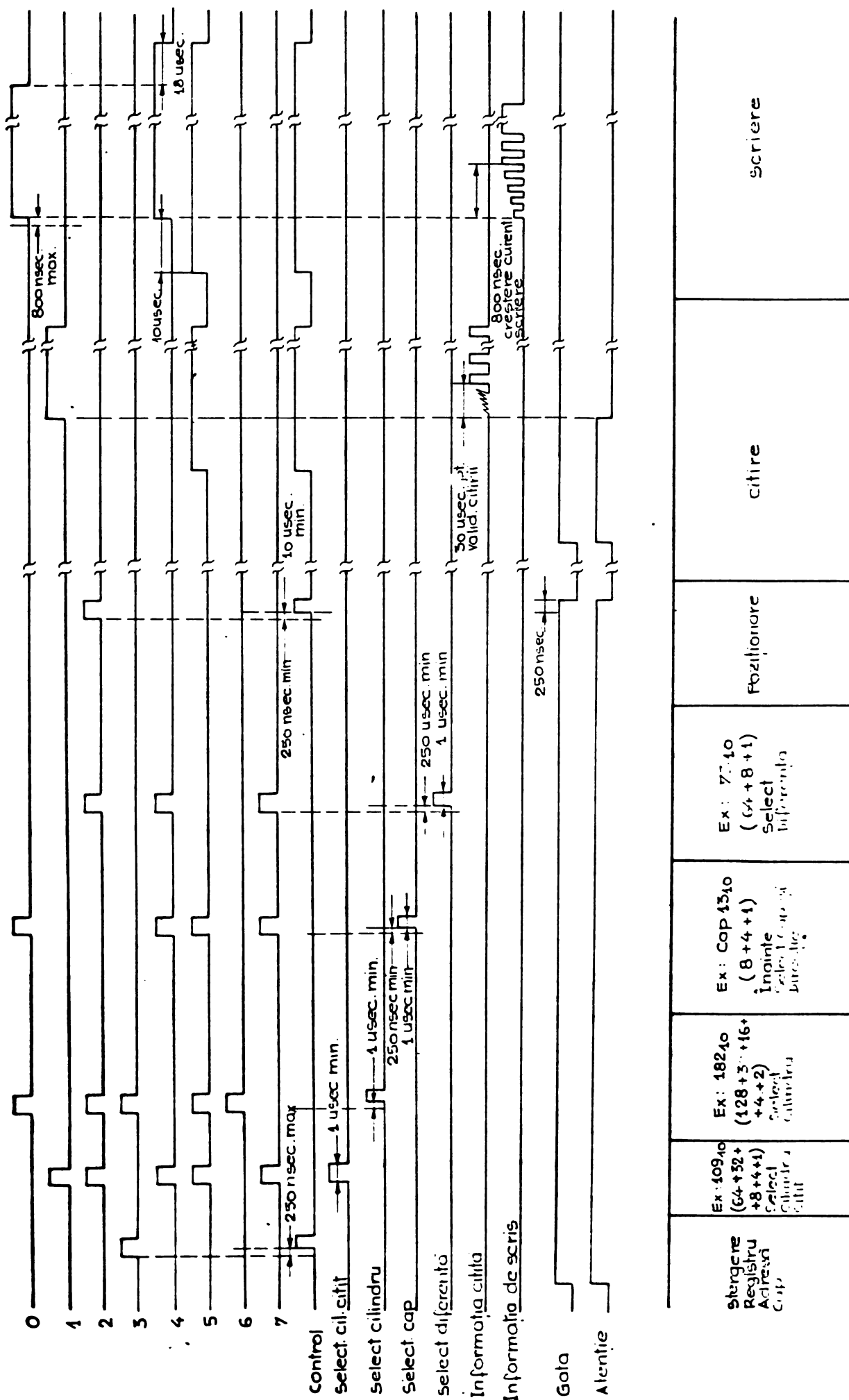


Fig. 3. A sample of the collected cuplari UDM

în un mare interes. Problema poate fi abordata prin realizarea unui cuplu pentru o UDM cu o capacitate mare pe care o vom numi "majoră" și realizarea unor "module virtuale" de capacitate "majoră", module constituite din UDM de capacitate mai mică, submultiplu al capacitatii majore.

De exemplu daca se alege capacitatea majoră 200 Moct., modulul virtual poate fi constituit din două UDM de 100 Moct. sau la alegerea capacitatii majore 58 Moct., se pot constitui module virtuale din UDM de 29 Moct. și/sau 7,25 Moct.; situație arată în Tabelul 3.2.

TABELUL 3.2.

Capacitate majoră	UDM fizica	Echivalent virtual
200 Moct	200 Moct	(100 + 100) Moct
58 Moct	58 Moct	(29 + 29) Moct
		(29 + 4x7,25) Moct
		(8x7,25) Moct

Dacă interfața internă este aceeași pentru toate UDM singura problema care apare este problema adresării UDM din componenta modulului virtual. Pentru adresarea UDM în cadrul modulului virtual se folosesc liniile de adresare obisnuite, însă dialogul cuplurilor-UDM se modifică, începând cu un semnal suplimentar de gestionare dacă în lanțul de UDM există un modul virtual. Acest semnal are și rolul de strobare, pe liniile de adresa putindu-se trimite adresa UDM cu care se doară să se lucreze. În schema se va introduce un "adaptor" AD, care are rolul memorării acestei adrese și apoi de a trimite semnale permanente de adresare către UDM selectionate din cadrul modulului virtual. Aceasta operatie se face pe liniile de adresare normale a UDM în momentul începerii dialogului între cupluri și UDM, în cazul în care AD respectiv a fost adresat (AD are un circuit de adresare asemănător celui din UDM). Dacă în schema există un AD, la dialogul cuplurilor-UDM se adaugă un semnal de răspuns din partea adaptorului, semnal care va fi utilizat de cupluri pentru ca interfața internă să lucreze cu rata de transfer specifică UDM componentă a modulului virtual (UDM pot avea rate de transfer diferite). Schemele de conectare a modulelor virtuale

Caracteristici principale ale UDM

TABELUL 3

7 Moct	I.B.M.	156	2400	200+3	10	1100	100	10	25	1,5	1560	1950	-	3650	3650	
Sistemul FELIX	156	2400	200+3	10	1100	100	10	10	25	1,5	1560	1950	256	3070	3070	
29 Moct	I.B.M.	312	2400	200+3	20	2200	100	7	10	25	3,1	2132	3900	-	7294	1458
Sistemul FELIX	312	2400	200+3	20	2200	100	7	10	25	3,1	2132	3900	1024	6144	1228	
53 Moct	CDC-AMPEX	312	2400	400+4	20	2200	200	7	10	25	3,1	2132	3900	-	7294	1453
Sistemul FELIX	312	2400	400+4	20	2200	200	7	10	25	3,1	2132	3900	1024	6144	1228	
100 Moct	IBM-CDC	300	3600	400+4	19+1	4040	200	7	10	16,67	3	5600	6400	644	15450	29400
200 Moct	CDC-AMPEX	300	3600	300+3	19+1	1240	200	7	10	16,67	3	5600	6400	644	15450	29400
300 Moct	CDC	1200	3600	300+3	19+1	6060	400	7	10	16,67	12	3400	9600	-	23172	44000
Capacitatea																
Capacitate de stocaj (oct)																
Număr de octeți echivalent																
Cilindru																
Fistă																
Sector																
Semirotatie																
Comutării Pistă-Pistă																
Comutării Cap-Cap																
Timpul unei rotații (msec)																
Cap-Cap (usec)																
Pistă-Pistă (msec)																
Piste (tpi)																
Ibfo. (bpi)																
Numere capete																
Număr piste																
Turație nominală (rot/min)																
Viteza de transfer (K <sub>Oct</sub> /sec)																
Compatibil cu UDM																
Timp maxim																
Densitate																

sunt date in fig.3.3. si fig.3.4.

Cuplarea UDM de diverse categorii deschide problema optimizarii accesului la informatie. Astfel in cadrul unui modul virtual format din doua UDM informatia poate fi stocata alternativ adica: in timp ce o UDM executa scrierea sau citirea informatiei, a doua UDM va fi pozitionata pentru a se putea apoi continua transferul de informatie fara asteptari datorate pozitionarilor mecanice. In tabelul 3.3. care reuneste principalele caracteristici ale unor UDM sunt trecute si rezultatele calculelor care indica numarul corespunzator de octeti ce pot fi transferati in timpul echivalent timpului de comutare a doua capete; timpul de acces de la o pista la pista alaturata si timpului de executare a unei semirotatii a pachetului de discuri.

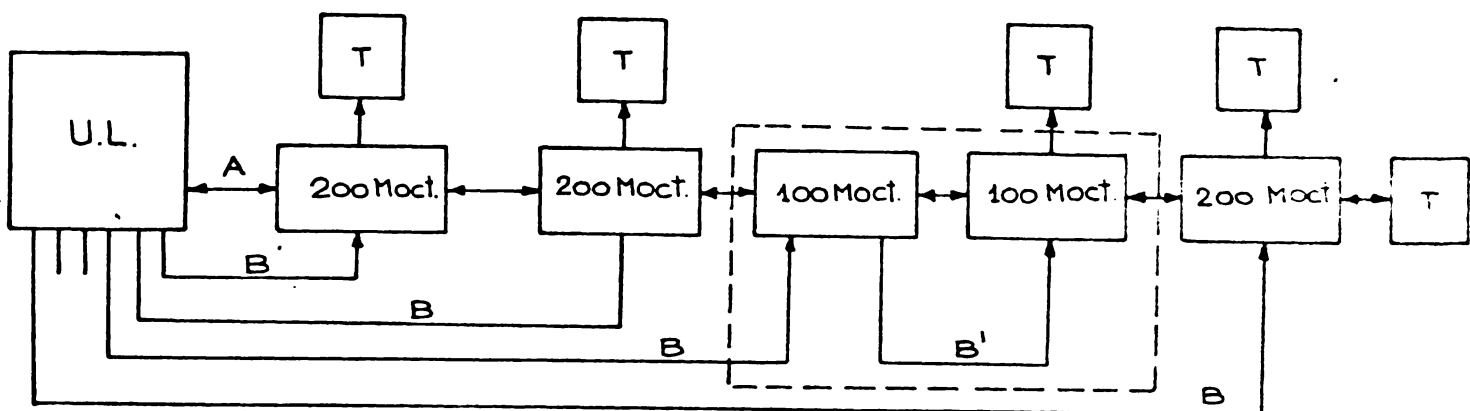
In cazul pachetelor de informatie care depasesc capacitatea unui cilindru, prin optimizare se cistiga 7 msec. (timpul de acces pista-pista) adica 2180 octeti pentru UDM din categoria 58 Moct. si 5600 octeti pentru UDM din categoria 200 Moct. Acest cistig permite sporirea randamentului de ansamblu al SDM.

### 3.5. Concluzii

Dezvoltarile tehnologice actuale au permis atingerea unor densitati de inregistrare de ordinul 12000 bpi si a unei densitati a pistelor de 1000 tpi pentru UDM aflate in productia de serie. Astfel exista UDM de tipul Winchester cu capacitatea de 200 Moct. care utilizeaza pachete cu numai 5 suprafete de inregistrare plus o suprafata de sincronizare. Principiul de functionare al UDM si semnalele pe interfata interna au ramas insa aceleasi. Acest fapt simplifica realizarea unor cuploare care sa permita cu mici modificari cuplarea diferitelor UDM. In acest fel un efort de proiectare initial poate fi util pe parcursul mai multor generatii de UDM.

Realizarea unor "module virtuale" de capacitate mare din UDM de capacitate mai mica, aduce posibilitatea utilizarii simultane a UDM de capacitatii diferite, reutilizarii UDM fabricate cu o tehnologie mai veche alaturi de UDM mai moderne, precum si optimizarea accesului la informatie.

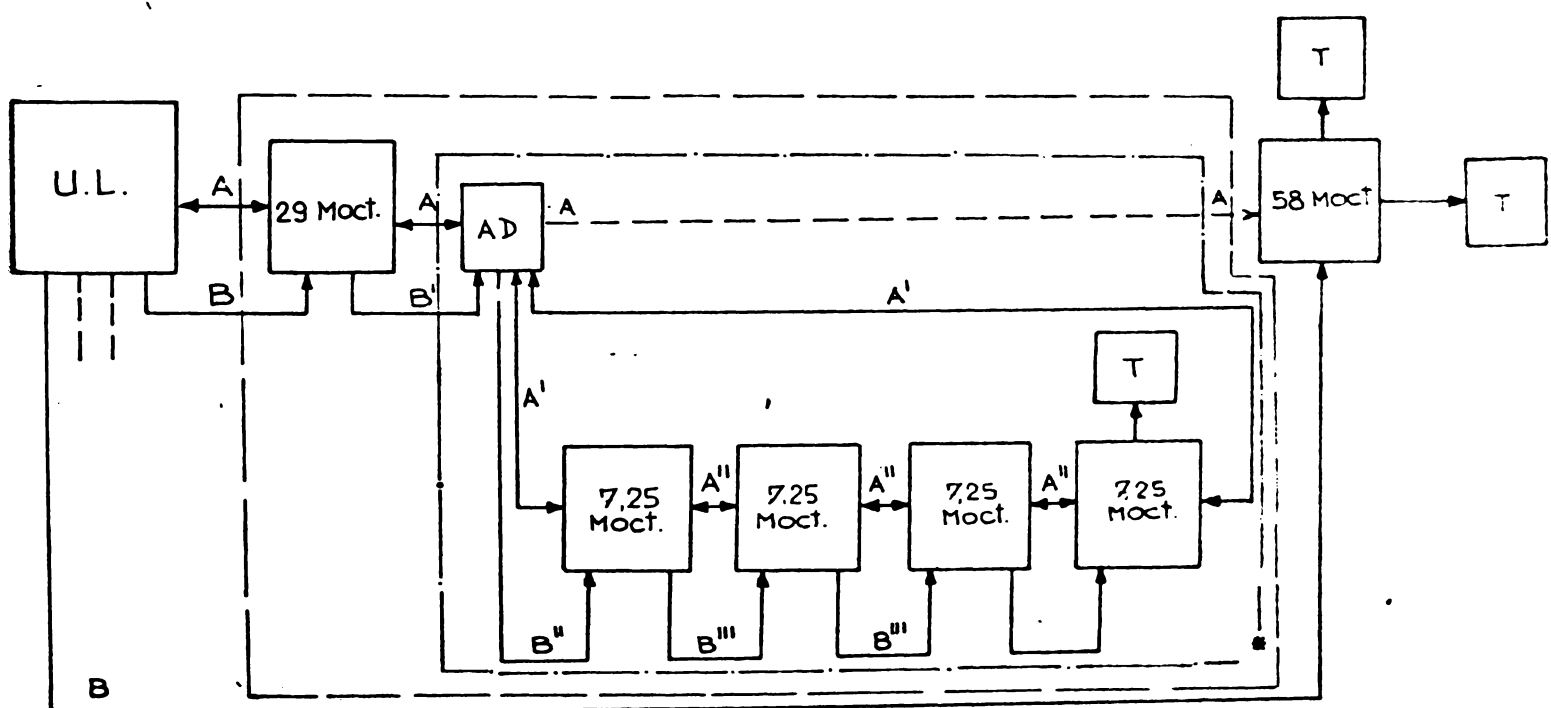
Analizarea diverselor probleme legate de interfata interna este ceruta de cunoasterea detaliata a tuturor aspectelor pe care se pun la cercetarea unui nou cuplu care sa permita cuplarea simultana a UDM la mai multe sisteme de calcul.



A - cablul „bus”  
T - terminator

B - cablul „simplex” UL-UDM  
B' - cablul „simplex” UDM-UDM (folosit la UDM cu „simpla densitate” a pistelor)

Fig. 3.3. Conectare la cuplora UDM de 100Moct. si 200 Moct.



AD - adaptor care permite formarea unui „modul virtual” de 29 Moct. sau 58 Moct.

A - cablul „bus”

B - cablul „simplex”

T - terminator

A' - cablul „bus” AD-UDM 7,25 Moct. (același cu cablul „bus” normal UL-UDM la cuploul de 7,25 Moct.)

A'' - cablul „bus” UDM-UDM 7,25 Moct.

B' - cablul „simplex” UDM-UDM 29 Moct.

B'' - cablul „simplex” AD-UDM 7,25 Moct. (același cablu „simplex” normal UL-UDM la cuploul de 7,25 Moct.)

B''' - cablul „simplex” UDM-UDM 7,25 Moct

\* - se pot cupla 1 la 4 UDM de 7,25 Moct.

---- - limita modulului virtual de 58 Moct.

---- - limita modulului virtual de 29 Moct.

Fig. 3.4. Cuplarea „modulului virtual” de 29 Moct. format din UDM de 7,25 Moct

## CAP.4. INTERFATA EXTERNA A SDM

### 4.1. Clasificarea cuploarelor componente ale SDM

Intr-un sistem de calcul este avantajos ca subansamblile componente sa functioneze asincron, mod de functionare care permite realizarea schimbului de informatii cu minim de comenzi, precum si lucrul optim al ansamblului prin optimizarea fiecarui subansamblu in parte. In acest mod de functionare este posibil ca fiecarui subansamblu sa i se dea o autonomie cat mai mare, daca este posibil chiar sa se inglobeze in hardware o serie de functiuni care erau rezolvate pina acum de software-ul specific. Astfel in ansamblul unui sistem de calcul, SDM poate sa apara ca un subsistem de sine statator care sa fie coordonat de calculatorul propriu-zis prin cteva ordine simple, dialogul respectiv facindu-se intr-un timp minim. Dar pentru realizarea acestor deziderate este necesar sa se proiecteze un cuplu adevarat acestor functii noi, precum si sa se stabileasca o interfata externa cat mai simpla care sa asigure dialogul SDM cu restul subansamblelor sistemului.

Din punct de vedere constructiv cuploarele pentru UDM concepute pina in prezent pot fi clasificate in urmatoarele tipuri:

a. Cuploarele in tehnologia cablata, ca cele utilizate la calculatoarele din familia FELIX C-256 (IRIS-50), unde legatura cuplorului se face la un canal multiplexor sau selector care la rindul sau este cuplat cu procesorul si memoria.

b. Cuploare microprogramate ca cele utilizate in sistemele IBM-360, IBM-370, CDC-6600, AMPEX-830, etc., cuploare mai evoluate care pe linda transferul normal al informatiilor permit in paralel detectia si corectia erorilor precum si rulearea unor programe de diagnosticare a uneia din UDM aflate in regim OFF-LINE. In general pentru conectarea cuploarelor la acest tip s-a utilizat canalul selector.

c. Cuploarele cu structura fixa sau microprogramata utilizate in sistemele minicalculator, cu cuplarea la busurile generale ale sistemului, cum se utilizeaza la sistemele PDP 11 ale firmei DEC si sistemele INDEPENDENT si CORAL produse de I.C.E.

d. Cuploare derive din minicalculatorare cum este

cazul sistemului IRIS-50 la care pentru SDM de 100 Moct. s-a utilizat minicalculatorul MITRA-15, solutie de compromis care a scurtagt timpul de elaborare insa a scumpit produsul final. care era supradimensionat pentru sarcinile pe care le avea de indeplinit in epoca respectiva. SDM astfel realizat se cuplaza fie pe canalul multiplexor sau selector, fie direct pe unul din accesele memoriei operative.

La nici unul din cuploarele enumerate nu s-a realizat trecerea unei parti din software-ul specific in structura cuplorului propriu-zis. De asemenea interfata externa a SDM nu a fost studiata si optimizata separat, fiind similara cu interfetele utilizate de toate cuploarele din sistemul respectiv.

#### 4.2. Operatiile de baza executate de cuplorul din SDM.

UDM conectate la cuplor pot executa urmatoarele operati:

- pozitionarea capetelor de scriere/citire pe o anumita pista;
- scrierea de informatii;
- citirea de informatii;
- cautarea unei inregistrari anumite;
- trimiterea informatiilor de stare.

Operatiile sint initiate de anumite ordine (vezi 4.4.), de obicei componente ale unui cuvant de comanda asociat unei instructiuni de intrare-iesire.

O operatie necesara este "premarcarea" sau "scrierea initiala" a pachetului de discuri, operatie prin care suprafaata utila de inregistrare a pachetului de discuri este impartita in sectoare fizice, fiecare sector fiind delimitat de inceputul unui pachet de informatii plasat la inceputul sectorului prin care sectorul primeste o adresa proprie, sfarsitul sectorului fiind delimitat de inceputul sectorului urmator. Operatia de premarcare se face o singura data la prima utilizare a unui pachet nou de discuri si dureaza aproximativ 3-15 minute in functie de tipul si capacitatea UDM utilizate. La elaborarea unui cuplor nou trebuie sa se ia in considerare aceasta operatie, care este de dorit sa se prezinte ca un program ce se executa in paralel cu subprogramele de prelucrare a informatiilor.

Utilizindu-se o schema bloc simplificata a unui SDM microprogramat cuplat la sistemul de calcul prin intermediul unui canal selector sau multiplexor, se vor detalia fazele ce trebuie parcuse pentru executarea unor operatii impuse.

#### 4.2.1. Operatia de pozitionare a capetelor de scriere/citire (SEEK).

Cuploul trebuie sa selecteze UDM care urmeaza sa execute operatia ceruta, determina pozitia actuala a capetelor de scriere/citire, precum si directia si distanta ce trebuie parcursa pina la noua pozitie. Operatia de pozitionare poate fi defalcata in urmatoarele faze (fig.4.1.), grupate pe subansamblele functionale ale sistemului:

- A (1). Instructiunea de intrare/iesire
- B (1). Executarea cuvintului de comanda, transferul comenzi de pozitionare
  - (2). Transferarea spre cuplou a adresei de pozitionare
  - (3). Deconectarea pe timpul cit se face pozitionarea si reconectarea dupa terminarea acesteia.
- C (1). Controlul semnalelor pe interfata externa
  - (2). Controlul paritatii semnalelor transferate
- D (1). Decodificarea comenzi de pozitionare si controlul transferului informatiei de pozitionare
  - (2). Selectarea adresei UDM
  - (3). Prelevarea microprogramului de pozitionare
  - (4). Calculul diferentei dintre adresa prezenata si noua adresa
  - (5). Preluarea starii discului si transmiterea acestia spre canal.
  - (6). Transferarea spre canal a informatiilor de stare cind UDM a terminat operatia de pozitionare
- E (1). Transferul bitilor de control si a informatiilor de adresa spre UDM si primirea informatiilor de stare ale UDM
- F (1) Controlul directiei si distanta ce trebuie parcursa de ansamblul de capete.
  - (2). Generarea unui semnal de "sfarsit de pozitionare".
  - (3). Mantinerea capului selectionat pe pista aleasa.
- G (1). Executarea miscarii de pozitionare.
- H (1). Citirea semnalelor "scrise" ("scrise initial" sau preinregistrate).

#### 4.2.2. Operatia de scriere

O comanda de scriere pune cuploul in pozitia de a primi datele ce urmeaza a fi scrise (in paralel opt c.b. de date

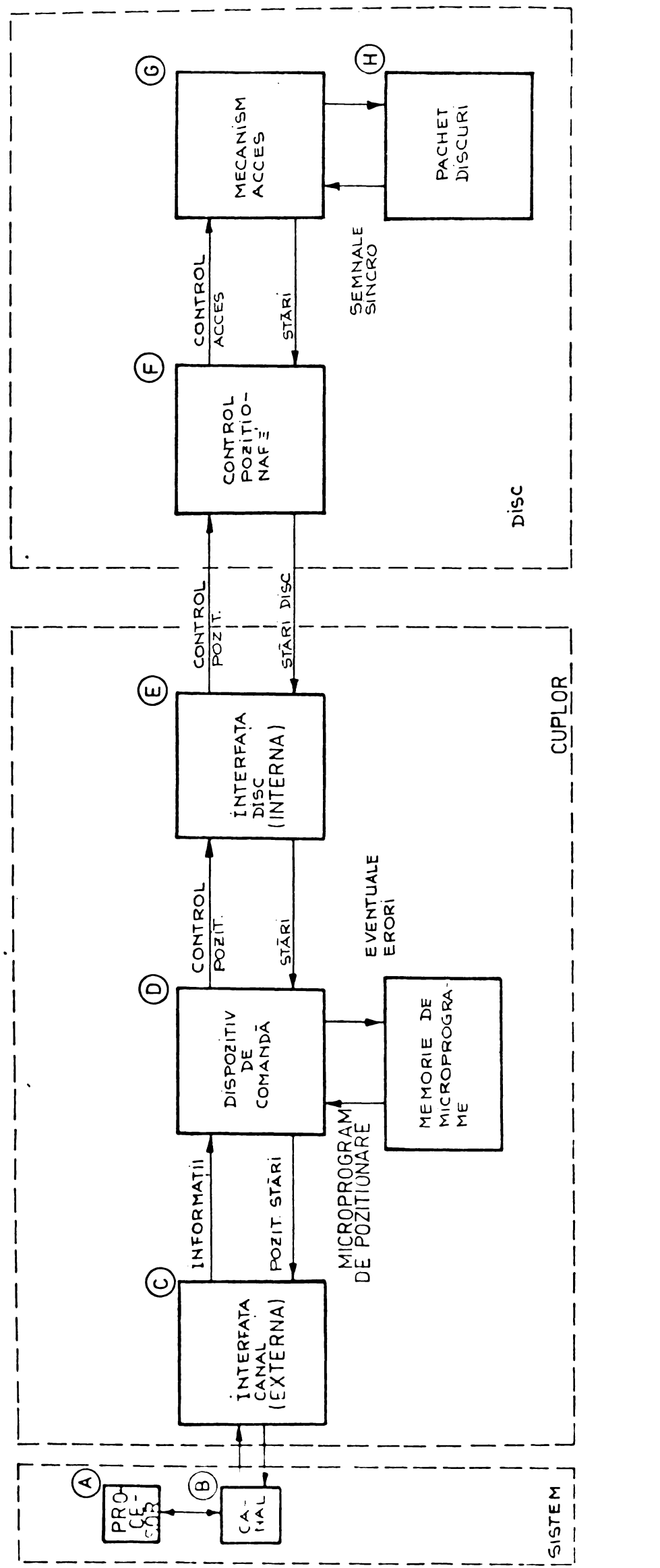


Fig 4.1. Operația de poziționare

plus o c.b. de paritate), de a genera c.b. ale codului de detectie si corectie a erorii si de a le trimite serial catre UDM selectionata. Operatia de scriere este sintetizata in fig.4.2.

- A (1). Instructiunea de intrare/iesire
  - B (1). Executarea cuvantului de comanda, transferindu-se cuploului comanda de scriere.
    - (2). Transferul adresei unde urmeaza sa fie scrisa informatia.
    - (3). Transferul sub forma paralela a informatiei de scris.
  - C (1). Controlul semnalelor de interfata.
    - (2). Controlul de paritate a semnalelor transferate.
  - D (1). Decodificarea comenzii de scriere.
    - (2). Selectarea adresei UDM.
    - (3). Testarea bitilor de stare a UDM.
    - (4). Trimiterea comenzii de scriere.
    - (5). Selectarea micropogramului care permite conversia paralel/seriala.
    - (6). Detectia si corectia erorilor (daca este posibil).
    - (7). Controlul formatului inscris pe UDM.
    - (8). Transferul starilor la sfarsitul operatiei.
  - E (1). Primirea informatiei parallele si convertirea ei in serie.
    - (2). Adaugarea bitului de corectie a erorilor.
    - (3). Utilizarea PLO (Phase Lock Oscilator) pentru controlul timpului de scriere (daca se utilizeaza o schema cu PLO).
  - F (1). Transferul informatiilor de control spre UDM selectata si a bitilor de stare ai UDM spre cuplou.
  - G (1). Pregatirea UDM pentru scriere.
    - (2). Convertirea impulsurilor de scriere in curent de scriere.
    - (3). Trimiterea starilor spre cuplou.
  - H (1). Capul servo (daca exista) prelucreaza impulsurile PLO, in vederea stabilizarii capului de scriere/citire pe pista dorita.
  - I (1). Stocarea (scrierea) bitilor de informatie.
- 4.2.3. *Operatia de citire.*  
Datele citite de la UDM sunt transferate cuploului care efectueaza operatia de serializare-deserializare a

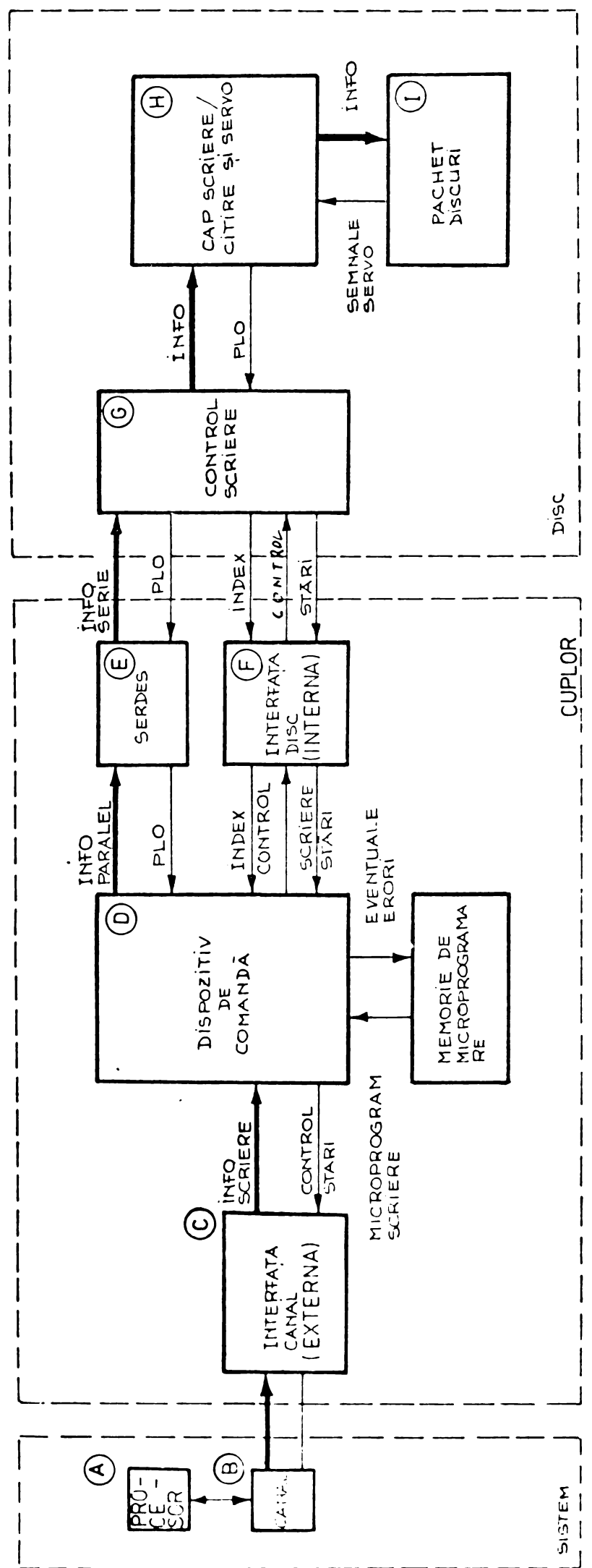


Fig. 4.2. operația de scriere

informatiei paralele adaugindu-i-se c.b. de paritate. In timpul citirii se calculeaza caracterul de detectie si corectie a erorilor. La terminarea operatiei de citire c.b. de stare a UDM si cuplorului sunt transmisi prin interfata externa spre canal. In figura 4.3. este reprezentata operatia de citire.

- A (1). Instructiunea de intrare/iesire.
- B (1). Executarea cuvintului de comanda, transferindu-se cuplorului comanda de citire.
  - (2). Transferul adresei de unde urmeaza sa fie citita informatie.
  - (3). Transferul informatiei citite.
- C (1). Controlul semnalelor pe interfata interna.
- D (1). Decodificarea comenzii de citire.
  - (2). Selectarea UDM adresata.
  - (3). Selectarea starilor UDM si transferul lor spre canal.
  - (4). Selectarea comenzii de citire si trimiterea ei catre UDM.
  - (5). Selectarea microprogramului de serializare-deserializare.
  - (6). Detectarea erorilor si corectia acestora daca este posibila.
  - (7). Recunoasterea formatului inregistrarii.
  - (8). Transferul bitilor de stare la sfarsitul operatiei de citire.
- E (1). Recunoasterea intervalului de sincronizare si realizarea sincronizarii datelor.
  - (2). Convertirea informatiei din serie in paralel.
  - (3). Controlul informatiilor de detectie si corectie a erorilor.
  - (4). Sincronizarea servo (cu PLO daca exista) in intervalul in care nu exista informatie scrisa.
- F (1). Transferul informatiilor de control a citirii catre UDM selectata si transmiterea starilor acesteia catre cuplор.
- G (1). Pregatirea UDM in vederea citirii informatiei (datelor).
  - (2). Convertirea curentului de citire in impulsuri de citire.
  - (3). Frelevarea starilor UDM si trimiterea acesto-

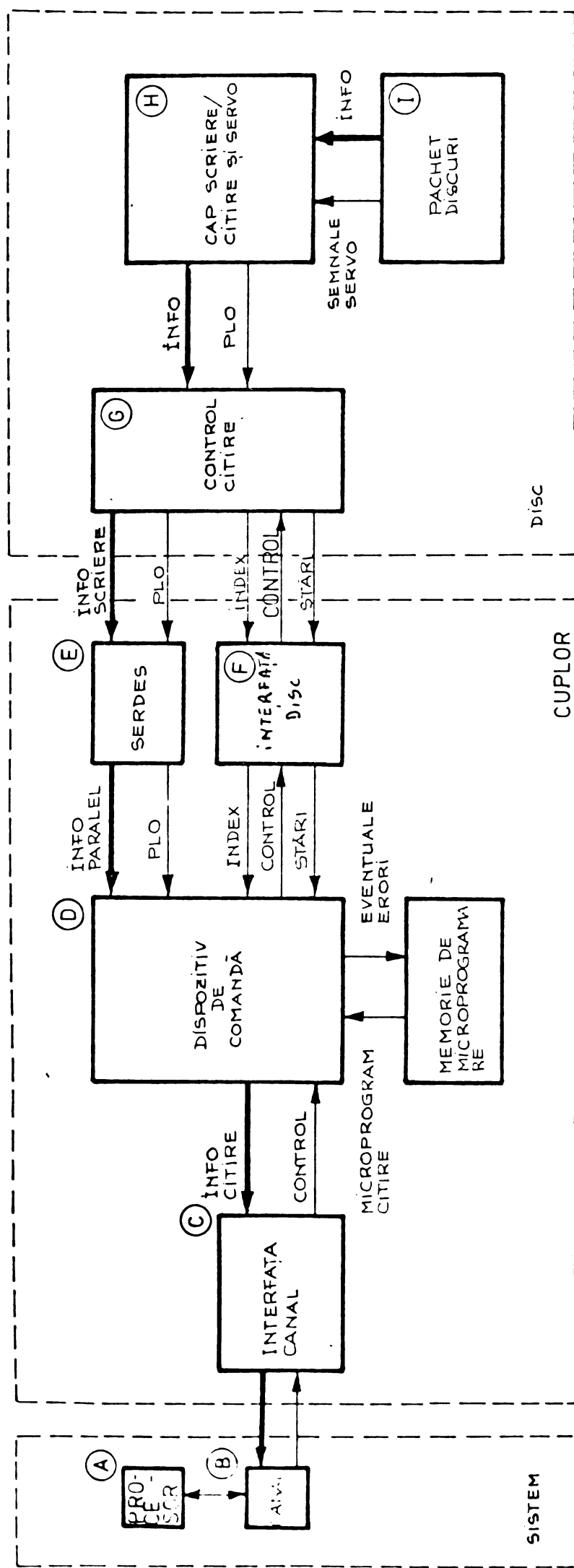


Fig. 4.3. Operatie de citire

ra spre cupluri.

H (1). Capul servo (daca exista) prelucreaza impulsurile FLO cu care se stabilizeaza capul de scriere/citire pe pista aleasa.

I (1). Citirea bitilor de informatie.

#### 4.3. Formatul inregistrarii

Un element important care trebuie analizat in vederea operatiei de realizare a unui SDM cit mai complet, este formatul inregistrarii utilizat la stocarea datelor pe UDM. Deoarece formatul inregistrarii nu este acelasi pentru toate tipurile de UDM, se va face o analiza in vederea cautarii unor repere comune care sa permita SDM sa genereze si sa recunoasca oricare tip de inregistrare, cu modificarile de adaptare minime.

O inregistrare este formata din doua zone principale si anume zona adresei si zona informatiei. Pe linda informatie propriu-zisa, o inregistrare trebuie sa aiba in componenta sa anumite zone de sincronizare.

Formatul inregistrarii este specific unor grupe de cuplare si este inregistrat pe UDM in momentul premarcarii. Punctul de referinta pentru inregistrarea de premarcare este indexul. Pe marginea discului inferior al pachetului de discuri exista o decupare care este interpretata ca originea a inregistrarilor, numindu-se index. Există pachete care au 21 de decupari, 20 dintre acestea impartind circumferinta pachetului in 20 de parti egale folosite de unele cuplare pentru sectorizarea informatiei, iar a 21-a decupare avind rolul creerii originei, adica a indexului.

Pachetul de discuri este impartit in cilindrii, piste si sectoare. Un cilindru reprezinta totalitatea spatiului de inregistrare disponibil la o anumita pozitionare a ansamblului de capete de scriere/citire. Astfel, pachetul de discuri avand o latime radiala utila de 2 inch, rezulta ca pentru densitatea de inregistrare a pistelor de 100 tpi, 200 tpi si 400 tpi corespunde un numar total de cilindri: 200, 400 si respectiv 800. Intersectia unui cilindru cu fiecare din cele 20 de suprafete de inregistrare, formeaza pista. In acest fel fiecare cilindru este format din 20 de piste, fiecare apartinind unui anumit cap de scriere/citire. La rindul lor pistele pot fi divizate in sectoare, al caror numar si lungime variaza de la un sistem de calcul la altul. Imediat dupa index trebuie sa existe un spatiu numit "pre-

ambul" care este necesar pentru a da posibilitatea schemei de comutare a capetelor de scriere/citire, sa execute o eventuala comutare. Pentru ca sa nu apara situatia nedorita, ca doua capete de scriere/citire sa fie selectate simultan, schema de comutare este astfel conceputa incit intre deselectarea unui cap si selectarea altui cap se lasa un interval de timp. Acest interval este necesar si pentru stabilizarea semnalelor la noul cap selectat. Preambulul care exista imediat dupa index este necesar pentru a acoperi acest timp, in cazul in care aparitia unei noi piste, coincide cu o schimbare a capului de scriere/citire. In continuare exista o zona de sincronizare in care se face trecerea de pe "ceasul intern" pe "ceasul extern". (Prima faza a unei inregistrari, este cautarea adresei la care urmeaza sa se faca inregistrarea. Aceasta adresa este inregistrata in momentul premarcarii pachetului de discuri. Operatia de premarcare se executa sub controlul unui ceas al cuplului numit "ceasul intern", pe pachetul de discuri inregistrindu-se aceste impulsuri. Citirea impulsurilor de ceas inregistrate pe pachetul de discuri, permite crearea unor semnale de sincronizare, care formeaza "ceasul extern" ce va guverna toate operatiile de citire). Tot in aceasta zona trebuie sa existe informatii care sa permita sesizarea momentului in care incepe zona de adresa, care cuprinde informatii ce indica cilindru, capul si sectorul. De asemenea se dau indicatii daca pista este buna sau defecta, in ultimul caz trebuind inscrisa si adresa unei piste de rezerva. In continuare in functie de faptul daca se doreste un format fix sau variabil al informatiei se poate folosi o zona de contabilizare a pistei respective, care indica felul formatului si situatia inregistratorilor pe pista. Aceasta zona se completeaza in timpul lucrului aratind disponibilitatea pistei. O grupa de caractere necesare corectiei si detectiei erorilor, precum si anumite caractere de identificare, incheie zona de adresa. Acest grup de caractere se numeste "postambul". In plus mai poate fi folosita o cheie de protectie si recunoastere.

Zona de informatie incepe si ea cu un preambul. Acest preambul trebuie sa permita o eventuala comutare a infasurarii de citire cu infasurarea de scriere a capului precum si stabilirea exacta a inceputului cimpului de date. Cimpul de date poate avea o lungime fixa sau variabila. In cazul lungimii fixe, daca pachetul de date nu este divi-

zibil cu lungimea sectorului, restul va fi înregistrat în sectoarele următoare, porțiunea ramasa libera din ultimul sector completindu-se de catre cupluri cu "zerouri". Zona de informatie se încheie cu un postambul care cuprinde informații pentru detectia erorilor, precum și un spatiu inter-sector pentru compensarea anumitor variatii de viteza ale pachetului de discuri in limitele tolerantelor admise.

Un SDM universal trebuie să poată realiza prin premarcare orice fel de format de înregistrare și apoi în lucrul curent cu UDM să poată interpreta acest format. Pentru perfectă compatibilitate e necesar ca în formatul înregistrării să nu apara nici un fel de informatie suplimentară. Stabilirea variantei de premarcare se poate face numai prin adăugarea unor semnale de informatie în zona preambulului.

#### 4.4. Ordinile utilizate pentru comanda SDM

In general interfata externa a SDM prezinta diferente destul de mari de la un sistem de calcul la altul. Elementul comun care poate constitui un factor de unificare este ansamblul de instructiuni de intrare-iesire si implicit de ordine prin care sistemul de calcul comanda activitatea SDM.

Transferul de informatie se realizeaza intotdeauna dupa urmatorul principiu:

- initializarea, adica adresarea SDM printr-o instructiune de intrare/iesire. (SIO - Start Input Output);
- daca nu exista semnalate conditii de eroare, se trimite un ordin care defineste tipul transferului ce trebuie executat;
- dupa recunoasterea ordinului se executa transferul de date;
- la sfirsitul transferului cuplul se poate deconecta in asteptarea altrei instructiuni, sau daca exista o lantuire de comenzi se asteapta un alt transfer de informații ca urmare a unui nou ordin.

Ordinile utilizate sint urmatoarele:

- **Cautare:** ordin prin care se cere cuplului transmisiei către UDM a unei comenzi de pozitionare și imediat a unui semnal pe interfata externă prin care se semnalizează executarea ordinului;
- **Cautare cu intrerupere:** la fel ca la căutare, doar că la terminarea pozitionarii cuplul va emite un semnal de intrerupere;

- scrierea de informatii: ordin care indica scrierea informatiei pe UDM selectionata cu incepere de la sectorul ales. Scrierea nu este posibila daca adresa este cumva potrivita sau daca ordinul de cautare a indicat o pista de rezerva;
- citire cu oprire pe eroare de paritate: ordinul permite citirea informatiei, erorile de paritate fiind luate in considerare la sfirsitul sectorului in care au aparut;
- citire: ordin similar cu precedentul, doar ca o eroare de paritate va fi semnalizata la terminarea in intregime a transferului de date;
- controlul scrierii: ordin prin care cuploul compara datele primite de la UDM cu date etalon (de obicei trimise de canal), semnalizarea erorii de comparare facindu-se la sfirsitul sectorului in care s-a produs;
- scrierea adresei de rezerva: ordin utilizat pentru indicarea unei piste defecte sau nedisponibile si pentru inregistrarea adresei sale secundare (de rezerva);
- citirea adresei: ordin care permite cunoasterea starii unei piste, a adresei sale (primare) si a adresei secundare daca este cazul;
- cerere de stare: ordin prin care cuploul este solicitat sa furnizeze informatii asupra adresei ultimului sector la/de la care s-a efectuat un transfer si sa dea indicatii asupra starii unitatii selectate;
- protectie scriere: ordin care cere inhibarea oricărui operatiune de scriere pe UDM selectionata;
- protectie zona: ordin prin care cuploul interzice orice acces (cautare, scriere, citire) in afara cilindrului adresat in momentul respectiv, adica se interzice orice miscare a ansamblului de capete, cu exceptia aparitiei unui sector defect cind se va permite accesul pe pista de rezerva;
- punere la zero a accesului: ordin care adreseaza final UDM comandind intoarcerea pe cilindrul zero (origine);
- rezervare (numai la dublul acces): ordin prin care UDM ramane la dispozitia canalului care a emis ordinul, pina cind acest canal lanseaza un alt ordin care sa permita "liberarea" acestuia sau "punerea la zero" a accesului respectiv;
- liberarea (numai la dublul acces): ordin complementar cu precedentul si care poate fi lansat numai de canalul care a facut rezervarea.

#### 4.5. Concluzii .

In cadrul SDM interfata externa este unul din parametrii asupra caruia se poate actiona in vederea realizarii unui subansamblu cit mai independent, cu functii bine definite si cu un dialog extern optimizat in sensul obtinerii unui transfer de date maxim cu un schimb de informatii auxiliare minim.

Pentru lincea functiile clasice (legatura cu sistemul de calcul, legatura cu UDM, transferul de comenzi si date, eventual corectia erorilor) este de dorit ca SDM sa poata executa functii noi care pina acum erau indeplinite de software-ul sistemului. Pentru aceasta anumite functii pot fi realizate de hardware-ul SDM, iar altele prin conferirea SDM a unei puteri de calcul si decizie. Astfel SDM va putea realiza: optimizarea stocarii informatiei pe UDM, lucrul cu mai multe sisteme de calcul, ridicarea ratei de transfer a informatiilor, simplificarea dialogului extern cu sistemul de calcul. In anumite situatii este avantajos ca SDM sa fie transformat intr-un sistem de intrare-iesire care sa gestioneze si activitatea altor echipamente periferice. In capitolele urmatoare aceste probleme vor fi analizate detaliat.

## CAP.5. INTERFATA SISTEMULUI "INDEPENDENT"

In scopul realizarii unui SDM care sa poata fi utilizat simultan de doua sau mai multe sisteme de calcul, este necesar sa fie conceput un sistem de interfata special destinat acestui scop. Elaborarea sistemului de calcul INDEPENDENT in anul 1976 a urmarit realizarea unui sistem eficient, compatibil cu sistemele firmei DEC-SUA. Compatibilitatea s-a realizat prin elaborarea unor interfete special concepute in acest scop. Pe baza interfetelor sistemului INDEPENDENT se pot face dezvoltari care sa permita realizarea de structuri multiprocesor si implicit care sa permita utilizarea SDM simultan de mai multe procesoare. Analiza ce urmeaza cuprinde si aceste dezvoltari.

### 5.1. Organizarea sistemului

Sistemul I-100 este organizat in jurul a ..

două magistrale de comunicatie: INTERBUS-ul și MEMOBUS-ul (fig.5.1. pentru simplificare aceste busuri vor fi notate cu Bus I și Bus M).

Busul I permite transferul informațiilor între unitatea centrală (UC) și toate cuploarele echipamentelor periferice ale sistemului. Pe acest bus se trimit comenzi, stări, adrese și date. Busul I a fost conceput în ideea compatibilizării cu busul UNIBUS al firmei DEC, bus adoptat și în țările socialiste la construcția minicalculatelor. Prin intermediul unor adaptoare aceasta compatibilitate este totală. Pe busul I se poate conecta și memoria operativă, însă în scopul maririi randamentului sistemului, memoria a fost cuplată la un bus special Busul M (fig.5.1.).

Busul M este o variantă simplificată a busului I, care permite cuplarea memoriei cu UC și cu cuploarele care lucrează cu acces direct la memorie (ADM), în cazul sistemului I-100; discurile magnetice, benzi magnetice, cuplare pentru teletransmisie și cuplare intercalculatoare.

Existența celor două busuri permite utilizarea lor simultană. De exemplu: UC poate lucra cu un periferic simplu în timp ce un cupluor cu ADM v-a putea realiza un transfer de date cu memorie. Această caracteristică ridică mult performanțele sistemului I-100.

Ambele busuri avind aceleasi caracteristici electrice, de tip și constructive, în cele ce urmărează se va analiza numai Busul I, considerind și memoria conectată pe acest bus.

UC utilizează același set de semnale pentru a comunica cu dispozitivele periferice (se intențează cu cuploul și perifericul) și cu memoria. Dispozitivele periferice utilizează de asemenea același set de semnale cind comunică cu UC, memoria sau cu celelalte dispozitive periferice. Instrucțiunile referitoare la manipularea datelor în memorie se aplică și pentru manipularea datelor în registrele dispozitivelor periferice.

În acest scop registrele dispozitivelor periferice au adrese bine definite, putând fi adresate pe bus în același fel ca și locațiile memoriei.

Comunicarea pe bus între două dispozitive se

face după principiul "stapin-sclav". Dispozitivul care la un moment dat are controlul busului se numește "stapin", iar dispozitivul care este comandat de acesta se numește "sclav". Aceasta relație stapin-sclav este dinamică, fiecare dispozitiv putind ocupa una din cele două situații. Pe bus comunicarea este interconditionată, semnalele de comandă trimise de stapin trebuind să fie confirmate de semnale trimise de sclav.

La dispozitivele periferice, funcțiile de comandă sunt încarcate în registrele de control, urmând ca anumite c.b. în aceste registre să realizeze comanda operațiilor. Există de asemenea registre de stare, care pot fi testate prin adresarea lor directă. Numărul de registre al dispozitivelor periferice este dependent de tipul echipamentului periferic.

Un dispozitiv periferic cind devine stapin, cere utilizarea busului pentru a rezolva una din următoarele două situații:

a. realizarea unui transfer de date direct la memorie, fără intermediul UC;

b. intreruperea executiei unui program și forțarea UC la adresa de inceput a unei subroutines de tratare a intreruperii respective.

Busul este astfel conceput încât există linii separate pentru transportul datelor și pentru cererea și acordarea busului. În acest fel cele două operații pot fi indeplinite în paralel, transferul de date putindu-se face la viteza maxima de lucru a busului.

#### 5.2. Linii de semnale ale Busului I

Adresele, comenzi, datele și sincronizările sunt transmise fiecare pe un set de linii distincte. Activitatea busului este asincronă și dependenta de semnale de control intercondiționate.

Semnalele busului se pot împărti în următoarele categorii:

- a. semnale folosite la transferul datelor;
- b. semnale folosite la atribuirea priorității;
- c. semnale de initializare.

a. TABELUL 5.1.

Denumire	Mnemonica	Numar linii	Functia
Adrese	A00 - A15	16	Selecteaza adrese din memorie sau registre.
Date	D00 - D15	16	Informatie transmisa.
Comenzi	C00 - C01	2	Tipul de transfer de date.
Sincronizare stabin	MSINC	1	Sincronizarea transferului
Sincronizare sclav	SSINC	1	de date.
Paritate	PARA, PARB	2	Eroare de paritate.
Intrerupere	INTR	1	Sincronizare intreruperi.

b. TABELUL 5.2.

Denumire	Mnemonica	Numar linii	Functia
Cerere bus	CB4 - CB7	4	Cereri de intrerupere emise de dispozitive.
Acordare bus	AB4 - AB7	4	Acordarea busului.
Cerere bus pentru transfer de date	CTD	1	Cereri facute de UC sau dispozitive pentru transferul de date.
Acordare bus pentru transfer de date	ATD	1	Acordarea busului pentru transferul de date.
Confirmare	CAB	1	Confirmarea acordarii busului.

Bus ocupat	OCUPAT	1	Busul este ocupat cu un transfer de date sau tratarea unei intreruperi.
------------	--------	---	---

c. TABELUL 5.3.

Denumire	Mnemonica	Numar liniilor	Functia
Initializare	INIT	1	Initializeaza dispozitivele conectate pe bus.
Tensiune joasa	CTA, CTC	2	Semnalizeaza caderea tensiunii alternative sau continue.

### 5.3. Transferul de date

#### 5.3.1. Generalitati

Transferul de date se poate realiza intre doua dispozitive sau intre un dispozitiv si memorie, fara intermediul UC. Aceste transferuri se numesc transferuri CTD (cererea busului pentru Transferul de Date). Un dispozitiv care are controlul busului transfera cuvinte (16 c.b.) spre memorie, viteza transferului fiind egala cu ciclul de memorie.

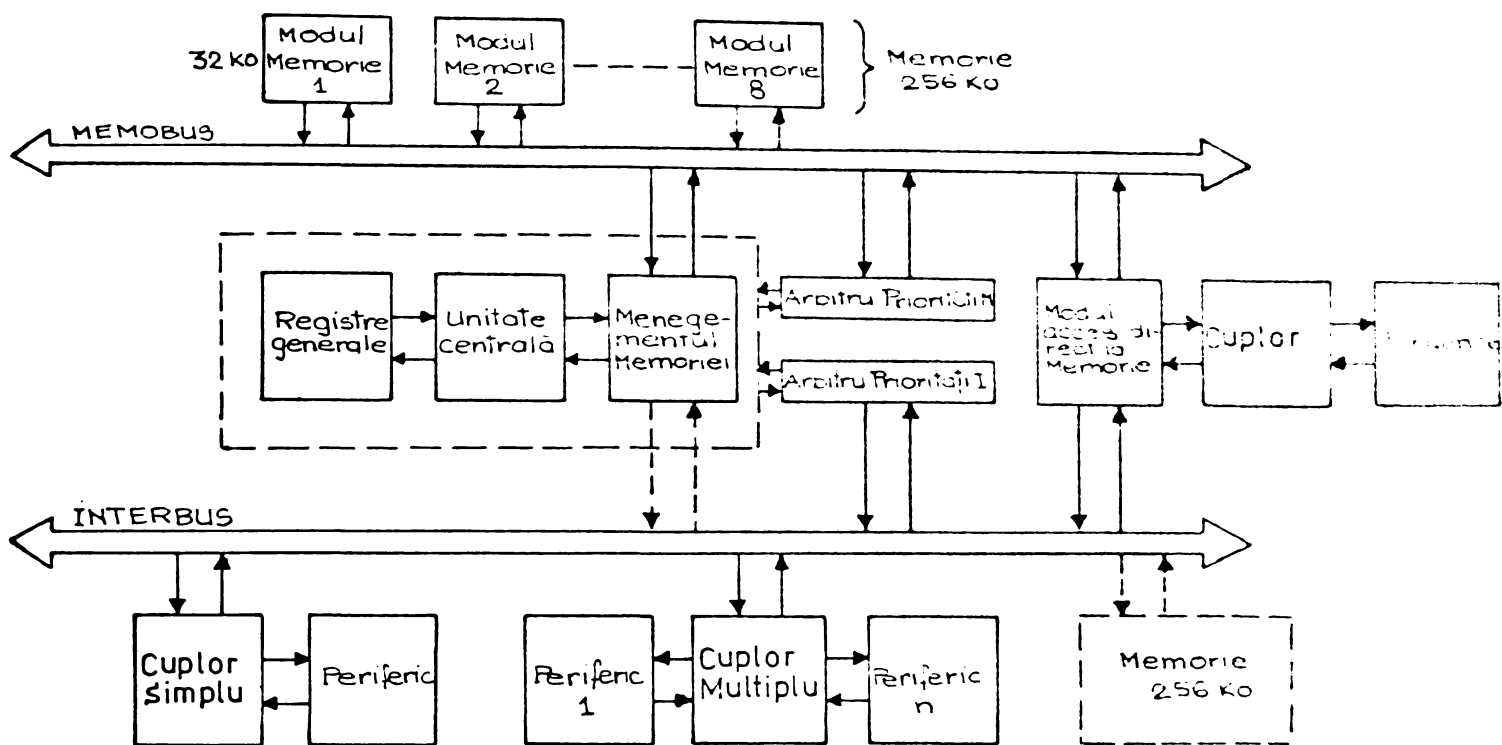
Dupa cum rezulta din Tabelul 5.1. pentru transferul de date sunt folosite 39 de lini, dispozitivul stapan pe bus, transferind date spre sau de la dispozitivul sclav.

##### 5.3.1.1. Liniile de date D00 - D15

Cele 16 lini de date contin informatii care sunt transferate intre stapan si sclav. Cuvintul este format din 2 octeti, octetul cel mai putin semnificativ fiind desemnat de c.b. 0 - 7 (fig.5.2.).

##### 5.3.1.2. Liniile de adresa A00 - A15.

Cele 16 lini de adrese servesc la transmiterea unei adrese de la dispozitivul stapan spre sclav. Formatul adresei este dat in fig.5.3. Pentru cuvinte adresele sunt pare. In operatiile cu octeti c. b. 0 specifica octetul adresat.



----- În cazul configurației fără MEMOBUS

Fig. 5.1. SCHEMĂ ORGANIZARE SISTEM

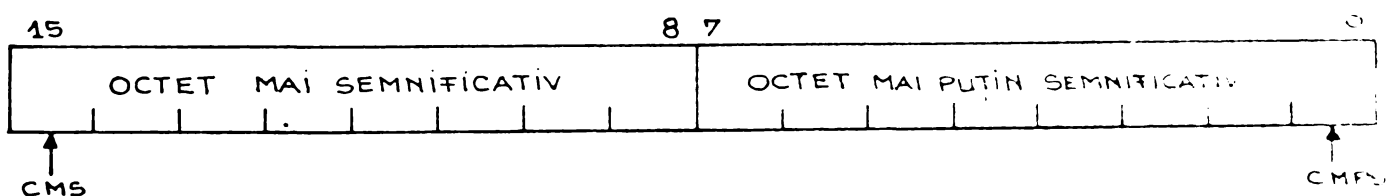
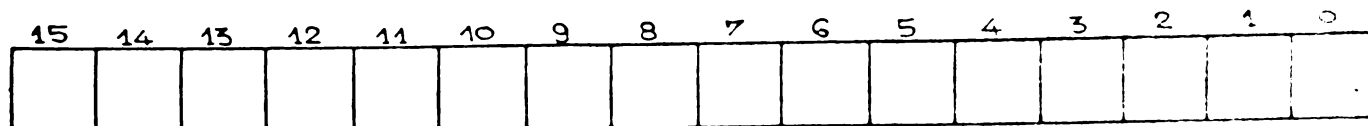


Fig. 5.2. FORMATUL CUVINTULUI



$cbo = 0$  - selectează octetul cel mai puțin semnificativ  
 $cbo = 1$  - selectează octetul cel mai semnificativ

Fig. 5.3. FORMATUL ADRESEI

### 5.3.1.3. Liniile de comenzi C00 si C01

Semnalele trimise pe aceste liniile definesc cele 4 tipuri de operatii de transfer posibile, (tabelul 5.4.), Semnalele sunt transmise de dispozitivul stabin spre dispozitivul sclav. Sensul transferului este definit cu referire la dispozitivul stabin.

TABELUL 5.4.

Nr. crt.	Nume	Mnemonica	Nivel logic C01      C02	Functia
1.	INTRARE	INTRARE	0      0	Transfera cuvint de la sclav la stabin.
2.	INTRARE, PAUZA	INTRARE P	0      1	Transfera cuvint de la sclav la stabin, dar inhiba ciclul de rememorare la dispozitivele cu citire destructiva. Poate fi urmata de o IESIRE.
3.	IESIRE	IESIRE	1      0	Transfera cuvint de la stabin la sclav.
4.	IESIRE	IESIRE O OCTET	1      1	Transfera octet de la stabin la sclav.

### 5.3.1.4. Indicatorii erorii de paritate PARA si PARB.

Aceste semnale sunt generate de sclav si receptionate de stabin. Existenta unei erori de paritate este semnalizata prin PARA = 0 si PARB = 1, iar un transfer fara eroare de paritate de PARA = PARB = 0.

### 5.3.1.5. Semnalele de sincronizare MSINC si SSINC.

Semnalul de sincronizare al dispozitivului stabin MSINC este emis de acesta si receptionat de sclav, avind doua functii:

- indica dispozitivului sclav definit de semnalele de pe liniile de adresa A, ca acesta poate indeplini comenziile trimise pe liniile de comenzi, C.

- negarea semnalului MSINC indica sclavului ca transferul de date a luat sfarsit.

Semnalul de sincronizare al dispozitivului sclav SSINC este emis de acesta si receptionat de stabin, indicandu-i dispozitivului stabin ca a terminat partea sa din trans-

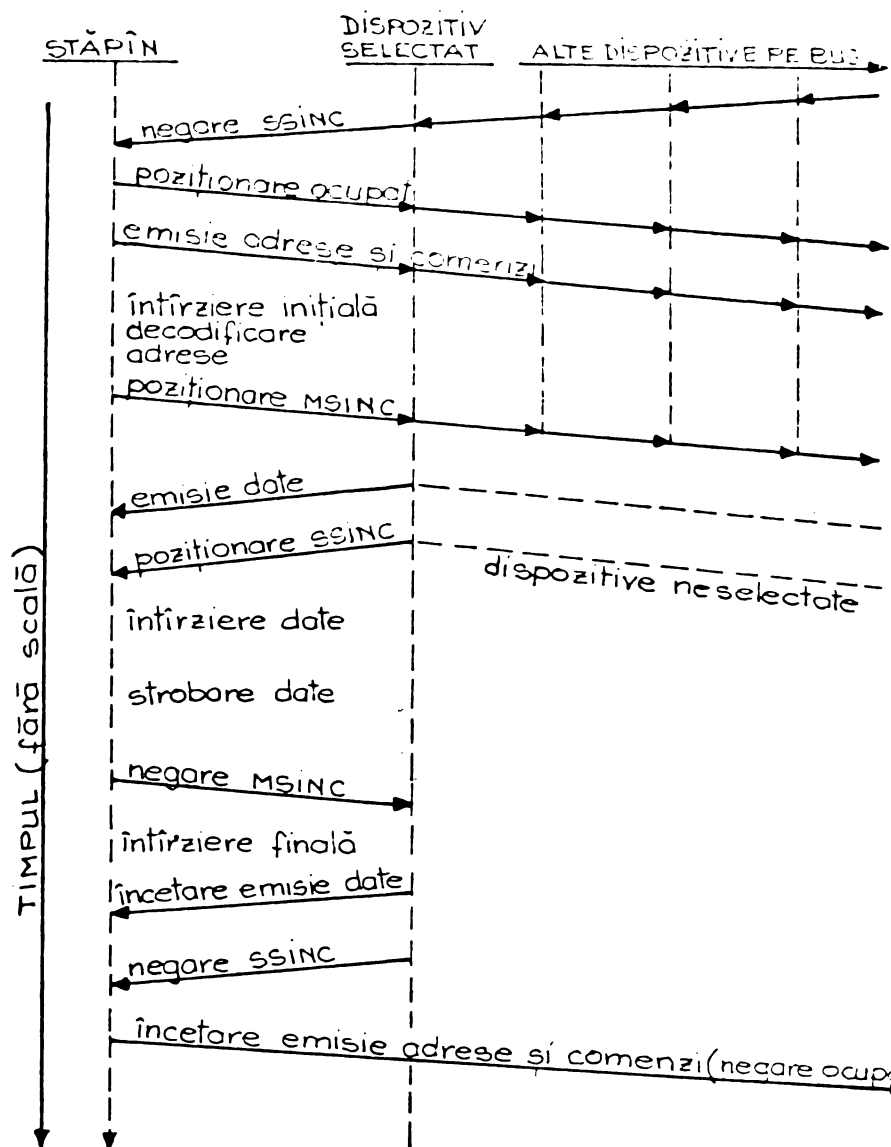


Fig. 5.4. CICLU TIPIC INTRARE/INTRARE PAUZĂ

LA STĂPIN

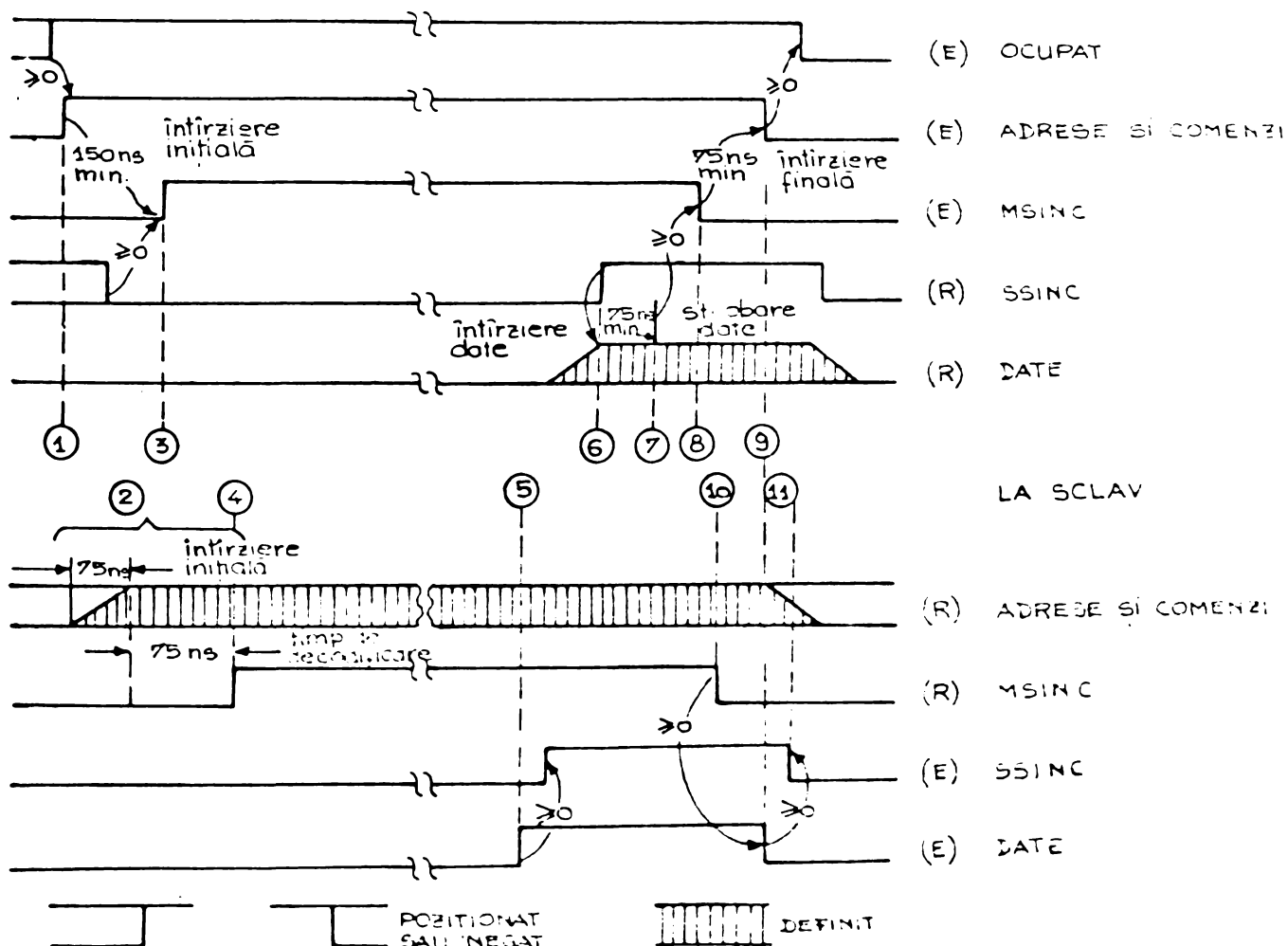


Fig. 5.5. TRANSFER TIPIC INTRARE

ferul de date. Negarea semnalului SSINC indica tuturor dispozitivelor de pe bus, ca sclavul a terminat transferul de date.

#### 5.3.1.6. Cerere de intrerupere INTR.

Semnalul INTR este emis de dispozitivul care a cerut o intrerupere, după ce acesta a devenit stăpin pe bus și informează UC că pe liniile de date se află un vector (adresa) de intrerupere și că urmează intreruperea propriu-zisă. La sfârșitul transferului semnalul INTR este negat. Semnalul INTR poate fi generat numai de un dispozitiv care a obținut controlul busului folosind una din liniile AB 4,5,6 sau 7.

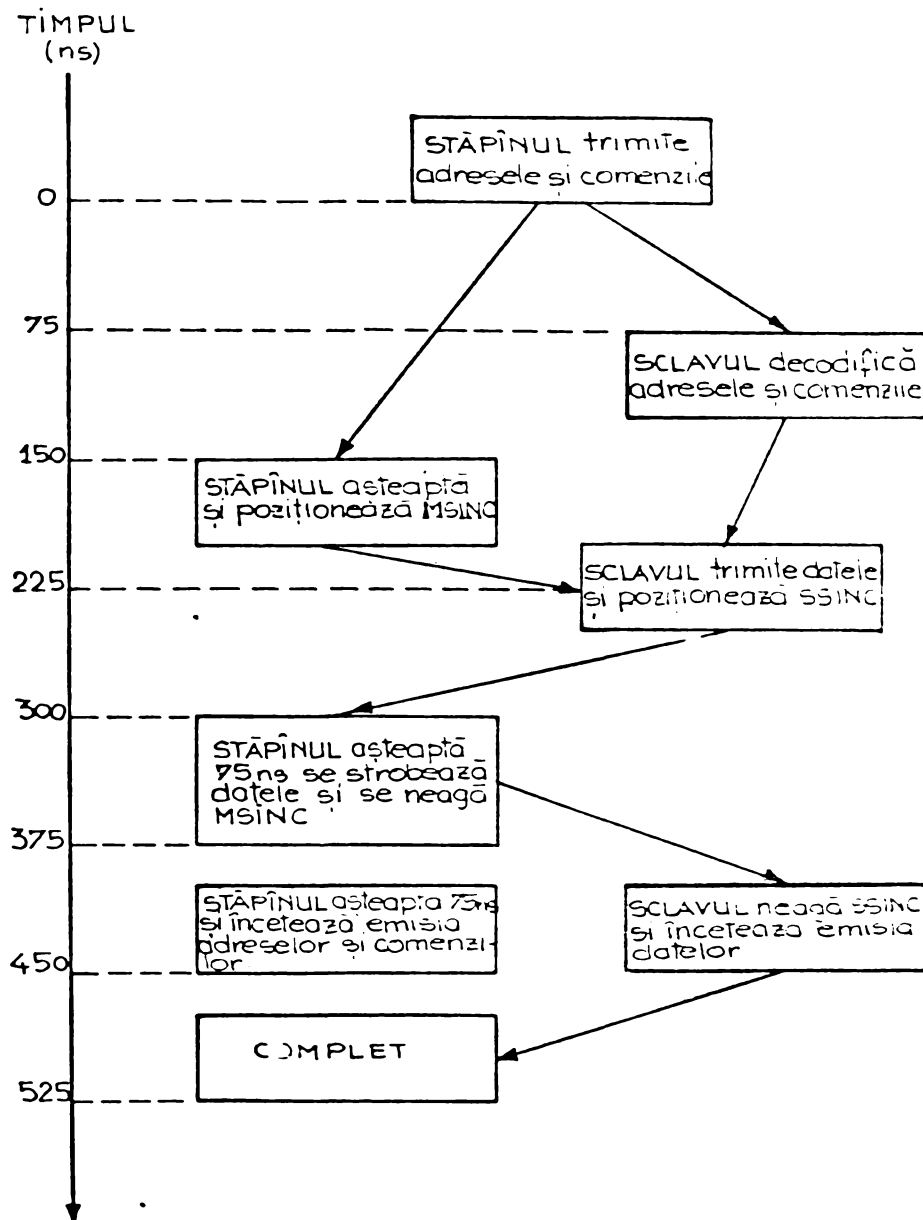
#### 5.3.1.7. Diferență de propagare (skew).

Două semnale emise simultan pe două lini î separate datorită diferenței de propagare pot ajunge decalate la destinație. Pentru a anihila aceasta decalare posibilă, la proiectarea Busurilor I și M s-a prevăzut un timp maxim de stabilizare de 75 nsec.

#### 5.3.2. Transferul de tip INTRARE/INTRARE PAUZA.

Operatiile INTRARE și INTRARE PAUZA (INTRARE P) sunt transferuri de la sclav la stăpin, folosindu-se pentru transferul datelor liniile D, fiind întotdeauna transferuri pe cuvint (dacă stăpinul dorește numai un octet, va prelua octetul dorit). În cadrul transferului P, sclavul este informat că ciclul de reînscriere trebuie inhibat. În acest fel întotdeauna un transfer INTRARE P, v-a trebui să fie urmat de un transfer IESIRE sau IESIRE OCTET (IESIRE 0) în cursul căruia la locația respectiva a sclavului se reînscrie nouă informație. În cazul dispozitivelor de memorie nedistructiva, transferurile INTRARE și INTRARE P sunt tratate în mod identic de către sclav.

În figura 5.4. este analizată interacțiunea dintre sclav și stăpin. Un dispozitiv care devine stăpin pe bus (o pozitionat semnalul OCUPAT) plasează adresele și comenziile pe liniile A și C. Aceste adrese și comenzi sunt decodificate de către celelalte dispozitive conectate pe bus. După plasarea adreselor și comenziilor, stăpinul așteaptă pentru ca semnalele să se stabilizeze și pentru ca dispozitivele de pe bus să aibă timp să le decodifice. În continuare, dacă dispozitivul sclav din ciclul anterior de transfer de date a terminat respectivul transfer negind semnalul SSINC, stăpinul v-a pozitionat semnalul sau de sincronizare MSINC. Dispozitivul sclav selectat, după recepționarea semnalului MSINC, plasează datele pe liniile D și pozitionează semnalul



NOTĂ: Este prezentat cel mai defavorabil caz de întârziere de propagare de 75 ns. Timpul total pentru un singur transfer este de 525 ns, însă următorul ciclu poate începe la 440 ns, cind stăpinul poate trimite noile adrese și comenzi. Viteza maximă de transfer este de 2,5 milioane cuvinte/secundă, adică 5 M oct./secundă.

Fig.5.6. DIAGRAMĂ DE TEMP PENTRU CICLUL INTRARE

sau de sincronizare SSINC. Dispozitivul stabin asteapta stabilizarea datelor, apoi strobeaza datele la receptionarea semnalului SSINC si neaga semnalul MSINC, negare care comunica sclavului ca datele au fost acceptate.

Activitatea sclavului in transferul de date se incheie prin incetarea emisiei datelor pe liniile D si prin negarea semnalului SSINC. Stabinul pentru a preveni falsa selectare a altui dispozitiv pastreaza informatiile pe liniile A si C pina la receptionarea semnalului MSINC de catre toate dispozitivele, apoi termina si el partea sa din transferul de date prin incetarea emisiei pe liniile A si C. Daca stabinul doreste un alt transfer (IESIRE sau IESIRE 0 dupa INTRARE P) va mentine in continuare semnalul OCUPAT, in caz contrar il va nega.

O etapizare a unui transfer INTRARE/INTRARE P este data in fig.5.5. punindu-se in evidenta si propagarea semnalilor, in cazul cel mai defavorabil luat in considerare la proiectarea busului.

Semnalul OCUPAT fiind pozitionat, dispozitivul stabin plaseaza adresele si comenziile pe liniile respective (1). Dispozitivele de pe bus receptioneaza adresele si comenziile pe care le decodifica fiind pusa in evidenta intirzirea de propagare (2). Dupa o asteptare de 150 ns (75 ns pentru compensarea intirzierii maxime pe liniile A si C si 75 ns pentru decodificarea adreselor si comenziilor), stabinul poate pozitiona MSINC cu conditia ca SSINC sa fie negat (adica transferul precedent sa fie incheiat) (3). Semnalul MSINC este receptionat dupa un timp de propagare de catre toate dispozitivele busului, unul dintre acestea care a decodificat adresele recunoscindu-se ca sclav (4). Sclavul dupa un anumit timp plaseaza datele cerute pe liniile D si apoi pozitioneaza semnalul SSINC (5). Dupa un timp de propagare, stabinul receptioneaza pozitionarea lui SSINC (6). Daca dupa un interval de 10 - 20 us acesta nu este receptionat, se pozitioneaza un indicator de eroare. Stabinul dupa o asteptare de 75 ns va stroba datele (7) putind nega semnalul MSINC (8). Dupa o asteptare de 75 ns, stabinul inceteaza emisia adreselor si comenziilor, iar daca acesta este ultimul transfer de date va nega si semnalul OCUPAT (9). MSINC negat este receptionat dupa un timp de propagare de catre sclav (10), iar sclavul poate inceta emisia datelor pe liniile D si neaga SSINC (11).

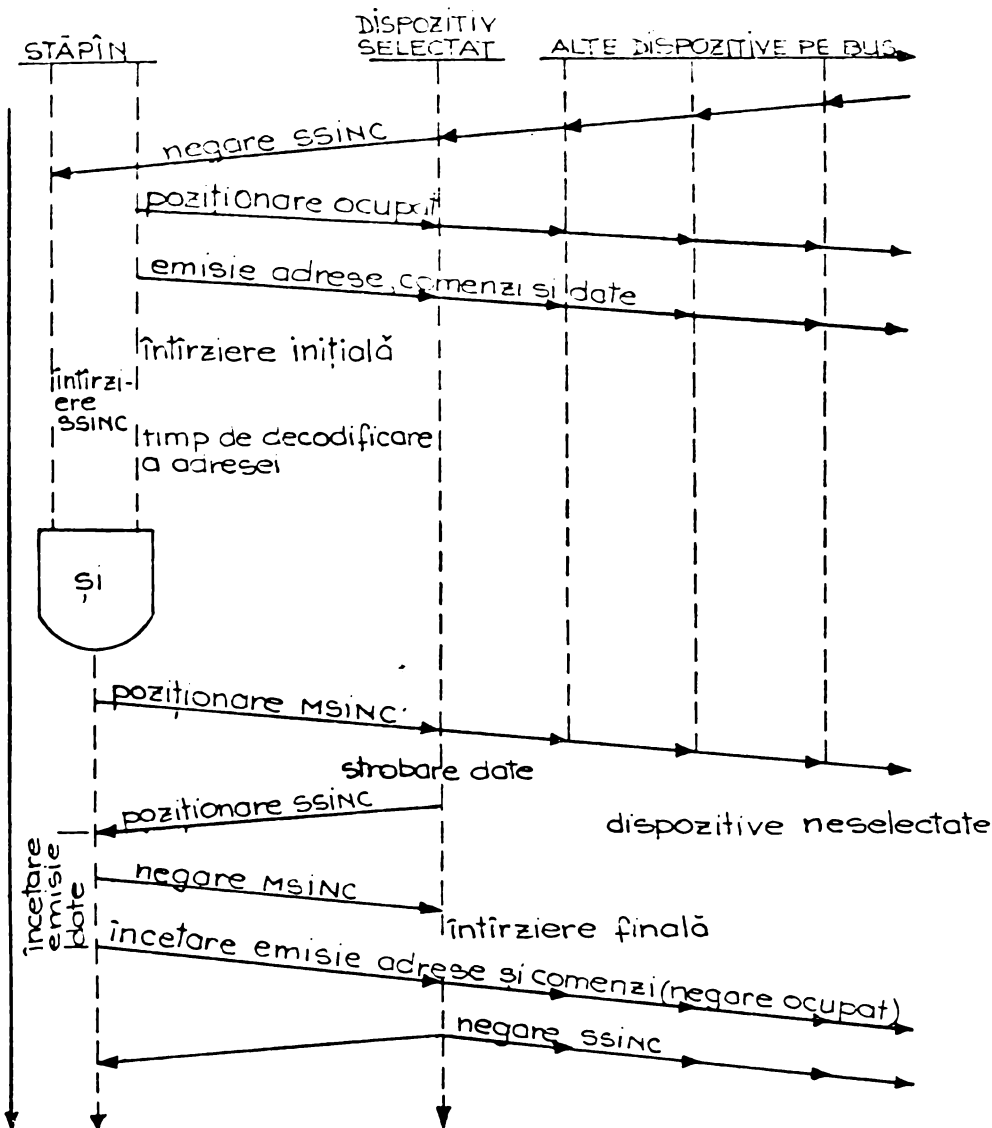


Fig. 5.7. CICLU TIPIC IEȘIRE / IEȘIRE OCTET

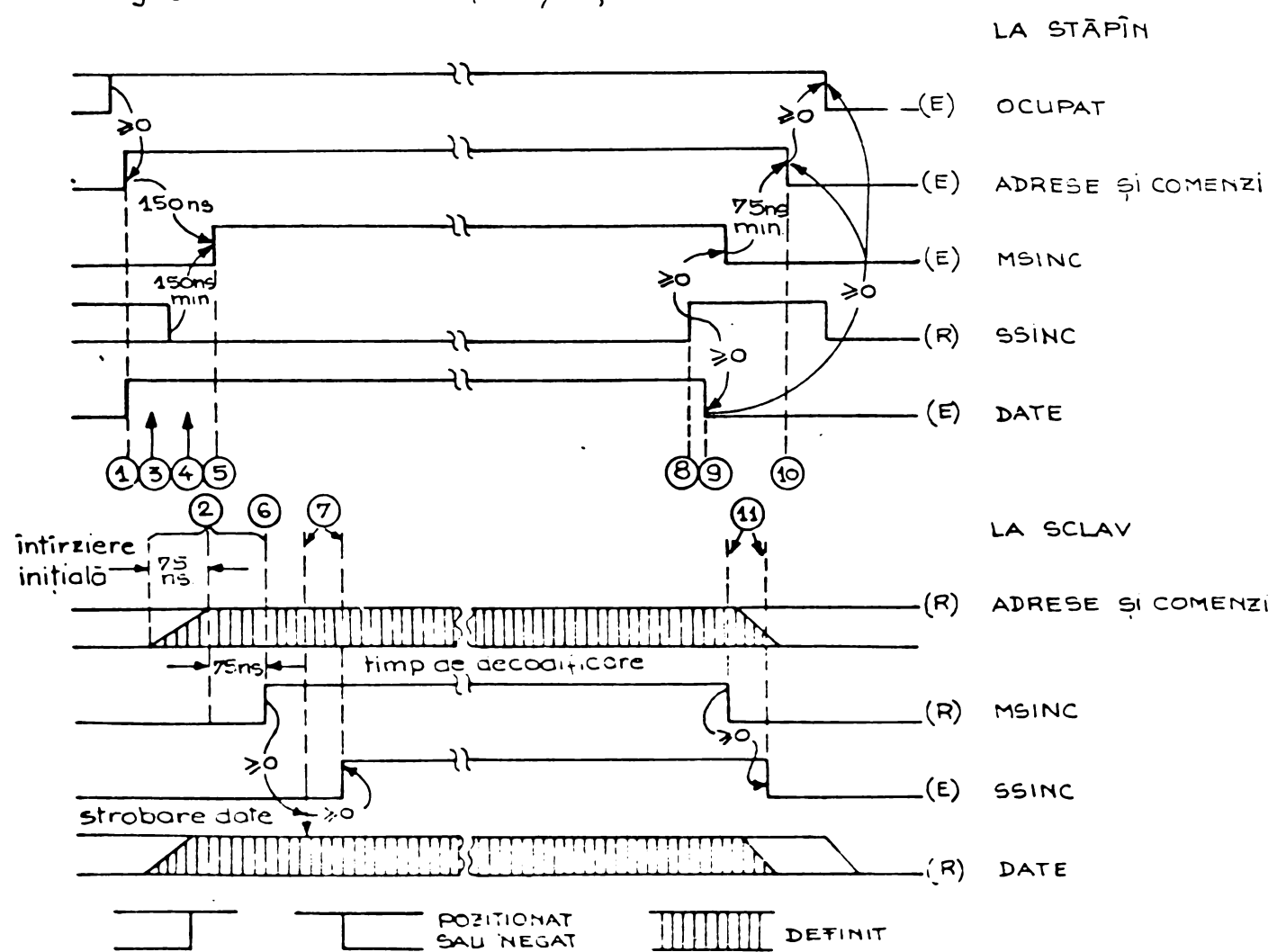


Fig. 5.8. TRANSFER TIPIC IEȘIRE

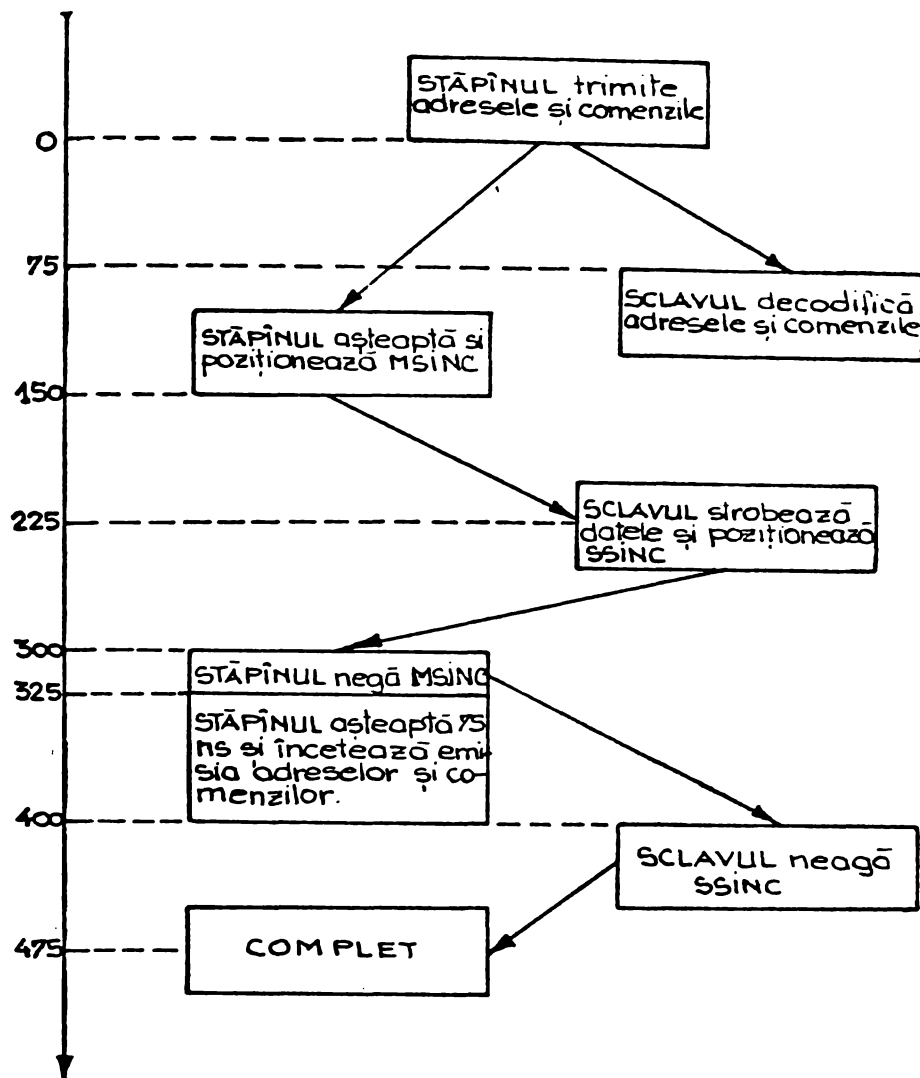
O diagrama de timp este data in fig.5.6. rezultind ca in conditiile cele mai favorabile de propagare un transfer se poate efectua in 525 ns, dar noile adrese si comenzi pot fi trimise dupa 440 ns.

### 5.3.3. Transferul de tip IESIRE/IESIRE OCTET.

Operatiile IESIRE si IESIRE OCTET (IESIRE 0) sunt transferuri de date pe liniile D de la stabin la sclav. Operatia IESIRE este utilizata cind se doreste transferul unui cuvant la adresa specificata de liniile A01 - A15; datele fiind transmise pe liniile D0 - D15. In cazul operatiei IESIRE 0 se transfera un singur octet la adresa indicata de A00 - A15, octetul cel mai putin semnificativ fiind indicat de A00 = 0, stabinul plasind informatia pe liniile D00 - D07, iar octetul mai semnificativ de A00 = 1, datele fiind plasate pe liniile D08 - D15.

In fig.5.7. este analizata actiunea dintre stabin si sclav in cazul unui ciclu tipic IESIRE/IESIRE 0. Un dispozitiv stabin pe bus (OCUPAT POZITIONAT) plaseaza adresa sclavului, comenzi si datele pe liniile A, C si D. Adresele si comenzi sunt decodificate de dispozitive pentru a stabili sclavul. Stabinul poate pozitiona MSINC numai dupa o intirziere corespunzatoare pentru stabilizarea liniilor A si C si o intirziere dupa receptionarea negarii lui SSINC pentru asigurarea incetarii emisiei datelor pe liniile D de catre sclavul anterior. Sclavul selectat, dupa ce receptioneaza pozitionarea lui MSINC strobeaza datele de pe liniile D si pozitioneaza SSINC. Stabinul la receptionarea lui SSINC va nega MSINC si stabilizeaza liniile A si C pentru ca toate dispozitivele sa poata receptiona negarea lui MSINC inainte ca informatiile de pe aceste lini sa se fi alterat si astfel sa apară o selectare falsă. Stabinul termina transferul de date prin incetarea emisiei adreselor si comenziilor. Emisia datelor pe liniile D, trebuie oprita de catre stabin oricand dupa primirea pozitionarii lui SSINC, dar nu mai tarziu de incetarea emisiei adreselor si comenziilor pe liniile A si C. Sclavul dupa receptionarea negarii lui MSINC, isi termina partea sa din transferul de date prin negarea lui SSINC. Linia OCUPAT este negata daca stabinul nu mai doreste alt transfer de date sau este mentinuta pozitionat daca urmeaza alt transfer.

O reprezentare etapizata pentru transferul ti-



NOTĂ : Este prezentat cel mai defavorabil caz de întirzire de propagare de 75ns. Timpul total pentru un singur transfer este de 475 ns, însă următorul ciclu poate începe la 400ns, cind stâpinul poate trimite noile adrese și comenzi. Viteza maximă de transfer este de 2,5 milioane cuvinte/sec. adică 5 Moct./sec.

Fig. 5.9. DIAGRAMĂ DE TIIMP PENTRU CICLUL „IESIRE”

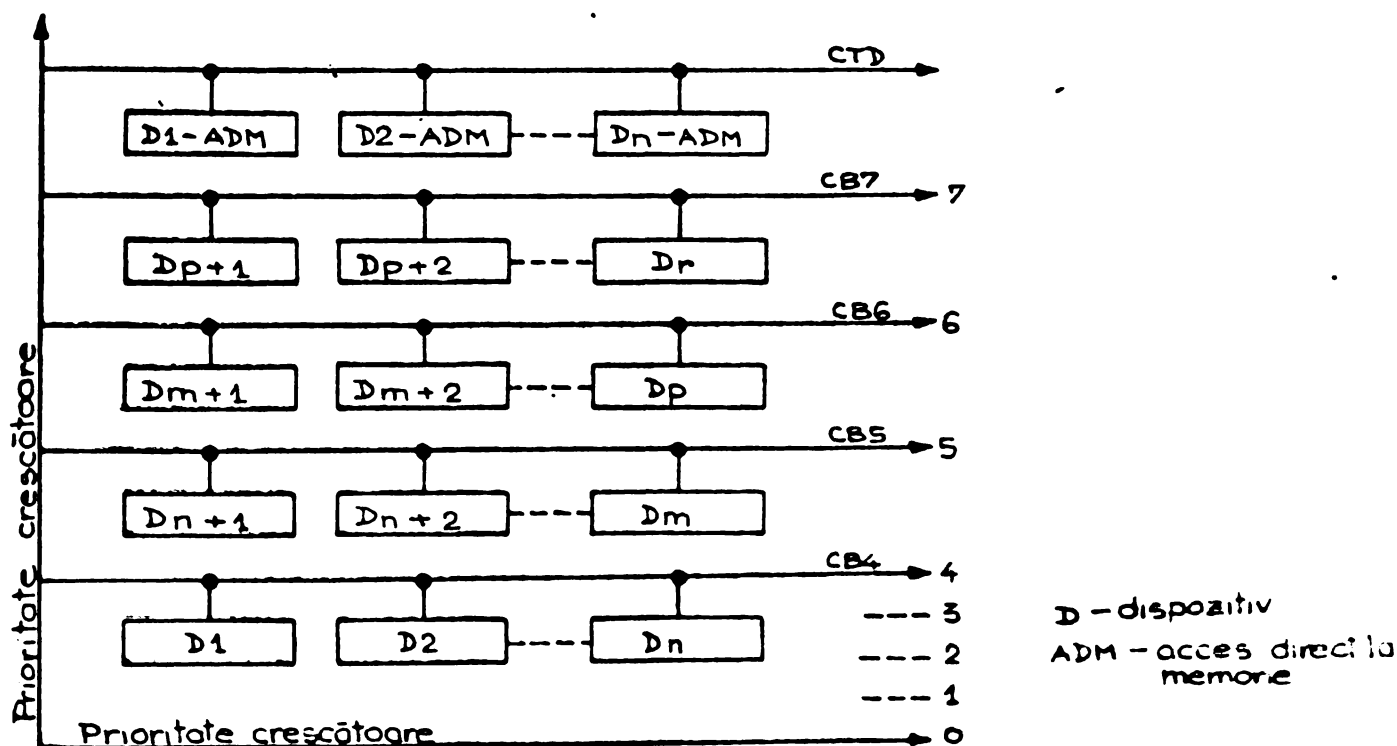


Fig. 5.10. PRIORITATEA PE BUS

pic IESIRE este data in fig.5.8. Deoarece etapele sunt asemanatoare cu cele de la transferul INTRARE, iar diagrama este explicita nu se mai face o explicare detaliata. Din diagrama de timp din fig.5.9. rezulta ca un transfer de tipul IESIRE in cazul celor mai defavorabile conditii de propagare se poate executa in maxim 475 ns, insa noul ciclu poate fi inceput dupa numai 400 ns, cind noul stropin poate trimite adrese si comenzi. Astfel se poate obtine o viteza maxima de transfer de 2,5 milioane cuvinte pe secunda.

#### 5.4. Secventa de arbitrage a prioritatii si secventa de intrerupere.

##### 5.4.1. Structura prioritara.

Una din caile prin care un dispozitiv poate deveni stropin pe bus este intreruperea executiei unui program si fortarea registrului de adresa al UC la o adresa unde este localizata o rutina de serviciu specifica intreruperii respective.

La sistemul I-100 prioritatea unui dispozitiv este functie de nivelul de prioritate atribuit dispozitivului si pozitia sa pe bus in raport cu alte dispozitive care au acelasi nivel de prioritate (fig.5.10.). Pentru dispozitivele periferice exista 4 nivele de prioritati, liniile respective de cerere a busului fiind denumite in ordinea prioritatii CB7, CB6, CB5 si CB4. Fiecare dispozitiv periferic are cablata o anumita prioritate. In cadrul aceluiasi nivel de prioritate dispozitivul mai apropiat electric de arbitrul de prioritati, va fi mai prioritar fata de cele mai departate (de ex: in fig.5.11. pe linia CB5 ordinea prioritatii dispozitivelor este 1,3,4,7, iar ca prioritate generala dispozitivul 5 este cu prioritatea cea mai mare).

UC sub controlul programului poate sa-si atribuie oricare din cele 8 nivele de prioritate (fig.5.10.).

In acest fel desi nivelul de prioritate al unui dispozitiv este cablat, prioritatea sa se schimba in functie de prioritatea UC.

Cum s-a vazut dispozitivele periferice pot efectua transferuri si direct la alte dispozitive periferice, fara intermediul UC, transferuri numite CTD. Un dispozitiv are acces foarte rapid la bus si dupa ce a primit controlul busului transferul se face foarte eficient fara a afecta starea UC care in aceste momente poate elibera busul si poate trata o instructiune.

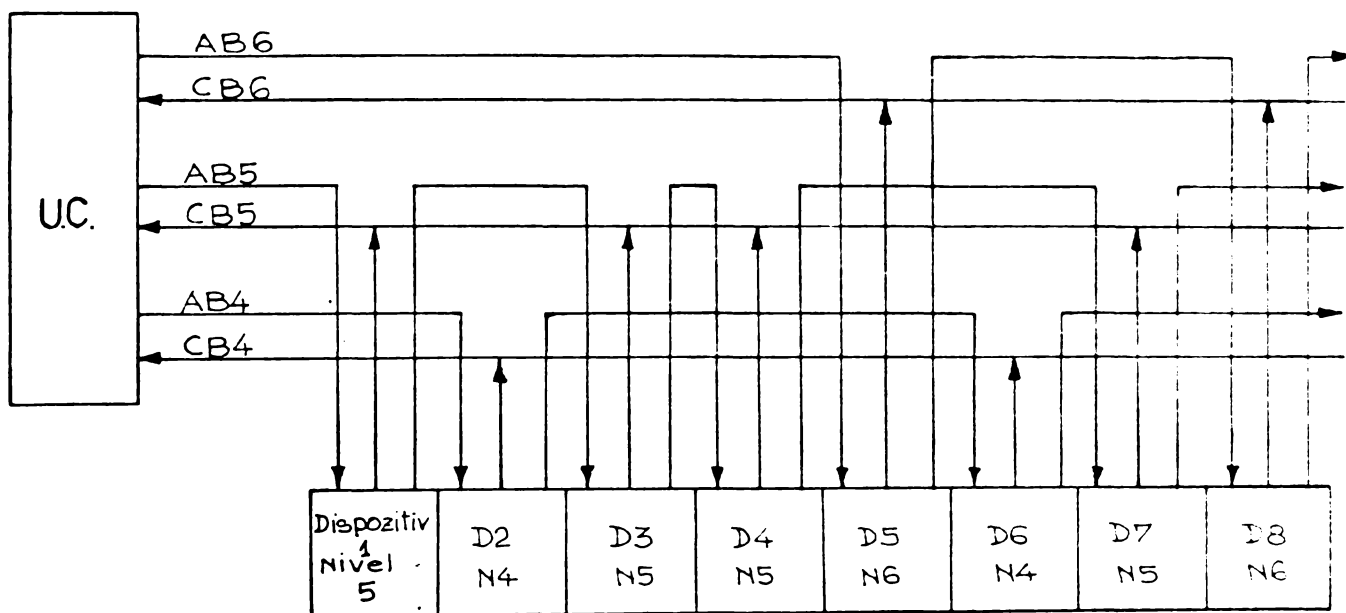


Fig. 5.11. LANT DE PRIORITATE

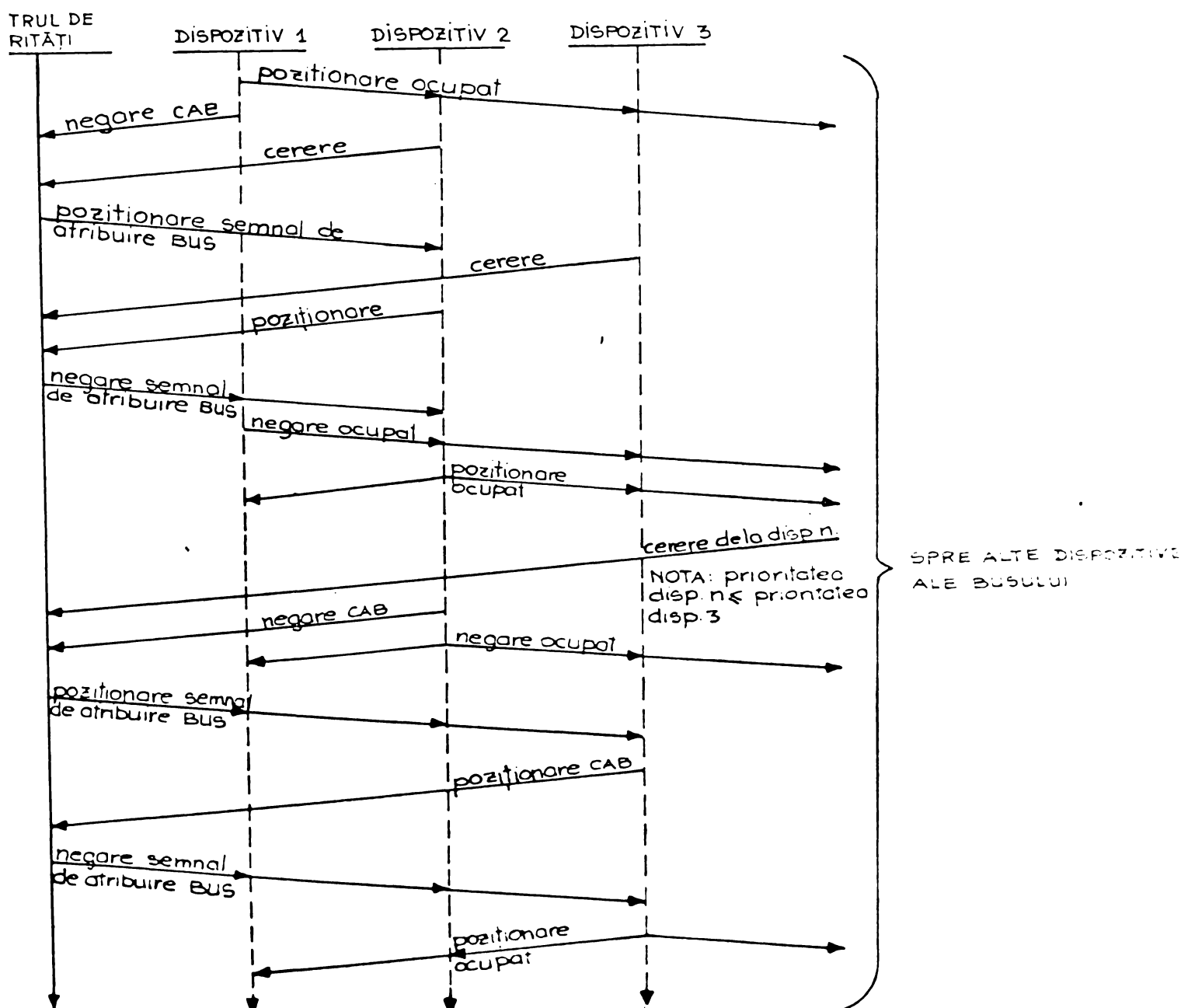


Fig 5.12. SECVENTA TIPICĂ DE ATRIBUIRE PRIORITĂȚI

Un dispozitiv periferic care dorește busul, trimite o cerere pe linia la care este răcordat, cerere care ajunge la un arbitru de prioritati, arbitru ce comanda și nivelul de prioritate al UC. Dacă la arbitru nu s-a primit o cerere la un nivel mai înalt decât nivelul cerut al UC, liniile de date ale busului sunt date UC. În cazul în care UC are un nivel de prioritate inferior, controlul busului a dat dispozitivul cu cel mai înalt nivel de prioritate. Arbitrul de prioritati emite un semnal de acordare a busului pe linia cu prioritatea cea mai mare pe care s-a facut o cerere. Acest semnal este receptionat de primul dispozitiv conectat pe aceasta linie, care dacă are o cerere activă, blochează transmiterea semnalului mai departe și devine stăpin pe bus, în caz contrar semnalul este trecut dispozitivului urmator. Dacă nu este gasit nici un dispozitiv care să fi cerut busul, semnalul este anulat și procesul de atribuire se reia.

#### 5.4.2. Secvența de arbitrage a priorității.

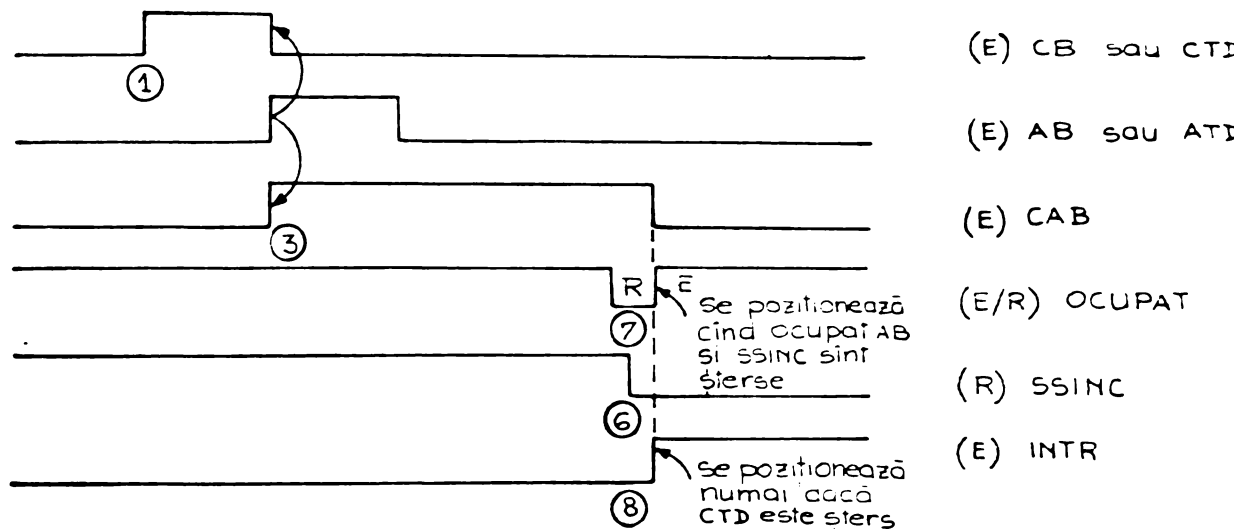
Secvența tipică de arbitrage a priorității este dată în fig.5.12.

Dispozitivul 1 devine stăpin pe secțiunea de date a busului și poziționează semnalul OCUPAT. Cind termină operația de transfer, dispozitivul 1 va nega semnalul CAB (confirmare acordare bus), autorizând arbitrul de prioritati să declanșeze o nouă secvență de acordare a busului. Dacă dispozitivul 2 a facut o cerere de atribuire, se poziționează semnalul de atribuire a busului pe nivelul de prioritate al cererii respective, presupunind că nu s-a facut nici o cerere pe un nivel de prioritate mai mare. Poziționarea semnalului de atribuire a busului va dezactiva arbitrul de prioritati, cererea dispozitivului 2 este încă ignorată, însă dispozitivul 2 recunoscând semnalul de atribuire va poziționa semnalul CAB care va menține în continuare inhibat arbitrul de prioritati, dispozitivul 2 fiind acum desemnat ca urmator stăpin pe bus. Arbitrul de prioritati la recepționarea poziționării semnalului CAB, neagă semnalul de atribuire a busului.

Dispozitivul 1 cind încheie transferul de date, eliberează busul prin negarea semnalului OCUPAT. La recepționarea negării semnalului OCUPAT, dispozitivul 2 recepționează semnalul OCUPAT și începe transferul de date pe bus.

Arbitrul de prioritati nu mai poate onora alte cereri cind este poziționat un semnal de atribuire a busului (de exemplu: cererea dispozitivului 3) sau cind a recepționat

LA DISPOZITIV



LA UNITATEA CENTRALĂ

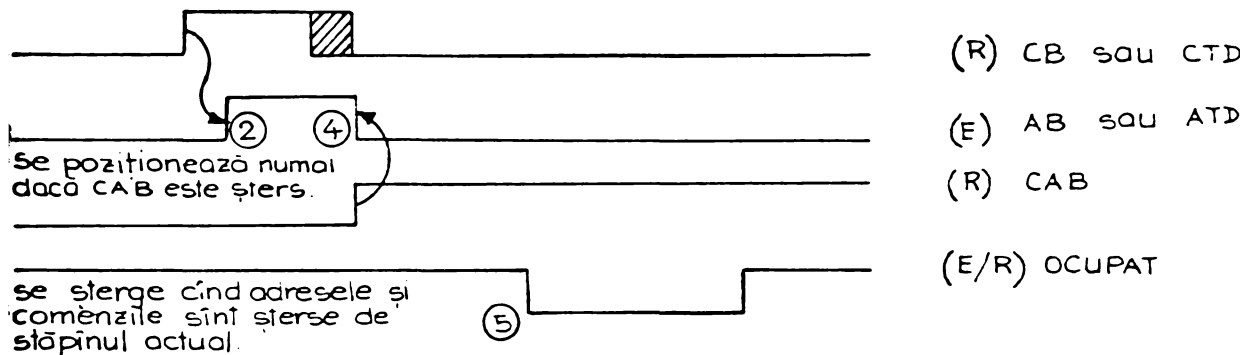


Fig. 5.13. DIAGRAMA DE TEMP A SECVENTEI DE ARBITRARE DE PRIORITATI (unitatea centrală e STĂPÎN)

LA STĂPÎN

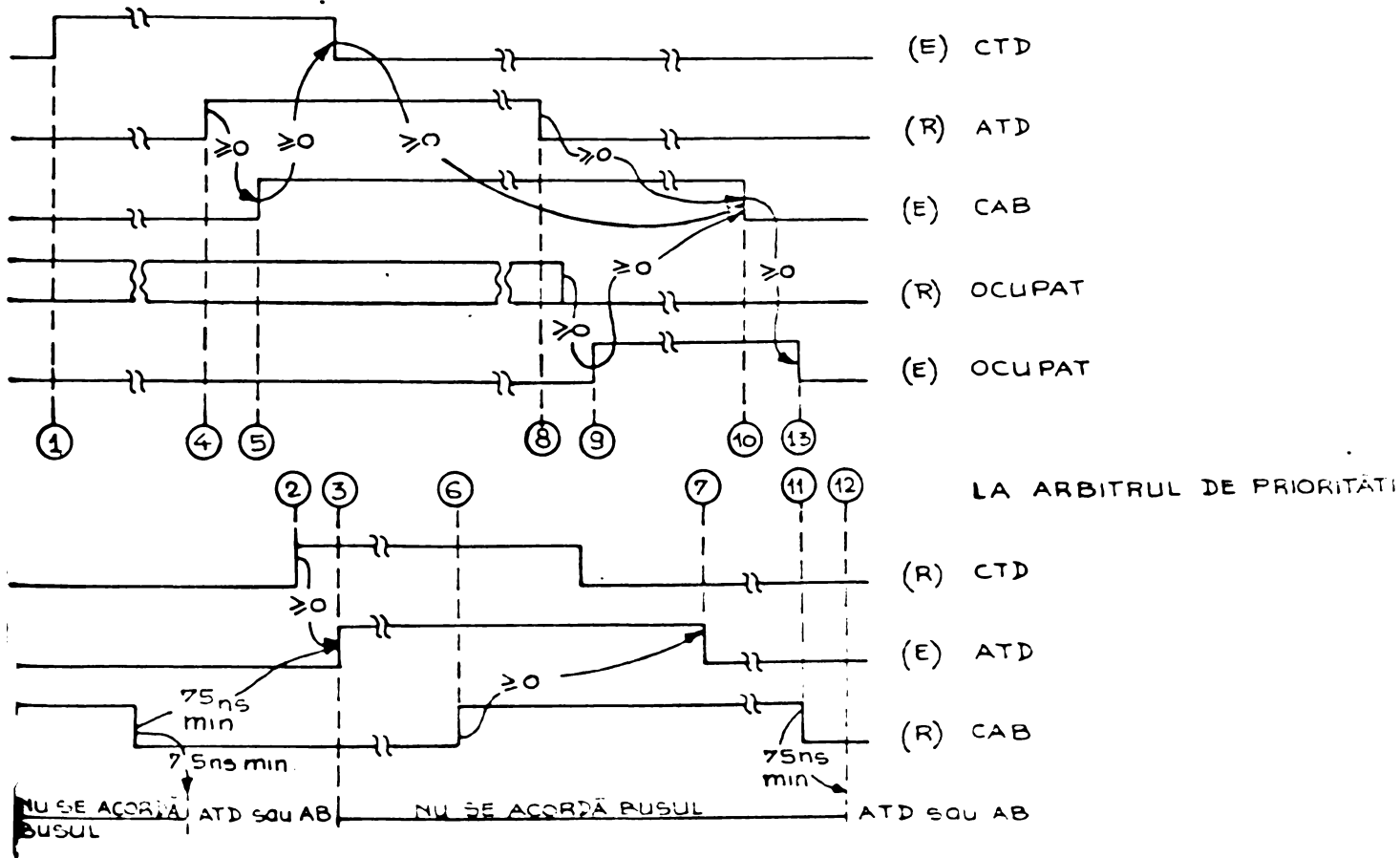


Fig. 5.14. SECVENTA TIPICĂ DE ARBITRARE A PRIORITATII ATD

pozitionarea semnalului CAB (exemplu: cererea dispozitivului N, cind dispozitivul 2 asteapta prea mult inaintea negarii lui CAB). Secventa de arbitrage a prioritatii poate avea loc sau nu simultan cu un transfer de date. In cazul dispozitivelor 1 si 2 procesele au loc simultan. In schimb secventa de atribuire a prioritatii pentru dispozitivul 3 nu incepe pana la terminarea transferului de date al dispozitivului 2.

Arbitrul de prioritati poate raspunde la semnalele emise de dispozitivele de pe bus care cer utilizarea sectiunii de date a busului si la semnalele de validare generate de modulul de intrerupere din UC. UC nu permite generarea semnalelor de atribuire a busului de catre arbitrul de prioritati pe timpul desfasurarii unei rutine de intreruperi si un timp dupa incheierea acestei rutine, timp in care UC isi stabileste noul nivel de prioritate. In acest timp se salveaza informatiile referitoare la vechiul nivel si se stabileste cele care apartin noului nivel. In fig. 5.13. este data diagrama de timp a secventei de atribuire a prioritatii, aratindu-se ce semnale de atribuire a busului sunt generate de arbitrul de prioritati. S-a considerat ca UC este stabin.

O impartire pe etape a secventei de atribuire a prioritatii este data in fig. 5.14. Semnalul CTD este pozitionat de dispozitivul care a facut cererea (1) si dupa un timp de propagare este receptionat de arbitrul de prioritati (2). Daca si semnalul CAB negat a fost receptionat de arbitrul de prioritati si s-a asteptat minim 75 nsec., arbitrul de prioritati poate pozitiona ATD (semnal Acordare Bus pentru Transfer Date), procesul de arbitrage a prioritatii fiind oprit (3). Aceasta intirziere de minimum 75 nsec. asigura receptionarea de catre arbitrul de prioritati a negarii semnalului CTD sau CB al secventei anterioare de arbitrage, inainte de incheierea secventei de arbitrage. Se previne astfel generarea unui semnal de atribuire a busului ca raspuns la secventa de arbitrage anterioara, situatie ce poate sa apară daca cererea ar fi negata in acelasi timp cu semnalul CAB. In cazul transferului unui singur cuvint, imediat dupa pozitionarea semnalului OCUPAT, stabinul poate nega CAB, in acest caz intirzierea lui CAB asigurind ca pozitionarea semnalului OCUPAT sa fie sesizata inaintea negarii lui CAB. De asemenea nici un alt semnal de atribuire a busului nu poate fi generat de arbitru in timp ce un ATD este pozitionat.

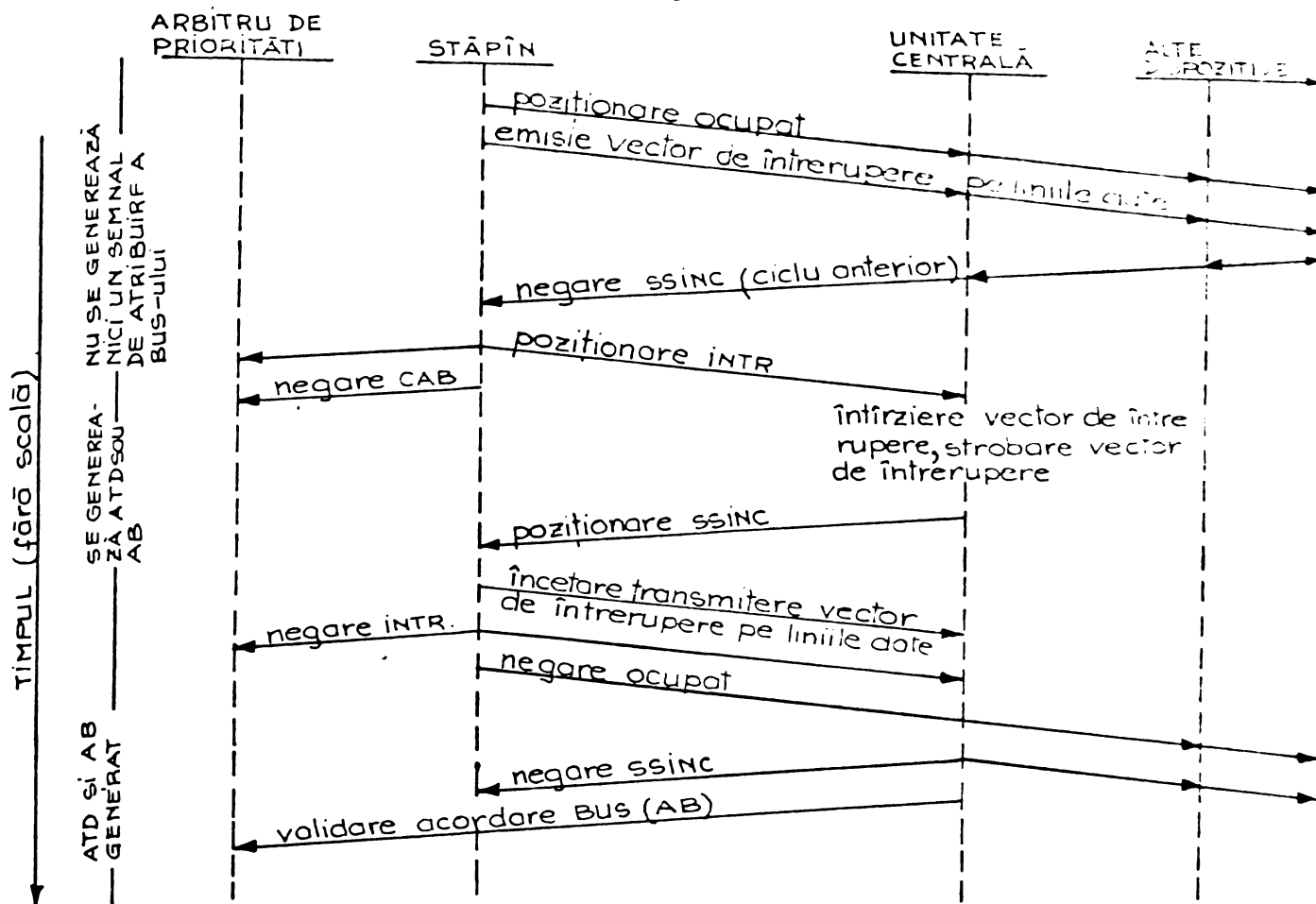


Fig. 5.15. SECVENTA TIPICĂ DE ÎNTRERUPERE

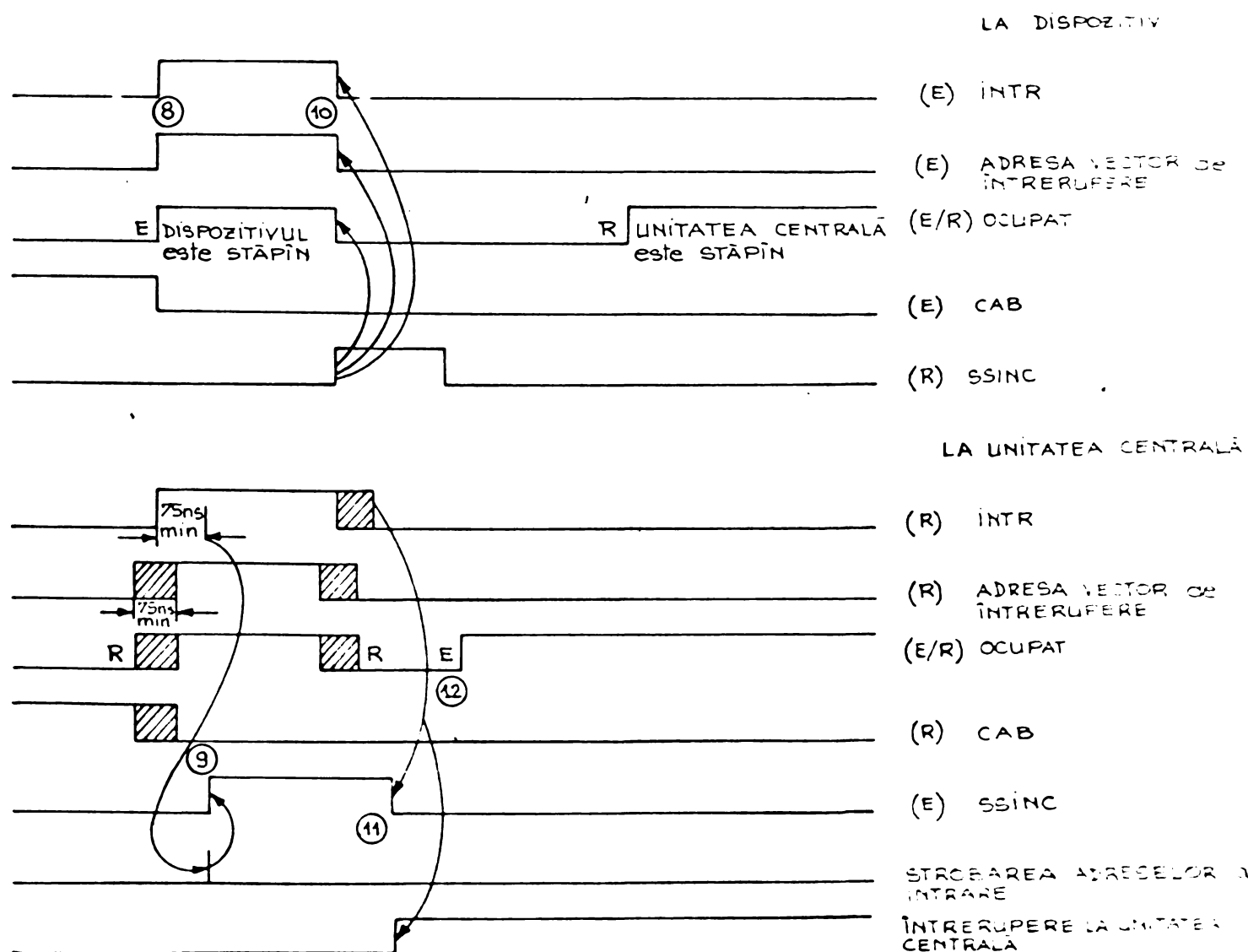


Fig. 5.16. DIAGRAMA DE TEMP PENTRU SECVENTA DE ÎNTRERUPERE

Dupa un timp de propagare ATD este receptionat de dispozitivul care a solicitat busul (4), care la rindul sau pozitioneaza CAB (5). In cazul transferului unui singur cuvint, dupa pozitionarea lui CAB trebuie negat si CTD, insa inainte de negarea lui CAB. Daca se cere un nou transfer in continuare, CTD va ramane pozitionat in continuare.

Dupa o intirziere de propagare arbitrul de prioritati receptioneaza semnalul CAB (6). Daca CAB nu este receptionat de arbitru dupa un interval de 5 - 10 usec. de la pozitionarea lui ATD, ATD este negat si secenta de arbitrage a prioritati se reia. Aceasta intirziere se poate evita daca la sfarsitul busului (arbitrul se afla la inceputul busului), se monteaza un terminator care pozitioneaza CAB in momentul receptionarii pozitionarii semnalului ATD. Negarea lui ATD este propagata pe bus pina la terminator, care la rindul sau neaga CAB dupa receptionarea negarii lui ATD. Apoi se executa direct etapele finale (11) si (12).

Acum arbitrul de prioritati neaga ATD (7), front care dupa un timp de propagare este receptionat de dispozitivul care a facut cererea, (8). Dupa receptionarea negarii semnalului OCUPAT, dispozitivul care a facut cererea pozitioneaza OCUPAT (9), devine stabin pe bus si poate incepe ciclul sau de transfer de date.

Dupa pozitionarea lui OCUPAT, dar inaintea terminarii transferului de date, stabinul poate nega CAB daca a receptionat negarea lui ABn(10). Daca se intentioneaza transferarea unui singur cuvint, dispozitivul pozitioneaza OCUPAT si neaga CAB simultan. Pentru a se asigura receptionarea semnalului CAB la arbitrul de prioritati, stabinul va trebui sa nege CAB inaintea negarii lui ATD.

Dupa un timp de propagare, arbitrul receptioneaza ATD (11) si dupa o asteptare de minimum 75 ns reia secenta de arbitrage (12). Dispozitivul stabin, la sfarsitul ultimului sau ciclu de transfer, asteapta cel putin 75 ns dupa negarea lui MSINC si inceteaza emisia pe liniile A,C si D, apoi neaga semnalul OCUPAT eliberind busul (13). CAB este negat inaintea negarii semnalului OCUPAT.

#### 5.4.3. Secenta de intrerupere.

Cererea de serviciu a unui dispozitiv care cere folosirea busului pe unul din cele patru nivele, este satisfacuta dupa efectuarea urmatoarelor faze:

- a). in urma verificarii prioritatii, UC cedeaza contro-

lul busului dispozitivului care a facut cererea.

b). la obtinerea controlului busului, dispozitivul trimite spre UC o comanda de intrerupere (AVI), adresa la care incepe rutina de tratare a intreruperii specifica dispozitivului respectiv. La adresa urmatoare (AVI + 2) se afla un cuvant care va fi folosit ca nou cuvant de stare (CS) al UC.

c). CS curent si continutul numaratorului de instructiuni curent (NI) sunt trimise de UC intr-o stiva de memorie.

d). noul vector de intrerupere (format din noile CS si NI) este luat de la adresele specificate de dispozitiv si se initiaza rutina de serviciu a dispozitivului.

e). rutina de serviciu a dispozitivului poate determina reluarea programului intrerupt, prin executarea instructiunii de intoarcere din intrerupere (RII) care actualizase CS si NI cu valorile memorate in stiva.

f). rutina de serviciu a oricarui dispozitiv poate fi la rindul ei intrerupta de o cerere mai prioritara, oricind dupa executarea primei instructiuni. Procesul se poate repeta pina la umplerea stivei din memorie.

In fig.5.15. este prezentata o secventa tipica de intrerupere cu interactiunea intre arbitrul de prioritate, dispozitivul stabin si UC. Stabinul dupa obtinerea controlului asupra sectiunii de date a busului printre secventa de arbitrage a prioritatii CBn - ABn, poate emite un semnal de intrerupere spre UC. Vectorul de intrerupere este plasat pe liniile D si daca SSINC este negat, se pozitioneaza INTR si se neaga CAB. Dupa receptionarea pozitionarii lui INTR, UC asteapta stabilizarea liniilor D, strobeaza vectorul de intreruperi si pozitioneaza SSINC. Stabinul la receptionarea pozitionarii lui SSINC, inceteaza emisia vectorului pe liniile D si neaga semnalele INTR si OCUPAT. UC la primirea negarii lui INTR, neaga SSINC. Arbitrul de prioritati inceteaza sa emita semnale de arbitrage a busului AB, dupa receptionarea pozitionarii lui INTR si nu va emite semnale AB pina ce nu va fi autorizat de UC. In schimb poate emite semnale de tip CTD. O alta ilustrare a secventei de intrerupere este data in fig. 5.16. Etapizarea acestei secvente este pusa in evidenta in diagrama din fig.5.17. Dispozitivul care a facut cererea de intrerupere pozitioneaza CBn(1), care dupa un timp de propagare este receptionata de arbitrul de prioritati (2). La arbitrul de prioritati se poate pozitiona semnalul ABn de atribuire a prioritatii (3) si procesul de arbitrage se continua.

sidera inchisat, daca negarea semnalului CAB din ciclul anterior de arbitrage fusese receptionata de cel putin 75 ns si daca UC este gata de a accepta un vector de intrerupere pe nivelul dispozitivului care a cerut intreruperea. Dupa un timp de propagare semnalul AB este receptionat de dispozitivul care a facut cererea (4), acesta facind pozitionarea lui CAB (5). In cazul unui singur transfer CBn trebuie sa fie negat de dispozitivul care a facut cererea, dupa pozitionarea lui CAB, insa inaintea negarii lui CAB. In cazul ca se cere un alt transfer dupa cel in curs de desfasurare, CBn poate ramane pozitionat. Pozitionarea semnalului CAB este receptionata la arbitrul de prioritati dupa scurgerea unui timp de propagare (6). Daca pozitionarea lui CAB nu ajunge la arbitrul de prioritati in 5 - 10 us dupa pozitionarea lui ABN, ABN va fi negat si secventa de arbitrage a prioritatii se reia. Aceasta intirziere poate fi eliminata prin plasarea terminalorului (similar cu la pct.6.4.2.). Semnalul ABn este negat de arbitrul de prioritati (7), front negativ care dupa un timp de propagare este receptionat de dispozitivul care a facut cererea (8). La acest dispozitiv dupa receptionarea negarii semnalului OCUPAT, se pozitioneaza OCUPAT (9) dispozitivul devinind stabin pe bus. Acum dispozitivul stabin care a obtinut printre-un semnal AB (nu prin ATD) dreptul de utilizare a sectiunii de date a busului, va plasa pe liniile de date vectorul de intrerupere (10). Dupa receptionarea negarii lui SSINC stabinul pozitioneaza semnalul INTR, si dupa receptionarea negarii lui ABn, va nega CAB (11) (INTR trebuie sa fie pozitionat inainte ca CAB sa fie negat, asigurindu-se astfel receptionarea pozitionarii lui INTR inainte ca intirzierea lui CAB la arbitrul de prioritati sa se termine. In acest fel intirzierea lui CAB compenseaza diferența intre timpul de propagare al semnalului INTR si CAB la arbitrul de prioritati. De asemenea stabinul nu trebuie sa nege CAB inainte de receptionarea negarii lui ABn, pentru a se asigura ca arbitrul de prioritati a receptionat pozitionarea lui CAB). Pozitionarea semnalului INTR este receptionata dupa un timp de propagare de arbitrul de prioritati si UC (12). UC asteapta cel putin 75 ns (intirziere vector de intrerupere) si apoi strobeaza vectorul de intrerupere pe liniile D (13). UC poate acum pozitiona semnalul SSINC (14), care este receptionat de stabin dupa un timp de propagare (15). Stabinul inceteaza emisia vectorului de in-

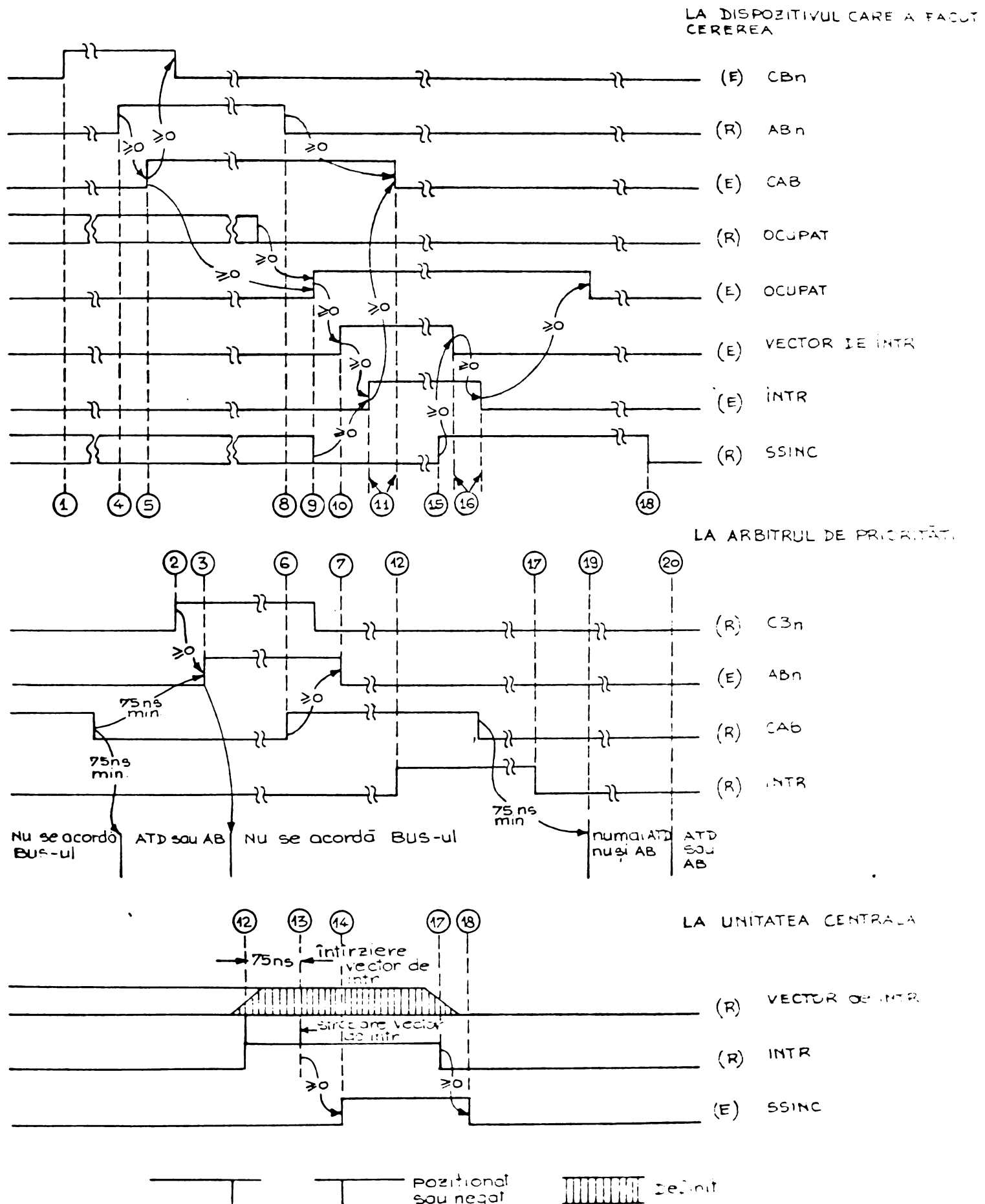


FIG 5.17. DIAGRAMA DE TEMP FENTRU SECVENTIA DE INTERRUPERE AB

trerupere pe liniile D, neaga INTR si apoi neaga OCUPAT ceea ce reprezinta eliberarea sectiunii de date a busului (16). Negarea lui INTR dupa un timp de propagare este receptionata de catre arbitrul de prioritati si UC (17). In etapa urmatoare (18) UC neaga semnalul SSINC.

Dupa receptionarea negarii semnalului CAB (in etapa 11) arbitrul de prioritati asteapta 75 ns si apoi poate relua sevenita generind semnale pentru ATD, dar nu pentru AB (19). In mod normal din locatiile de memorie date de vectorul de intrerupere UC citeste imediat dupa intrerupere noua adresa program si cuvantul de stare. In acest fel UC isi poate determina noul sau nivel de intrerupere. Apoi UC informeaza arbitrul de prioritate ca poate incepe generarea semnalelor AB (20). De remarcat ca stapanul poate executa o singura sevenita de intrerupere ca urmare a unui semnal de acordare a busului AB.

#### 5.5. Analizarea structurii cu mai multe UC.

Conceptia interfetelor sistemului permite realizarea de structuri cu mai multe UC. Pentru fiecare UC trebuie sa se adauge semnalele de cerere a busului pe cele patru nivele de intrerupere (4,5,6 si 7) impreuna cu liniile de acordare a busului precum si o linie de identificare a unitatii. In tabelul 5.5. se indica aceste lini suplimentare pentru un sistem la care s-au conectat inca trei UC.

TABELUL 5.5.

Denumire	Mnemonica	Numar linii	Functia
Cerere bus pentru intreruperi	CB4B,C,D CB5B,C,D CB6B,C,D CB7B,C,D	12	Cereri de intreruperi emise de unitatile centrale B,C si D.
Acordare bus	AB4P AB5P AB6P AB7P	4	Analog cu CTD pentru o unitate centrala.
Linii de identificare a unitatii	IDA IDB IDC IDD	4	Indica UC-ul care lucreaza cu busul.

In cazul lucrului cu mai multe UC arbitrul de prioritati se modifica, de asemenea cuploarele vor fi modificate pentru a raspunde la semnalele suplimentare. In sistem, la aparitia unor conflicte de acces in cazul cererilor simultane adresate aceleiasi resurse, UC-urile au prioritati preferentiale unele fata de altele.

## CAP.6. ALOCAREA TIMPULUI DE LUCRU AL SDM

### 6.1. Strategii de alocare.

O strategie de alocare are ca scop sa satisfaca toate cererile, insa cu respectarea unor conditii cum ar fi:

- garantarea unui timp dat de alocare;
- respectarea unei prioritati;
- terminarea lucrului inainte de un termen limita impus anterior;
- anularea lucrului dupa un timp limita impus anterior.

Dupa modul de organizare strategiile pot fi clasificate in urmatoarele categorii:

- strategii fara reciclag;
- strategii su reciclag.

#### 6.1.1. Strategii fara reciclag.

##### 6.1.1.1. Sirul de asteptare simplu (FIFO)

Lucrarile sunt tratate in ordinea venirii, singurul criteriu de prioritate fiind momentul prezentarii. O lucrare lunga duce la intirzirea tuturor lucrarilor care o urmeaza (fig. 6.1.).

##### 6.1.1.2. Sirul de asteptare ordonat dupa criteriul de timp de executie.

Fiecare lucrare nou venita este plasata in sir, dupa timpul estimat de lucru. Aceasta strategie este dezavantajoasa pentru lucrările lungi care pot fi întirziate foarte mult. O ameliorare se poate aduce prin combinarea cu timpul de asteptare. O alta posibilitate este ca timpul estimat de executie pentru procesul nou venit sa fie comparat cu timpul estimat ramas al lucrarii in curs si daca este mai mic lucrarea in curs este oprita cedind locul

lucrarii nou venite, lucrarea intreruptă reîntorcindu-se în sirul de așteptare într-un loc corespunzător timpului care a mai ramas de executat. Si în acest caz lucrările scurte au fost avantajate (fig. 6.2.).

#### 6.1.2. Strategii de reciclaj

##### 6.1.2.1. Reciclajul cu un singur sir de așteptare.

La aceasta strategie timpul de alocare este împartit în "Cuante" de timp notate cu  $q_i$ , fiecare proces primind procesorul alternativ pe durata  $q_i$ , fiind apoi plasat în coada sirului de așteptare (fig. 6.3.).

Strategia prezintă avantajul că orice lucrare va primi procesorul după un anumit interval de timp. O problemă este alegerea valoiei cuantei.

##### 6.1.2.2. Reciclajul cu mai multe siruri de așteptare

Si aceasta strategie avantajeaza lucrările mai scurte. Se introduc mai multe siruri de așteptare care pot avea cuante de aceeași valoare sau diferite (fig.6.4.).

Procesele care cer procesorul sunt aranjate în  $n$  siruri  $S_1, S_2, \dots, S_n$ , fiecarui sir  $S_i$ , fiindu-i atașată o cuantă de timp  $q_i$ . Procesele nou venite intra în sirul  $S_1$ . Lucrarea aflată în capul sirului  $S_i$  ( $i > 1$ ) nu poate fi luată în considerare decât dacă toate sirurile  $S_j$  ( $0 < j < i$ ) sunt goale. Dacă o lucrare din sirul  $S_i$  nu este terminată pînă la terminarea cuantei  $q_i$  ea va trece în coada sirului  $S_{i+1}$ . Lucrările care ieș din sirul  $S_n$  vor intra tot în sirul  $S_n$  dacă nu s-au terminat pe durata cuantei  $q_n$ . Lucrările noi care sosesc în sirul  $S_1$  în timpul executiei unei lucrări din sirul  $S_i$  ( $i > 1$ ), sunt luate în lucru după expirarea cuantei  $q_i$ . Dacă sirul  $S_1$  este gol lucrările noi vor fi luate în considerare imediat.

#### 6.2. Model de alocare.

Se stabilesc urmatoarele reguli de alocare : orice lucrare primește odata o singura cuantă, o lucrare liberează subsistemul atunci cînd se termină sau cînd

iunge la sfirsitul cuantei repartizate, cind subsistemul s-a eliberat este alocat lucrarii care a primit de mai putine cuante. Este utilizata deci o strategie deordonare cu mai multe nivele, lucrarile fiind aranjate in siruri cu prioritati diferite: toate lucrarileeterminate care au terminat i cuante vor fi plasate in siruri  $i + 1$  in ordinea ajungerii in aceasta situatie (IFO), prioritatea descrescand odata cu cresterea numarului sirului (fig. 6.5.).

Se presupune ca cererile sosesc dupa o distributie Poisson, cu un debit mediu  $\lambda$ , timpul de executie fiind o distributie discreta care are probabilitatea de a dura  $j$  cuante. Se doreste sa se stabileasca timpul de raspuns mediu  $W(i)$  pentru o lucrarare  $i$  cuante. Acest timp de raspuns se poate imparti in:

• timpul mediu de asteptare  $A$  datorat celorlalte lucrari si timpul de executie. Neglijind timpul de comuta de la o lucrare la alta putem scrie:

$$6.1.) \quad W(i) = A + i \cdot q$$

Timpul de asteptare se datoreaza pe de o parte lucrariilor incepute dinainte si inca neterminate si pe alta parte datorita unor lucrarri noi sosite in timpul desfasurarii lucrarii si care primesc prioritate intru prima lor cuanta.

Considerind o lucrare  $l$  de  $i$  cuante, timpul de asteptare se poate descompune in:

$$6.2.) \quad A = A_1 + A_2$$

unde:

$A_1$  - timpul mediu consumat pentru terminarea cuantei in curs de executie si pentru achitarea tuturor cererilor venite inaintea lucrarii  $l$  si situate in primele  $i$  siruri de asteptare;

$A_2$  - timpul necesar pentru achitarea cererilor venite dupa  $l$ , pina la a  $(i - 1)$  cuanta inclusiv;

incepind cu momentul in care  $l$  incepe prelucrarea in ultima sa cuanta i noile cereri nu mai sunt luate in considerare.

#### 6.2.1. Calculul timpului $A_2$

Fie  $G(n)$  functia de repartitie a timpilor de ex-

ecute.



Fig. 6.1. Schema tratarii in sir de asteptare simplu.

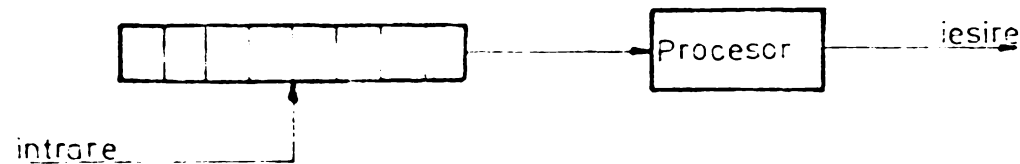


Fig. 6.2. Schema tratarii in sir de asteptare ordonat.

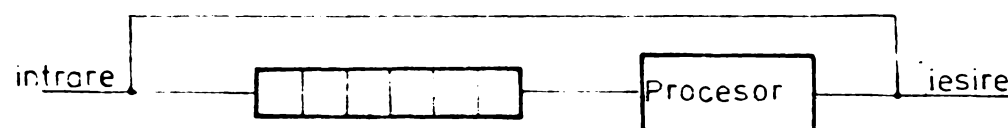


Fig. 6.3. Schema tratarii cu reciclag  
cu un singur sir de asteptare.

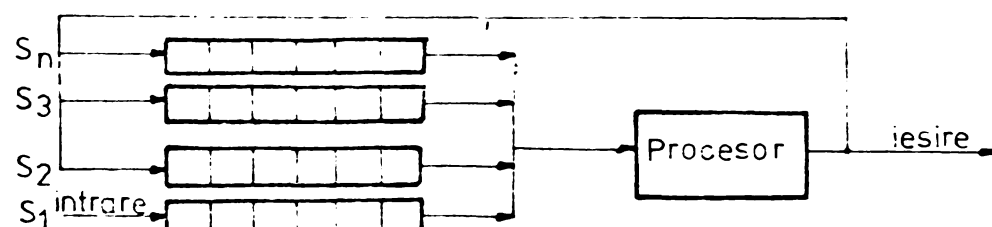


Fig. 6.4. Schema tratarii cu reciclag  
cu mai multe siruri de asteptare.

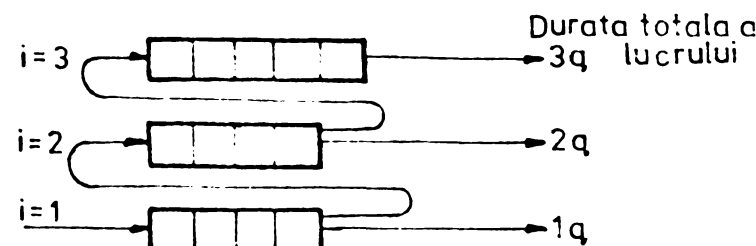


Fig. 6.5. Schema de tratare a modelului propus.

$$(6.3.) \quad G(n) = \sum_{j=1}^n g_j$$

Timpul mediu consumat de subsistem  $S(n)$ , pentru o cerere care a primit cel mult  $n$  cuante se poate scrie:

$$(6.4.) \quad S(n) = \sum_{j=1}^n j \cdot q \cdot g_j + n \cdot q \cdot (1 - G(n))$$

unde termenul al doilea corespunde lucrarilor cu mai mult de  $n$  cuante.

In timpul  $A$  de asteptare al lucrarii 1 si a executiei primelor sale  $i - 1$  cuante, numarul de "sosiri" creste in medie de:

$$(6.5.) \quad \lambda[A + (i - 1) \cdot q]$$

Atita timp cat lucrarea 1 nu a primit ultima sa cuanta, fiecare din noile lucrari va primi in medie  $S(i - 1)$  cuante, de unde:

$$(6.6.) \quad A = \lambda[A + (i - 1) \cdot q] \cdot S(i - 1)$$

#### 6.2.2. Calculul timpului $A_1$

Sa consideram o politica ajutatoare, pentru calculul timpului  $A_1$  si anume: toate cererile din primul sir

pot primi pina la  $i$  cuante, insa in sirurile de prioritati inferioara (urmatoarele) pot primi numai cate o singura cuanta.

Deci o lucrare data 1 cu lungimea de  $i$  cuante va astepta deci in primul sir si va fi servita o singura data.

Fie  $A_3$  timpul de asteptare al lucrarii 1, acest timp fiind datorat cererilor precedente lui 1 din primul sir si lucrarilor in curs de executie. Ne propunem sa aratam ca timpul de asteptare  $A_3$  este egal cu timpul de asteptare  $A_1$  din strategia initiala.

Subsistemuul poate sa se gaseasca in doua stari: activ sau in asteptare. Cind este activ poate avea de rezolvat lucrarri cu durata mai mica sau egala cu  $i$  cuante sau lucrarri cu durata mai mare de  $i$  cuante. In fig. 6.2. s-au figurat pe axa timpului cele trei situatii marcate prin fazele 0,1 si respectiv 2.

In ambele cazuri timpul de gestiune al lucrarilor este neglijat, timpul total de executie a unei grupe date de lucrari nedepinzind deci de politica aleasa, distributia perioadelor de "asteptare" fiind aceeasi pentru ambe-

le cazuri.

Intr-un interval de activitate distributia fazelor 1 si 2 este independenta de asemenea de politica aleasa. Deci distributia celor trei faze este independenta de politica aleasa.

Reluind cererea 1 de i cuante:

- daca se prezinta cind sistemul este intr-o perioada de "Asteptare" timpul de asteptare este nul pentru cele doua politici;

- daca se prezinta cind sistemul este intr-o faza 2, cererea 1 asteapta sfirsitul cuantei in curs de executie, asteptarea fiind de asemenea identica la ambele cazuri;

- daca se prezinta cind sistemul este intr-o faza 1 se poate sa nu se considere decit lucrarile sosite inainte de lucrarea 1 si care au mai putin de i cuante. Timpul de executie al acestor lucrari pina la cuanta i este independenta de politica. Timpul de asteptare al lucrarii 1 este egal cu timpul total de executie a acestor lucrari (identic pentru cele doua politici) mai putin suma timpilor deja primiti. Aceasta suma este egala cu timpul ce separa inceputul fazei 1 de momentul aparitiei lucrarii 1, ca fiind deci aceeasi pentru ambele variante. Deci timpul de asteptare al lucrarii 1 este acelasi, de unde:

$$(6.7.) \quad A_3 = A_1$$

In cazul politicii ajutatoare putem scrie:

$$(6.8.) \quad A_3 = R(i) + m.S(i)$$

unde:  $R(i)$  este timpul mediu pentru terminarea lucrarii in curs

$m$  este lungimea medie a primului sir

Facind apel la relatia lui Little care se aplica unui sistem de echilibru in care intra cereri cu un debit mediu de sosire  $a$ , putem considera ca numarul mediu  $L$  de cereri in sistem este egal cu produsul dintre  $a$  si timpul mediu de rezidenta in sistem notat cu  $S$ :

$$(6.9.) \quad L = a.S$$

Relatia (6.9.) este valabila in ambele cazuri.

Se obtine:

$$(6.10.) \quad m = \lambda A_3$$

Rezulta:

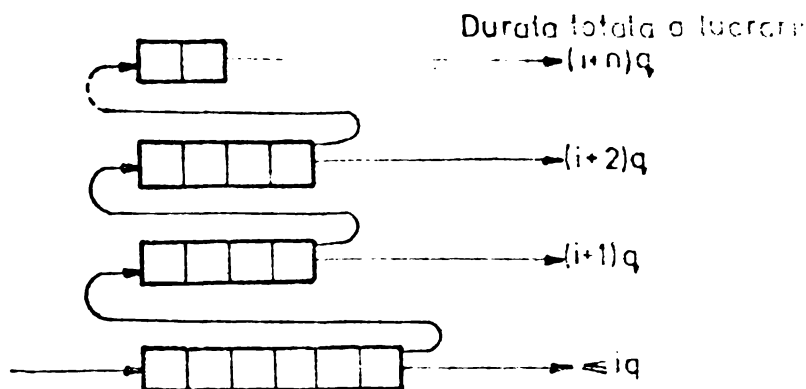


Fig. 6.6. Schema de tratare a modelului după politica ajutătoare.

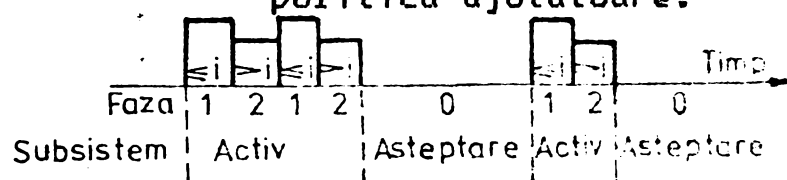


Fig. 6.7. Starea și fazele posibile ale subsistemului.

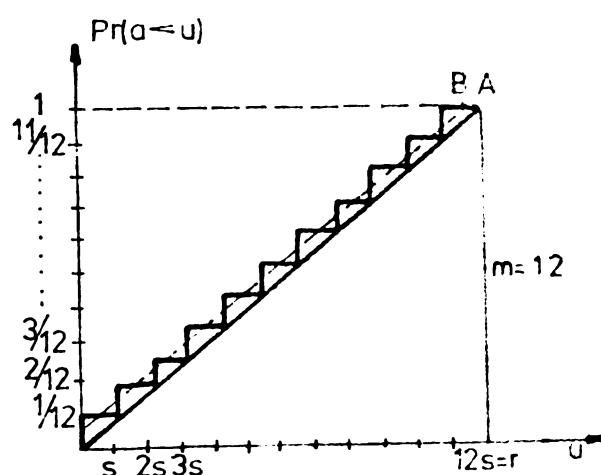


Fig. 6.8. Functia de repartitie a timpului de acces la un sector.

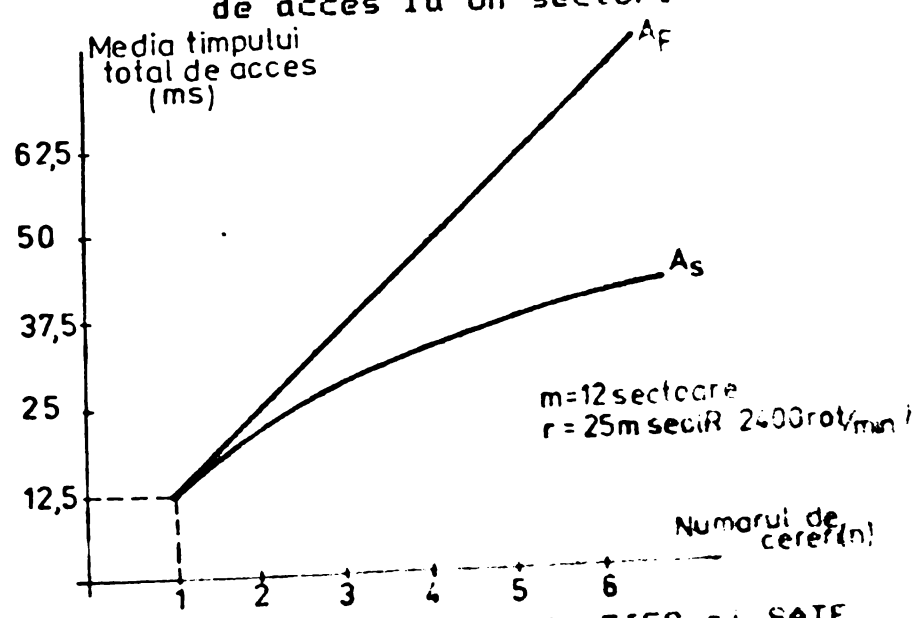


Fig. 6.9. Comparare intre metoda FIFO si SATF.

$$(6.11.) \quad A_3 = \frac{R(i)}{1 - \lambda S(i)}$$

Fie  $S_2(i)$  media patrata a timpului de serviciu

pînă la etapa i :

$$(6.12.) \quad S_2(i) = \sum_{j=1}^i (i \cdot q)^2 \cdot g_j + (i \cdot q)^2 \cdot [1 - G(i)]$$

După Conway avem:

$$(6.13.) \quad R(i) = \frac{\lambda}{2} \{ S_2(i) + q^2 \sum_{j=i}^{\infty} [1 - G(j)] \}$$

Inlocuind (6.11.) și (6.6.) în (6.2.) rezulta ecuația:

$$(6.14.) \quad A = \lambda [A + (i-1) \cdot q] \cdot S(i-1) + \frac{R(i)}{1 - \lambda S(i)}$$

de unde se poate extrage valoarea lui A.

Final timpul de răspuns mediu (6.1.) pentru strategia adoptată este:

$$(6.15.) \quad W(i) = \frac{\lambda}{2} \cdot \frac{S_2(i) + q \sum_{j=i}^{\infty} [1 - G(j)]}{[1 - S(i)] \cdot [1 - \lambda S(i-1)]} + \frac{(i-1) \cdot q}{1 - \lambda S(i-1)} + q$$

In cazul unei politici FIFO, timpul de răspuns este dat de formula lui Conway:

$$(6.16.) \quad W = S + \frac{\lambda}{2} \cdot \frac{S^2}{1 - S}$$

unde:

$$S = \sum_{j=1}^{\infty} (i \cdot q) \cdot g_j \quad \text{si} \quad S_2 = \sum_{j=1}^{\infty} (j \cdot q)^2 \cdot g_j$$

In modelul de alocare considerat s-a urmarit de asemenea favorizarea lucrarilor cu durata scurtă, fară a cunoaște dinainte timpul estimat de execuție al acestora. Strategia aleasă modificată conform politicii ajutătoare este adecvata utilizării SIMD care lucrează cu mai multe UDM în sistem de calcul multiprocesor, problema ce va fi tratată ulterior (subcapitolul 6.4.).

Modelul constituit poate fi utilizat pentru analizarea cu calculatorul a variantei optime, avind posibilitatea varierii simple a parametrilor. Aceleasi cercetări pot fi realizate și cu un simulator, însă metoda modelării matematice a fost mai usor de aplicat în acest caz. Simulatorul ar fi avut o complexitate hardware prea mare și din motive de ordin economic nu a putut fi realizat.

### 6.3. Calculul timpului de acces la informatie pentru URM.

Pentru simplificarea calculelor ne plasam in cazul unitatilor de discuri cu capete fixe, rezultatele obtinute fiind utilizabile si pentru discurile cu capete mobile, caz in care se vor lua in considerare si timpii de pozitionare a capetelor pe diferiti "cilindri" (un cilindru este constituit de pistele cu acelasi numar, corespunzatoare unei pozitionari oarecare a ansamblului capetelor de scriere/citire).

Vom calcula timpul de acces in cazul "cozii de asteptare simple" (FIFO) si in cazul "timpului de acces minim" (Shortest Access Time First - SATF). Discul se considera ca se roteste uniform cu o perioada de revolutie  $r$ , fiecare pista avind un numar intreg  $m$  de sectoare. Deci:

$$(6.17.) \quad s = \frac{r}{m}$$

Timpul de comutare intre scriere si citire si invers fiind neglijabil in comparatie cu intervalul dintre sectoarele consecutive, nu va fi luat in consideratie.

Timpul de acces la un sector dat, luind ca originea un moment arbitrar, se descompune in doua variabile aleatoare independente:

- o variabila  $t$ , de distributie uniforma  $\frac{1}{s}$  in

intervalul  $(0, s)$ , reprezentind timpul de acces la inceputul sectorului care urmeaza;

- o variabila aleatoare discreta  $u$  reprezentind timpul de acces la sectorul cerut cu incepere de la originea sectorului care urmeaza, aceasta variabila putind sa

ia cu aceeasi probabilitate  $\frac{1}{m}$  valorile:  $0, 1, 2, \dots, (m-1)s$ .

Timpul mediu de acces la un sector oarecare este deci egal cu:

$$(6.18.) \quad a = \int_0^s t \frac{dt}{s} + \sum_{u=0}^{(m-1)s} u \frac{1}{m} = \frac{s}{2} + (m-1) \frac{s}{2} = \frac{rs}{2}$$

Daca ne plasam la o limita de sector, timpul de acces mediu este:

$$(6.19) \quad a_1 = (m-1) \frac{s}{2}$$

Considerind un pachet de  $n$  cereri independente,

ne propunem sa calculam media timpului total de acces in functie de n. Cererile se ordoneaza in functie de politica urmata, cererile ulterioare sosite in timpul transferului fiind ignoreate pina la tratarea pachetului initial.

6.3.1. *Cazul "cereri de asteptare simple"*  
*(FIFO)*

Cum s-a vazut, timpul mediu de acces a primei cereri este  $\frac{r}{2}$ ; a celor urmatoare este egala cu  $(m-1)\frac{s}{2}$ ,

deoarece dupa executarea unei cereri capetele se vor gasi la limita unui sector. Pentru n cereri media timpului total de acces este:

$$(6.20.) \quad A_F(n) = \frac{r}{2} + (n-1) \cdot \frac{m-1}{2} \cdot s$$

6.3.2. *Cazul "timpului de acces minim"*  
*(SATE)*

Pentru facilitarea calculelor vom demonstra un rezultat preliminar: Fie un ansamblu de i variabile aleatoare independente  $t_1, t_2, \dots, t_i$ , de aceeasi distributie  $p(t)$ .

Consideram variabila aleatoare x, intotdeauna egala cu cea mai mica dintre variabilele  $v_i$ .

$$(6.21.) \quad x = \min \{ t_1, t_2, \dots, t_i \}$$

Audem  $P_r$  desemnind o probabilitate:

$$(6.22.) \quad P_r(x > u) = P_r(t_1 > u, t_2 > u, \dots, t_i > u)$$

$$(6.23.) \quad P_r(x > u) = (P_r(t > u))^i$$

$$(6.24.) \quad P_r(x > u) = (G(u))^i$$

unde:

$$(6.25.) \quad G(u) = P_r(t > u) = \int_0^{\infty} p(t) dt$$

De aici rezulta media minimului:

$$(6.26.) \quad \bar{x} = \int_0^{\infty} P_r(x > u) du = \int_0^{\infty} (G(u))^i du$$

Fie a timpului de acces la un sector dat, plasindu-se la limita unui sector. Functia de repartitie  $P_r(a < u)$  este o functie in scara (fig. 6.8.).

Inlocuind curba in trepte A cu dreapta B trecind prin mijlocul triunghiului ce compune curba A, vom obtine:

$$(6.27.) \quad F_r(a < u) = \begin{cases} 0 & , u \leq 0 \\ \frac{1}{2m} + \frac{u}{r} & , 0 < u \leq r \\ 1 & , u > r \end{cases}$$

unde:

$$U = (m - \frac{1}{2}) \cdot s.$$

Aplicind rezultatul precedent se obtine media timpului de acces la sectorul cel mai apropiat:

$$(6.28.) \quad a_s(n) = \int_0^U \left(1 - \frac{1}{2m} - \frac{u}{r}\right)^n du = \\ = \frac{r}{n+1} \cdot \left(1 - \frac{1}{2m}\right)^{n+1}$$

Daca ne plasam intr-un punct oarecare al discului si nu la limita unui sector, functia de repartitie este reprezentata de curba A de ecuatie  $\frac{u}{r}$ , pentru  $0 < u < r$ , iar timpul de acces la sectorul cel mai apropiat are ca medie:

$$(6.29.) \quad \int_0^r \left(1 - \frac{u}{r}\right)^n du = \frac{r}{n+1}$$

In total, pentru n cereri, timpul de acces are media:

$$(6.30.) \quad A_s(n) \approx \frac{r}{n+1} + a_s(n-1) + a_s(n-2) + \dots + a_s(1)$$

Pe baza formulelor (6.20) si (6.30) se poate face o comparatie intre cele doua cazuri, in fig. 6.9. fiind date grafic rezultatele calculelor. Rezulta clar avantajul utilizarii metodei SATF.

#### 6.4. Concluzii.

In subcapitolele anterioare (6.2. si 6.3.) s-a recurs la metoda modelarii matematice, considerindu-se metoda cea mai ieftina si mai accesibila pentru faza de proiectare a anumitor parti ale cuploului din cadrul SDM care influenteaza timpul de acces la informatie. In cazul SDM utilizeaza in sistemele biprocesor sau multiprocesor trebuie luate in considerare modul de gestionare a cererilor pe care le primeste subsistemul de la procesoarele pe care le serveste si modul de tratare a acestor cereri in contextul inregistrarilor ce se fac pe UDM ale subsistemului. Modul de tratare a acestor probleme poate

duce la ameliorarea sau din contra la diminuarea calităților sistemului în ansamblu. Modelarea ne permite să analizăm diversele variante din punct de vedere teoretic, înainte de a trece la implementarea lor hardware. În prezent în cadrul S.O., driverul fiecarui subsistem îndeplinește funcțiile enumerate mai sus. Implementarea unor funcții software în hardware are avantajul obținerii unor viteze de tratare mai ridicate, avându-se în vedere faptul că un întreg subprogram poate în anumite condiții să fie înlocuit cu un singur semnal. Aceasta implementare a devenit posibilă datorita progreselor tehnologice în domeniul circuitelor integrate și a scaderii prețurilor de cost specifice ale hardware-ului. De asemenea tehnica microprogramării a permis realizarea unor modele și prototipuri flexibile, care pot fi destul de usor utilizate pentru implementarea proiectelor verificate prin modelarea matematică.

La SDM lungimea unei lucrări poate fi considerată echivalentă cu lungimea lantului de date ce urmează să fie transferat ca urmare a unei singure cereri de transfer transmise de unul din procesoarele sistemului. Cum am vazut lucrările se împart în cuante, lungimea unei cuante putând fi stabilită la lungimea unui sector, a unei piste sau a unui cilindru. Modul de înregistrare al datelor la UDM, ne permite calculul încă din momentul adresării cererii, a felului în care se află plasata informația, adică dacă va fi necesară o schimbare a poziției ansamblului de capete sau numai un schimb de informații cu același cap de scriere-citire, sau trecerea pe o alta pistă a aceluiași cilindru, deci numai o schimbare a capului de scriere-citire, fără nici o intervenție mecanică care necesită cîteva milisecunde. De aceea este avantajos să se aplique metoda de reciclaj cu mai multe siruri de așteptare, cu lungimea cuantei variabilă sau cu tratarea în primul sir a unui număr variabil de cuante (exemplu 6.2.2.). Lungimea instantaneă a cuantei trebuie aleasă în astă fel încit să nu cuprinda pe parcursul ei nici o modificare mecanică a poziției ansamblului de capete. În timpul operațiunii de scriere, dacă gestiunea ocupării capacitatii UDM din SDM este tinută de cuploul pentru UDM, se poate face o optimizare a plasării informației după un algoritm care să evite pe cât posibil interruperea fluxului de date pe parcursul unei cereri datorate necesității schimbării poziției ansamblului de capete. La SDM care utilizează mai mult de o UDM aceasta optimizare poate duce

la evitarea totala a timpilor pierduti datorita acestei schimbari de pozitie. In timp ce o UDM face o pozitionare, o alta va face transfer de informatii.

La UDM fabricata la R.C.D. cu capacitatea de 58 Moct. timpul de pozitionare mediu este 35 ms, iar timpul de pozitionare pista-pista de 7 ms. Viteza de transfer a informatiei este de 340.000 de oct./s., deci in 7 ms s-ar putea transfera 2.380 oct., ceea ce corespunde lungimii a aproximativ cinci sectoare de cite 512 oct. Daca se mai adauga si faptul ca posibilitatea de a ajunge la informatie este de  $\frac{r}{2}$  (conform 6.18.) si cum numarul total de sectoare pe o pista la aceste UDM este 12, rezulta o pierdere totala de timp egala cu timpul in care s-ar putea transfera aproximativ 11 sectoare. Prin optimizarea operatiilor de scriere si implicit de citire, aceste neajunsuri pot fi inlaturate, SDM lucrand efectiv cu viteza maxima de transfer a unei UDM. Daca SDM este prevazut cu o memorie tampon adevarata, viteza de transfer poate fi marita, factor limitativ devenind viteza admisa de transfer a informatiilor pe magistrala la care este cuplat SDM si procesoarele pe care le serveste.

Calculele de optimizare a transferurilor se pot face cu algoritmii care analizeaza pachete de cereri venite pina la un moment limita (vezi 6.3.), deci se poate adopta o metoda dinamica unde sirurile de asteptare sunt actualizate permanent. Metoda SATF este cum s-a vazut mai eficace si implicit poate duce la eliminarea timpilor morti datorati pozitionarilor ansamblului de capete.

## CAP.7. TRATAREA FENOMENULUI DE INTERBLOCAJ

### 7.1. Generalitati .

SDM utilizat in configuratiile biprocesor sau multiprocesor, ridica o serie de probleme noi, dintre care unele nu apar la configuratiile monoprocesor decit la nivelul S.O. O serie de functiuni si metode software care in prezent fac parte din diversele S.O. pot fi rezolvate la nivelul SDM prin mijloace hardware. Acest transfer de sarcini aduce insa si o transferare a unor deficiente care limitau performantele de ansamblu ale configuratiei. Aceste limitari, precum si gasirea unor metode de inlaturare a lor

trebuie analizate in contextul unor configuratii biprocesor si multiprocesor, care utilizeaza un singur SDM echipat cu doua sau mai multe UDM. Se cauta ridicarea la maximum a gradului de disponibilitate a SDM.

SDM are sarcina alocarii resurselor (UDM) catre diverse procese utilizator, aparținind procesoarelor din configurație. În procesul de alocare a resurselor un fenomen foarte periculos care poate să apară este "interblocajul". Cererile de resurse ale diverselor procesoare pot fi satisfăcute într-o ordine oarecare, însă se poate întâmpla că două sau mai multe să se blocheze reciproc, deblocajul fiind foarte dificil uneori chiar imposibil. De aceea este important ca interblocajul să fie evitat.

### 7.2. Stările unui sistem.

Un sistem este constituit:

- dintr-un ansamblu finit de procese secventiale care pot fi executate concurent:

$$(7.1.) \quad P = \{p_1, p_2, \dots, p_n\},$$

- dintr-un ansamblu de clase de resurse cu cîte un punct de acces:

$$(7.2.) \quad E = \{R_1, R_2, \dots, R_m\},$$

Starea initială a sistemului poate fi descrisă de un vector  $X$  care să dea numarul total de resurse care există în fiecare clasă:

$$(7.3.) \quad X = \begin{matrix} x_1 \\ \vdots \\ x_m \end{matrix}$$

Vectorul  $X$  rămîne constant în timpul observării sistemului. Presupunem de asemenea că toate procesele într-un timp finit vor elibera toate resursele pe care le-au achiziționat.

La un moment dat  $t$ , starea sistemului este definită de matricea resurselor alocate proceselor  $A(t)$  și de matricea resurselor cerute de procese  $C(t)$ :

$$(7.4.) \quad A(t) = \begin{matrix} a_{11}(t) & \dots & a_{1n}(t) \\ \vdots & \ddots & \vdots \\ a_{m1}(t) & \dots & a_{mn}(t) \end{matrix} = (A_1(t), \dots, A_n(t))$$

- unde  $a_{ij}(t)$  este numărul de resurse din clasa  $R_i$  alocate procesului  $p_j$ .

$$(7.5.) \quad C(t) = \begin{bmatrix} c_{11}(t) & \dots & c_{1n}(t) \\ \vdots & \vdots & \vdots \\ c_{m1}(t) & \dots & c_{mn}(t) \end{bmatrix} = (c_{ij}(t))_{m \times n}$$

- unde  $c_{ij}(t)$  este numarul de resurse din clasa  $R_j$  alocate de procesul  $p_i$ .

Alocarea resurselor, adica schimbarea starii sistemului se poate face numai prin urmatoarele operatii:

- cerere: un proces  $p_i$  face o cerere de resurse reprezentata printr-un vector  $N$ :

$$(7.6.) \quad C_i(t) := C_i(t) + N$$

- achizitie: resursele reprezentate printr-un vector  $M$  sunt alocate procesului  $p_i$ :

$$(7.7.) \quad A_i(t) := A_i(t) + M$$

- liberare: un proces  $p_i$  libereaza resursele reprezentate printr-un vector  $L$ :

$$(7.8.) \quad \begin{aligned} A_i(t) &:= A_i(t) - L \\ C_i(t) &:= C_i(t) - L \end{aligned}$$

**Observatii:**

- matricea  $C$  nu se micsoara decat in momentul liberarii resurselor;

- o cerere nu este intotdeauna urmata de o alocare dar poate fi pusa in asteptare, lucru care justifica folosirea celor doua matrice  $C$  si  $A$ .

In cele ce urmeaza se utilizeaza urmatoarele notatii:

Fie  $U$  si  $V$  vectorii cu  $m$  elemente. Prin definitie avem:

$$(7.9.) \quad \begin{cases} U \leq V \iff U_i \leq V_i \quad \forall i \in [1, m] \\ U < V \iff (U \leq V) \text{ si } (\exists i \text{ astfel ca } U_i < V_i) \end{cases}$$

Fie matricea  $M$  si  $N$  cu  $m \times n$  elemente:

$$(7.10.) \quad \begin{cases} M \leq N \iff M_{ij} \leq N_{ij} \quad \forall i \in [1, m] \\ M < N \iff (M \leq N) \text{ si } (\exists i \text{ astfel ca } M_{ij} < N_{ij}) \end{cases}$$

Urmatoarele conditii trebuie sa fie verificate:

- un proces dat nu poate cere mai multe resurse decat exista in sistem:

$$(7.11.) \quad C_i(t) \leq X \quad \forall i \in [1, n]$$

- un proces nu poate avea la un moment dat alocate mai

multe resurse decit a cerut:

$$(7.12.) \quad \sum_i A_i(t) <= C_i(t) \quad \forall i \in [1, n]$$

- suma achizitiilor tuturor proceselor la un moment dat nu poate depasi totalitatea resurselor sistemului:

$$(7.13.) \quad \sum_{i=1}^n A_i(t) <= X$$

Starea unui sistem la un moment dat  $t$  este o "stare realizabila" daca si numai daca  $A(t)$ ,  $C(t)$  si  $X$  verific relatiile (7.11.), (7.12.) si (7.13.).

Vectorii  $C_i(t)$  si  $A_i(t)$  definind starea de alocare a resurselor catre procesul  $p_i$ , acesta va fi blocat atita timp cit  $C_i(t) > A_i(t)$ . Definim prin  $R(t)$  vectorul care arata numarul de resurse disponibile in momentul  $t$  pentru fiecare clasa:

$$(7.14.) \quad R(t) = X - \sum_{i=1}^n A_i(t)$$

Astfel relatia (7.13.) se poate scrie:

$$(7.15.) \quad R(t) \geq 0$$

### 7.3. Interblocajul.

Putem caracteriza gradul de solutionare a unui proces la un moment dat  $t$ , prin numarul  $N(t)$  de instructiuni executate din momentul initial. Fie doua procese a si b cu gradul de solutionare  $N_1$  respectiv  $N_2$  (fig. 7.1.). Prin eliminarea timpului se

poate reprezenta curba de solutionare relativ a celor doua procese definite de ecuatia:

$$(7.16.) \quad F(N_1, N_2) = 0$$

Blocajul unuia din procese este pus in evidenta de segmentele paralele cu axe, portiunea in care poate aparea interblocajul este suprafata patrata "P" in care aceeasi resursa  $R$  cu un singur punct de acces este ceruta simultan de ambele procese. Aceasta suprafata nu poate fi traversata de curba  $F$ .

Consideram cazul in care cele doua procese a si b cer exclusiv la doua resurse  $R_1$  si  $R_2$  dupa urmatoarea schema:

a cere  $R_1$  si apoi  $R_2$

b cere  $R_2$  si apoi  $R_1$

In fig. 7.2.a. se observa ca interblocajul este inevitabil daca se patrunde in patratul ABCD, cu toate ca nu apare

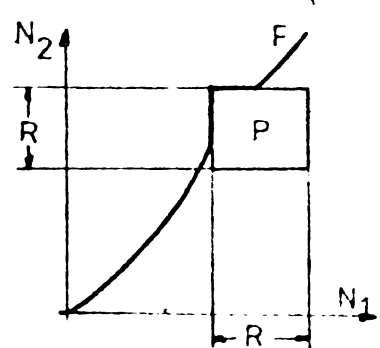


Fig. 7.1. Utilizarea a două resurse de către două procese.

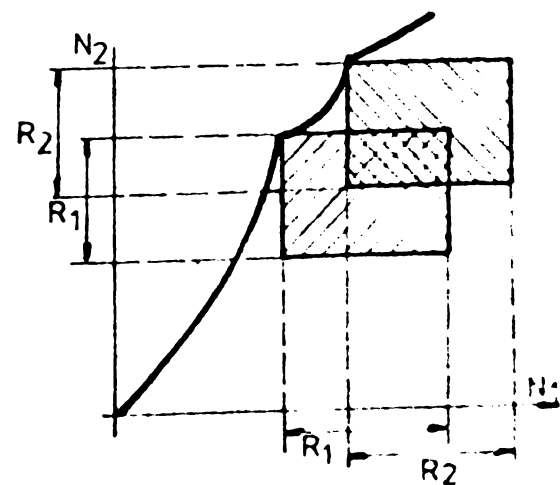
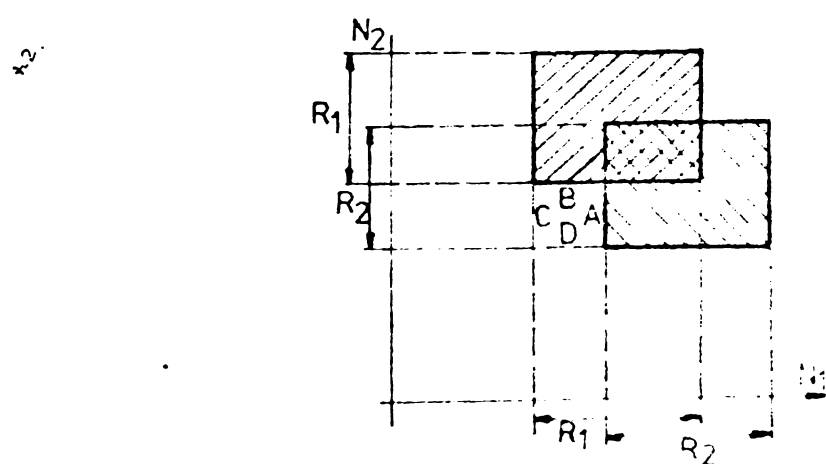


Fig. 7.2. Schema utilizarii a două resurse.  
a. Cu interblocaj      b. Fara interblocaj

imediat după traversarea laturei C sau D. Pentru ca interblocajul să fie evitat resursele trebuie să fie cerute în alte ordine și anume  $R_1$ ,  $R_2$  (fig.7.2.b.) sau  $R_2$ ,  $R_1$  pentru ambele procese.

S-a demonstrat grafic că interblocajul poate fi evitat dacă procesele cer resursele în aceeași ordine. În acest caz pot apărea numai portiuni de blocare a unuia din procese.

Interblocajul trebuie să fie evitat la momentul  $t$ , dacă există începând cu acest moment o serie de stări realizabile ale sistemului, astfel că toate procesele obțin resursele pe care le-au cerut și sunt executate pînă la sfîrșitul lor. Vom demonstra că dacă gasim un astfel de sir de stări, acesta echivalează cu aranjarea proceselor într-o ordine, astfel că cererile lor pot fi satisfăcute dacă sunt executate în această ordine.

Fie  $S$  un astfel de sir de procese, notind cu  $S(i)$  rangul  $P_i$  al procesului în sirul  $S$  și presupunind că la momentul  $t$  considerat fiecare proces a cerut toate resursele necesare executiei proprii. Cererea nesatisfăcută a primului proces din sir trebuie să fie inferioara resurselor disponibile la momentul  $t$ :

$$(7.17.) \quad S(i_1) = 1 \quad C_{i_1}(t) - A_{i_1}(t) \leq R(t)$$

Acest proces se executa, apoi libereaza resursele sale. Al doilea proces se poate executa acum cu condiția că :

$$(7.18.) \quad S(i_2) = 2 \quad C_{i_2}(t) - A_{i_2}(t) \leq R(t) + A_{i_1}(t)$$

și tot așa pentru celelalte procese. Sirul  $S$  verifică deci relația:

$$(7.19.) \quad \forall p_i \in P \quad C_{i_1}(t) - A_{i_1}(t) \leq R(t) + \sum_{S(j) < S(i)} A_j(t)$$

Acum putem introduce urmatoarele definiții:

- un sir  $S$  se consideră "viabil" dacă și numai dacă verifică relația :

$$(7.20.) \quad C_{i_1}(t) - A_{i_1}(t) \leq R(t) + \sum_{S(j) < S(i)} A_j(t), \quad \forall p_i \in S$$

- un sir  $S$  este considerat "complet" relativ la  $P$  dacă și numai dacă conține toate procesele aparținând lui  $P$ ;

- o stare realizabilă a sistemului este considerată viabilă dacă și numai dacă există în aceasta stare un sir viabil complet de procese.

Presupunem ca la momentul  $t_0$ , procesele au cerut toate resursele necesare executiei lor.

**Teorema 7.1.** Daca starea sistemului este viabila, atunci exista un sir de stari realizabile ale sistemului, astfel ca toate procesele vor obtine resursele pe care le-au cerut, reciproca fiind de asemenea valabila.

Fie  $S$  un sir viabil care poate fi constituit la momentul initial  $t_0$ . Consideram sirul de  $n$  stari:

$$(7.21.) \quad E_k = (A(t_k), C(t_k), X)$$

definit dupa cum urmeaza:

$$(7.22.) \quad \begin{cases} A_i(t_k) = 0 & \forall i \text{ astfel ca } S(i) < k \\ A_i(t_k) = C_i(t_0) & \forall i \text{ astfel ca } S(i) = k \\ A_i(t_k) = A_i(t_0) & \forall i \text{ astfel ca } S(i) > k \\ C_i(t_k) = 0 & \forall i \text{ astfel ca } S(i) < k \\ C_i(t_k) = C_i(t_0) & \forall i \text{ astfel ca } S(i) \geq k \end{cases}$$

S-a aratam ca aceste stari sunt stari realizabile ale sistemului. Starea initiala  $E_0$  a sistemului este viabila si verificare relatiile (7.11.), (7.12.), (7.13.) si (7.20):

$$(7.23.) \quad \begin{cases} C_i(t_0) \leq X & \forall i \in [1, n] \\ A_i(t_0) \leq C_i(t_0) & \forall i \in [1, n] \\ \sum_{i=1}^n A_i(t_0) \leq X \\ C_i(t_0) - A_i(t_0) \leq R(t_0) + \sum_{\substack{j=1 \\ S(j) > S(i)}}^n A_j(t_0), \quad \forall i \in [1, n] \end{cases}$$

Conditiiile (7.11.) si (7.12.) sunt verificate implicit prin definirea sirului de stari  $E_k$ . Sa aratam ca si conditia (7.13.) este verificata.

Fie:

$$(7.24.) \quad Y = \sum_{i=1}^n A_i(t_k)$$

din definitia lui  $A_k$  avem:

$$(7.25.) \quad Y = \sum_{S(i) < k} A_i(t_k) + \sum_{S(i) > k} A_i(t_k) + A_i(t_k)$$

unde  $i_k$  este astfel ca  $S(i_k) = k$ , sau:

$$(7.26.) \quad Y = 0 + \sum_{S(i) > k} A_i(t_k) + C_{i_k}(t_0)$$

Inlocuim  $C_{i_k}(t_0)$  prin majorantul sau (relatia 7.20.),

obtinem:

$$(7.27.) \quad Y \leq R(t_0) + \sum_{S(j) \leq k} A_j(t_0) + \sum_{S(j) > k} A_j(t_0)$$

sau:

$$(7.28.) \quad Y \leq X$$

Deci starile  $E_k$  sint stari realizabile ale sistemului,

fiind usor de verificat ca acestea sint stari viabile.

Prin teorema 7.1. se poate verifica foarte simplu daca un sistem este sau nu in interblocaj, prin examinarea stariilor sistemului. Nu se garantaza insa ca stariile urmatoare vor fi viabile.

#### 7.4. Remediiile interblocajului.

Există două posibilități de remediere a interblocajului:

– detectarea și deblocarea, faza de detectare avind scopul punerii în evidență a momentului apariției interblocajului, în timp ce faza de deblocare a sistemului folosind mai multe metode, merge de la distrugerea ultimului proces care a provocat interblocajul (daca în faza precedenta se utilizează o metoda de detectie permanentă și pînă la distrugerea completă a tuturor proceselor care au intrat în interblocaj).

– prevenirea interblocajului.

Deoarece prevenirea interblocajului este soluția căre se pretează să fie aplicată pentru SIMD, în cele ce urmează vom analiza aceasta posibilitate, în mecanismul de alocare a resurselor introducind reguli care elimină toate situațiile care pot conduce la interblocaj, considerind starea inițială a sistemului ca fiind o stare viabilă.

Inainte de analiza metodelor de prevenire a interblocajului, este necesar să se pună la punct metode de detectie a interblocajului. Metoda generală de detectie constă în construirea unui sir viabil de procese și dacă acest sir este complet nu va apărea interblocaj, dacă nu, procesele care nu aparțin acestui sir vor fi interblocațe. Teorema 7.2. facilitează căutarea unui sir viabil complet.

*Teorema 7.2.* Dacă starea sistemului este viabilă toate sirurile viabile incomplete S pot fi completeate într-un

sir viabil complet.

Starea sistemului fiind viabila, exista un sir viabil complet  $Q$ .

$$(7.29.) \quad C_k \leq R + \sum_{Q(1) \leq Q(k)} A_1 \quad \forall p_k \in Q$$

Fie  $S$  un sir viabil :

$$(7.30.) \quad C_k \leq R + \sum_{S(1) \leq S(k)} A_1 \quad \forall p_k \in S$$

Definim un sir  $S_1$  astfel ca:

$$(7.31.) \quad S_1(k) = S(k) \quad \forall p_k \in S$$

$$(7.32.) \quad Q(1) \leq Q(k) \iff S_1(1) \leq S_1(k), \quad \forall p_k, p_1 \in Q \setminus S$$

$$(7.33.) \quad \sum_{Q(1) \leq Q(k)} A_1 \leq \sum_{S_1(1) \leq S_1(k)} A_1, \quad \forall p_k \in Q \setminus S$$

deoarece orice  $p_1$  care precede pe  $p_k$  in sirul  $Q$  il va precede de asemenea si in sirul  $S_1$ , avindu-se in vedere definirea lui  $S_1$ .

Relatiile (7.29.) si (7.33.) implica:

$$(7.34.) \quad C_k \leq R + \sum_{S_1(1) \leq S_1(k)} A_1, \quad \forall p_k \in Q \setminus S$$

Acum relatiile (7.30.) si (7.34.) implica:

$$(7.35.) \quad C_k \leq R + \sum_{S_1(1) \leq S_1(k)} A_1, \quad \forall p_k \in S_1$$

Deci sirul  $S_1$  este un sir viabil complet.

**Teorema 7.3.** Executarea unei cereri de alocare de catre un proces face sa se treaca dintr-o stare viabila in alta stare viabila daca exista un sir viabil care sa contina acest proces.

Fie  $A$  si  $B$  doua siruri si vom nota  $AB$  sirul obtinut prin legarea celor doua siruri in ordinea  $A, B$ . Fie  $E_0$  starea initiala la momentul  $t_0$  si  $p_i$  un proces neblocat in aceasta stare.

Avem:

$$(7.36.) \quad C_i(t_0) = A_i(t_0)$$

Fie  $E_1$  starea finala obtinuta in momentul  $t_1$  prin

executia unei cereri a lui  $p_i$ .

$$(7.37.) \quad \left\{ \begin{array}{ll} C_j(t_1) = C_j(t_0) & \forall j = i \\ A_j(t_1) = A_j(t_0) & \forall j \\ C_i(t_1) > C_i(t_0) \end{array} \right.$$

Vom avea:

$$(7.38.) \quad R(t_1) = R(t_0)$$

deoarece nu a avut loc nici o achizitie.

Fie  $S = S_1 \{p_i\}$  un sir viabil in starea  $E_1$ .

$$(7.39.) \quad C_i(t_1) - A_i(t_1) \leq R(t_1) + \sum_{\substack{j \\ \forall p_j \in S}} A_j(t_1),$$

Deci  $S$  este un sir viabil al starii  $E_0$ . Dupa teore-

ma 7.2. el poate fi prelungit intr-un sir viabil complet  $S_2$

pentru starea  $E_0$ . Sa aratam ca  $S_2$  este un sir viabil al

starii  $E_1$ .

$$\text{Punind } S_2 = S_1 S_3$$

$$(7.40.) \quad C_k(t_0) - A_k(t_0) \leq R(t_0) + \sum_{\substack{j \\ \forall p_k \in S_3}} A_j(t_0),$$

Proprietatile starii  $E_1$  implica:

$$(7.41.) \quad C_k(t_1) - A_k(t_1) \leq R(t_1) + \sum_{\substack{j \\ \forall p_k \in S_3}} A_j(t_1),$$

S fiind un sir viabil din starea  $E_1$ , relatia prece-

denta implica faptul ca  $S_2$  este un sir complet din starea  $E_1$

Pentru preventirea interblocajului exista doua metode:

- o metoda statica, care impune restrictii la cereri si la achizitionarea resurselor in asa fel incit sa nu apara interblocajul;

- o metoda dinamica, care poate recunoaste daca o cerere poate duce la un interblocaj si care amine alocarea pina in momentul in care riscul este eliminat.

#### 7.4.1. Preventarea statica a interblocajului.

##### 7.4.1.1. Metoda cererii globale

Este metoda cea mai simpla conform careia toate pro-

cesele trebuie sa ceara si sa achizitioneze global resursele. In aceste conditii exista intotdeauna un sir viabil complet:  
 $S = S_1 S_2$  cu

$$(7.42.) \quad \left\{ \begin{array}{l} \forall p_i \in S_1 \quad c_{ij} - a_{ij} = 0 \\ \forall p_i \in S_2 \quad a_{ij} = 0 \end{array} \right.$$

Orice proces nou venit este plasat in sirul  $S_2$  daca nu i se pot satisface de la inceput toate cererile, in caz contrar este plasat in sirul  $S_1$ . Liberarea de resurse de catre un proces este urmata de o cautare a proceselor din sirul  $S_2$  carora li se pot satisface integral cererile, acestea fiind trecute in sirul  $S_1$ , noul sir fiind intotdeauna viabil. Un dezavantaj al metodei este ca anumite procese pot "tezauriza" anumite resurse pe care nu le mai folosesc momentan.

#### 7.4.1.2. Metoda claselor ordonate

Resursele se grupeaza in clase, ansamblul acestor clase fiind ordonat. Proceselor li se impune:

- sa ceara global resursele care sunt necesare din fiecare clasa;
- sa ceara resursele aparținând diferitelor clase în ordinea claselor.

Fie  $p$  numarul claselor de resurse  $D$ . Există intotdeauna un sir complet  $S = S_p \dots S_i \dots S_0$ .

Pentru orice  $p_j \in S_k$ :

$$(7.43.) \quad \left\{ \begin{array}{l} c_{ij} - a_{ij} = 0, \quad \forall i, l astfel ca R_l \in D_k \text{ și } 1 \leq k \\ a_{ij} = 0, \quad \forall i, l astfel ca R_l \in D_k \text{ și } l > k \end{array} \right.$$

Sirurile  $S_i$  sunt siruri viabile pentru orice  $i$ , iar sirul  $S$  este un sir viabil complet. Introducerea unui nou proces in sistem nu va pune probleme, deoarece poate fi plasat intotdeauna in sirul  $S_0$ . In momentul eliberarii de resurse, procesul care s-a eliberat poate fi deplasat dintr-un sir  $S_i$  in altul. Sirul  $S$  este parcurs pentru a incerca sa

satisfacerea parțială sau totală a cererilor altor procese, respectând regula precedenta.

Aceasta metoda duce la ameliorarea repartitiei re-

surselor, resursele mai costisitoare fiind plasate in clasele superioare, astfel diminuindu-se timpul lor de inactivitate.

#### 7.4.2. Prevenirea dinamica a interblocajului.

Metoda de prevenire dinamica impune tuturor proceselor sa-si declare toate cerintele, inainte de inceperea executiei. Aceste declaratii le numim "anunturi". Intr-un sistem cu anunturi, starea e realizabila daca se verifica relatiile (7.11.), (7.12.) si (7.13.). Fie  $D$  matricea de anunturi unde  $d_{ij}$  reprezinta numarul maxim de resurse din

clasa  $R_i$  pe care le poate utiliza procesul  $p_j$ . Unei stari realizabile  $i$  se impune sa verifice noile relatii:

$$(7.44.) \quad D_i \leq X \quad \forall i$$

$$(7.45.) \quad A_i(t) \leq D_i \quad \forall i, t$$

$$(7.46.) \quad C_i(t) \leq D_i \quad \forall i, t$$

Aceasta metoda presupune ca un proces poate sa pretinda toate resursele anuntate. Alocarea nu se face decit daca sistemul va ramane intr-o stare viabila.

Un sir  $S$  de procese este denumit "fiabil" daca ele verifică relația:

$$(7.47.) \quad D_i - A_i(t) \leq R(t) + \sum_j A_j(t), \quad \forall p_i \in S, \quad S(j) < S(i)$$

Starea sistemului este fiabila daca există o suita fiabila completă pentru aceasta stare. Relația (7.46.) arată implicit că, condiția (7.47.) este mai puternică decit condiția (7.20.). Deci:

*Teorema 7.4.* Orice sir fiabil este un sir viabil al sistemului.

La fel cum relațiile (7.11.), (7.12.), (7.13.) și (7.20.) au antrenat teorema 7.2, relațiile (7.11.), (7.44.), (7.45.) și (7.47.) antrenăza:

*Teorema 7.5.* Daca starea sistemelor este fiabila, toate sirurile fiabile pot fi prelungite intr-un sir fiabil complet.

Pentru schimbarile de stare se poate aplica următoarea teorema:

*Teorema 7.6.* O alocare de resurse la un proces  $p_k$  face ca sistemul sa treaca dintr-o stare fiabila intr-o nouă stare fiabilă daca există în aceasta nouă stare un sir

fiabil care sa contina procesul  $p_k$ .

Fie  $E_0$  starea sistemului la momentul  $t_0$  si  $E_1$  starea sistemului la momentul  $t_1$ , obtinuta prin alocarea de resurse procesorului  $p_k$ . Alocarea de resurse acestui proces se traduce prin relatiile:

$$(7.48.) \quad A_{1,0} = A_{1,1} \quad \forall i = k$$

$$(7.49.) \quad A_{k,1} > A_{k,0}$$

$$(7.50.) \quad R(t_1) + A_{1,1} = R(t_0) + A_{k,0}$$

Fie  $S$  un sir fiabil la momentul  $t_1$  si care contine procesul  $p_k$ .

$$(7.51.) \quad S = S_1 \{ p_k \}$$

$$(7.52.) \quad D_i - A_{i,1} \leq R(t_1) + \sum_{S(1) \in S(i)} A_{1,1}, \quad \forall i \in S_1$$

$$(7.53.) \quad D_k - A_{k,1} \leq R(t_1) + \sum_{S(1) \in S(i)} A_{1,1}$$

Sa aratam ca este de asemenea fiabil la momentul  $t_0$  conform relatiilor (7.48.), (7.49.) si (7.50.):

$$(7.54.) \quad D_i - A_{i,0} \leq R(t_0) + \sum_{S(1) \in S(i)} A_{1,0}, \quad \forall i \in S_1$$

Relatia (7.50.) antreneaza:

$$(7.55.) \quad D_k - A_{k,1} - R(t_1) = D_k - A_{k,0} - R(t_0)$$

de unde:

$$(7.56.) \quad D_k - A_{k,0} \leq R(t_0) + \sum_{S(1) \in S(k)} A_{1,0}$$

Deci in momentul  $t_0$  sirul  $S$  este fiabil si poate fi prelungit intr-un sir fiabil complet  $S_2$ .

$$(7.57.) \quad D_i - A_{i,0} \leq R(t_0) + \sum_{S_2(1) \in S_2(i)} A_{1,0}, \quad \forall i \in S_2$$

Putem arata ca  $S_2$  este de asemenea fiabil in momentul  $t_1$ .

Punind:  $S_2 = S_1 S_3$

$$(7.58.) \quad D_i - A_{i,0} \leq R(t_0) + \sum_{S_2(1) \in S_2(i)} A_{1,0}, \quad \forall i \in S_3$$

Relatiile (7.48.) si (7.50.) antreneaza:

$$(7.59.) \quad D_i - A_{i,1}(t_1) \leq R(t_0) + A_{k,0} + \sum_{\substack{S_2(1) < S_2(i) \\ i=1=k}} A_{1,1}(t_1)$$
$$\leq R(t_1) + \sum_{\substack{S_2(1) < S_2(i) \\ i=2}} A_{1,1}(t_1), \quad \forall p_i \in S_3$$

Sirul  $S$  fiind fiabil in momentul  $t_1$ , sirul  $S_2$  este un sir fiabil complet, in momentul  $t_1$ .

*Teorema 7.7.* Daca nici un proces nu-si elibereaza resursele inainte de a primi toate resursele cerute (anuntate), exista cel putin o modalitate de alocare a resurselor fara a aparea interblocajul, daca sau numai daca starea sistemului ramane fiabila. Remarcam pentru  $D = C$ , echivalenta intre conceptele de sir fiabil si de sir viabil, precum si de stare fiabila si stare viabila. Considerind un sir fiabil complet, daca procesele primesc totalitatea anunturilor lor ( $D = C$ ) conditiile teoremei 7.1. sunt verificate. Există deci un sir de stari fiabile astfel ca procesele isi obtin resursele lor. Reciproca este de asemenea valabila.

O alocare nu poate avea loc decat daca rezultatul este o stare fiabila. Practic starea initiala a sistemului este intotdeauna fiabila. Deci inainte de orice alocare sa se verifice ca noua stare obtinuta este fiabila.

### 7.5. Concluzii .

Transformarea SDM intr-un subsistem independent, inzestrat cu putere de calcul proprie permite transferarea unor sarcini de la nivelul SO la nivelul subsistemului. In configuratia multiprocesor dotate cu SDM sau SII comun, in cadrul operatiei de gestionare a repartitiei resurselor un loc important trebuie sa fie destinat evitarii aparitiei fenomenului de interblocaj. Daca in cazul SO se putea citeodata merge pina la intrarea in interblocaj si la rezolvarea problemei prin anularea unui numar de procese care au condus la aparitia interblocajului, in cazul SDM evitarea interblocajului este obligatorie pentru a asigura functionarea continua a intregii configuratii. Cum s-a aratat fenomenul de interblocaj poate fi evitat. Deci pentru SDM se va lucra dupa metodele de prevenire a interblocajului, metoda de prevenire dinamica fiind cea mai potrivita. Fiecare proces va trebui sa-si

declare cererile la inceputul executiei, alocarea facin-  
du-se cu luarea in considerare a situatiei de moment,  
interblocajul fiind evitat.

## CAP.8. MECANISME DE SINCRONIZARE

Preluarea de catre SDM a unor sarcini de la SO, duce la transferarea acestor probleme specifice la nivelul SDM. In cadrul SDM trebuie sa se gestioneze cererile transmise de procesoarele sistemului de calcul. In acest fel, problema sincronizarii acestor cereri va trebui rezolvata de SDM. De asemenea apare si problema sincronizarii microprogramelor SDM care indeplinesc diversele functiuni: de scriere, de citire, de comparare, de control de paritate, de optimizare a acceselor, etc.

**8.1. Principiul de realizare a operatiilor de sincronizare. Semafare.**

Operatiile de sincronizare se pot realiza cu ajutorul "semafoarelor". Un semafor notat cu  $s$  este constituit dintr-o variabila intreaga  $e(s)$  si un sir de asteptare  $f(s)$ . Variabila  $e(s)$  poate avea valori intregi pozitive, negative sau valoarea zero si poate varia cu incrementul +1. Acestea formeaza "valoarea" semaforului. Un semafor  $s$  se creeaza printr-o declaratie initiala care trebuie sa specifiche valoarea initiala  $e(s)$  a lui

$e(s)$ , acestea fiind obligatoriu diferita de o valoare negativa. La crearea unui semafor sirul sau de asteptare  $f(s)$  este initial vid.

Asupra unui semafor s se poate actiona prin intermediul a doua primitive P si V, care dau operatii indivizibile.

- t i R P      P(s):      *input*

$e(s) := e(s) - 1;$

INCEPIT

*PRÉSENTECIA : presupunen co*

### primitiva este

executata de procesul a;

stare (a) := blocat ;

se pune procesorul a in sirul de asteptare f(s)

sfarsit

daca e(s) > 0 atunci se continua procesul in secventa

sfarsit

- tip V    V(s):    inceput

e(s) := e(s) + 1

daca            e(s) < 0        atunci

inceput

se scoate un proces din sirul de asteptare f(s)

comentariu: presupunem ca primitiva este executata de procesul b;

stare (b):    activ

sfarsit

daca e(s) > 0 atunci se continua procesul in secventa

sfarsit

#### 8.1.1. Proprietatile semaforelor.

Definirea primitivelor P si V are urmatoarele consecinte:

a. Un semafor dupa un numar de operatii P poate deveni negativ, insa valoarea sa initiala nu poate fi niciodata negativa.

b. Fie  $np(s)$  - numarul de instructiuni P executate asupra semaforului s  
 $nv(s)$  - numarul de instructiuni V executate asupra semaforului s  
 $e_0(s)$  - valoarea initiala a semaforului s.

Din definitia primitivelor P si V rezulta:

$$(8.1.) \quad e(s) = e_0(s) - np(s) + nv(s)$$

c. Fie  $nf(s)$  numarul de procese care au "trecut" de primitiva P(s), adica acelea care nu au fost blocate de acestea, sau daca au fost initial blocate ulterior au fost deblocate. Oricind vom avea:

$$(8.2.) \quad nf(s) \leq np(s)$$

Efectele primitivelor asupra lui  $nf(s)$  sunt următoarele:

(8.3.)  $P(s): np(s) := np(s) + 1;$   
           daca  $np(s) < e_0(s) + nv(s)$  atunci  
                $nf(s) := nf(s) + 1$

comentariu: cazul in care  $e(s) \geq 0$

(8.4.)  $V(s): nv(s) := nv(s) + 1;$   
           daca  $np(s) > e_0(s) + nv(s)$  atunci  
                $nf(s) := nf(s) + 1;$

comentariu: cazul in care  $e(s) \leq 0$

Teorema 8.1. Executarea primitivelor  $P$  si  $V$  lasa neschimbata relatie:

(8.5.)  $nf(s) = \min_0 [np(s), e_0(s) + nv(s)]$

Presupunem relatiea ca verificata si vom examina efectul executiei sale. Relatia poate lua doua forme in functie de valorile relative ale  $np(s)$  si  $e_0(s) + nv(s)$ .

a. Executarea lui  $P(s)$ . In tabelul urmator se simplifica notarea suprimindu-se numele semaforului  $s$ .

Forma initiala a relatiei	Relatia dupa executarea a $np := np + 1$	Efectul asupra termenului lui $P$	Relatia dupa executarea $nf$
$np < e_0 + nv$	$\begin{cases} nf = np & np < e_0 + nv \\ nf < e_0 + nv & \end{cases}$	$nf := nf + 1$	$nf = np$ $nf < e_0 + nv$
$np = e_0 + nv$	$\begin{cases} nf = e_0 + nv & np > e_0 + nv \\ nf < np & \end{cases}$	nu are efect	$nf = e_0 + nv$ $nf < np$

Dupa executia lui  $P(s)$  relatie (8.5.) se verifica in orice caz.

b. Executarea lui  $V(s)$

---

Forma initiala a relatiei	Relatia dupa executarea a $nv := nv + 1$	Efectul asupra termenului lui V	Relatia dupa executarea nf
------------------------------	--	---------------------------------------	----------------------------------

---

$$np > e_0 + nv \begin{cases} nf = e_0 + nv & np = e_0 + nv \\ nf < np & nf \leq np \end{cases} \quad nf := nf + 1 \quad nf = e_0 + nv$$


---

$$np \leq e_0 + nv \begin{cases} nf = np & np < e_0 + nv \\ nf <= e_0 + nv & nf < e_0 + nv \end{cases} \quad \text{nu are efect } nf = np$$


---

Relatia (8.5.) este si acum verificata in toate cazurile.

c. Pentru valorile initiale relatia (8.5.) ramane de asemenea adevarata:

$$(8.6.) \quad np = nv = nf = 0$$

$$e_0 = 0$$

Relatia (8.5.) intuitiv poate fi explicata prin asimilarea semaforului cu o bariera, o operatie P reprezinta o cerere de trecere,  $e_0 + nv$  reprezinta numarul

total de autorizari date pina in momentul prezent; relatia aratind ca numarul efectiv de treceri este egal cu cel mai mic dintre cele doua marimi (cererile sau autorizarile).

d. Daca  $e(s)$  este negativ, valoarea sa absoluta este egala cu numarul de procese blocate in sirul  $f(s)$ . Deci avem:

$$(8.7.) \quad e(s) = e_0(s) - np(s) + nv(s)$$

daca:

$e(s) < 0$ , avem:

$$(8.8.) \quad e_0(s) + nv(s) < np(s)$$

Atunci relatia (8.5.) va da:

$$(8.9.) \quad \begin{cases} nf(s) = e_0(s) + nv(s) \\ -e(s) = np(s) - nf(s) \end{cases}$$

e. Daca  $e(s)$  este pozitiv sau zero, valoarea sa ne da numarul de procese care pot trece de semaforul s fara a se bloca.

### 8.1.2. Semafoare de excludere mutuală.

Excluderea mutuală se definește prin introducerea unui semafor "exmut" cu valoarea initială 1, fiecare proces executindu-se după urmatorul program:

```
inceput
    P (exmut);
    sectiunea critica;
    V (exmut)
    sectiunea critica;
sfarsit
```

Pentru a arata valabilitatea acestei solutii vom demonstra două teoreme:

*Teorema 8.2.* La un moment dat cel mult un proces se află în secțiunea sa critică.

Numarul de procese în secțiunea critică este egal cu:

$$(8.10.) \quad nf(exmut) = nv(exmut)$$

Conform teoremei 8.1. avem:

$$(8.11.) \quad nf(exmut) = \min [np(exmut), 1 + nv(exmut)]$$

de unde rezulta:

$$(8.12.) \quad nf(exmut) = nv(exmut) (= 1)$$

*Teorema 8.3.* Dacă nici un proces nu se găsește în secțiunea critică, nu există procese blocați în spatele semaforului de excludere mutuală.

Dacă nici un proces nu se găsește în secțiunea critică, avem:

$$(8.13.) \quad nf(exmut) = nv(exmut)$$

Dacă procesul ar aștepta în spatele semaforului, avem:

$$(8.14.) \quad nf(exmut) < np(exmut)$$

Relațiile (8.5.) și (8.14.) dău:

$$(8.15.) \quad nf(exmut) = nv(exmut) + 1$$

ceea ce este incompatibil cu relația (8.13.).

### 8.2. Tranzițiile posibile de stare ale proceselor.

Între diverse procese apar interacțiuni determinate de exemplu utilizării acelorași resurse. Aceste interacțiuni trebuie să fie cunoscute pentru a se putea realiza o gestiune corectă. Un proces poate să se găsească în una din următoarele stări:

- *gata de execuție*: procesul a fost creat, execuția sa nu este terminată;
- *inactiv*: cînd execuția unui proces s-a terminat se spune că el devine inactiv;

- *activ*: procesul se executa efectiv in acel moment;
- *in asteptare*: executia procesului nu este terminata, dar a fost oprit deoarece o conditie necesara continuarii procesului nu este indeplinita momentan.

Există două reguli legate de gestiunea evoluției stării unui proces:

- un proces nu poate face să "regreseze" decit propria sa stare;
- numai sistemul de gestiune a proceselor poate determina lista cu procese "active".

Vom avea deci o evoluție progresiva fără posibilitatea reîntoarcerii pînă la atingerea stării "activ".

Din starea "activ" un proces poate să treacă în una din urmatoarele stări:

- "gata de executie" cind executia sa este oprită deoarece s-a cerut crearea unui proces cu prioritate mai mare;
- "in asteptare" cind continuarea să cere realizarea unor conditii care nu sunt indeplinite;
- "inactiv" cind și-a terminat executia.

Din starea "in asteptare" un proces nu poate trece decit în starea "gata de executie", în urma executiei unei operatii de sincronizare care semnalizează că a fost indeplinită conditia care era așteptată. Deci nu poate trece în stările:

- "inactiv" deoarece se presupune o acțiune regresivă asupra propriei stări, lucru care nu este posibil decit dacă ar fi fost în stare "activ";
- "activ" deoarece lista de procese active este alcătuirea cum am vazut numai de sistemul de gestiune a proceselor.

Se disting patru tipuri de operații de sincronizare:

- operația de "creare a procesului": un proces activ cere pentru un alt proces cu nume precizat, trecerea din starea "inactivă" în starea "gata de executie";

- operația de "punere în asteptare": un proces activ cere pentru el însuși trecerea în starea "in asteptare" atunci cind o execuție nu este realizată;

- operația de "activare": un proces activ cere pentru un alt proces al cărui nume e precizat, trecerea din starea "in asteptare" în starea "gata de executie", deoarece condiția așteptată s-a realizat;

inactiv ---> gata de executie ---> activ

Fig.8.1. Executia progresiva a starii proceselor.

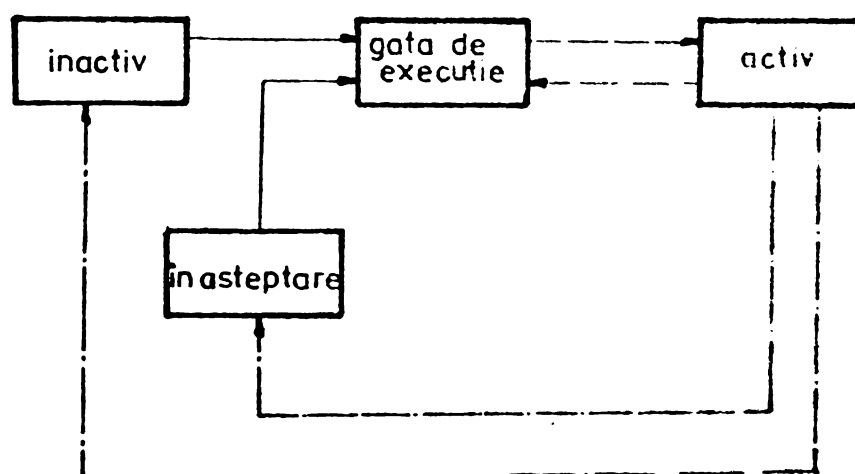


Fig. 8.2. Tranzitiile posibile de stare.

-----> actiune altui proces activ asupra procesului considerat.

-.-.-> actiunea procesului considerat asupra starii proprii.

- - -> tranzitie de stare datorata sistemului de gestiune a proceselor.

-operatia "sfirsit de proces": un proces activ cere pentru el insusi trecerea in starea "inactiv", deoarece executia sa a luat sfirsit.

Se doreste in general ca procesele sa fie independente unele fata de altele. Starile posibile ale proceselor pot fi impartite in doua grupe:

- grupa 1-a reuneste starile care corespund cazurilor care nu au nici o actiune programata care sa interzica executarea procesului, adica: "gata de executie" si "activ";

- grupa 2-a reuneste starile care corespund cazurilor in care nu exista o actiune explicit programata care interzice executarea procesului, adica "inactiv" si "in asteptare".

In functie de aceste grupe starea unui proces va "progresă" cind trece din grupa 2-a in grupa 1-a si va "regresă" cind trece in sens invers. Toate actiunile regresive ale unui proces  $P_i$  asupra starii altui proces  $P_j$  sunt interzise,  $P_i$

putind sa-si regreseze numai propria sa stare.

### 8.3. Mecanisme de sincronizare .

Problema sincronizarii consta in construirea unui mecanism care sa fie independent de viteza si care sa permita unui proces activ:

- sa blocheze un alt proces sau sa se blocheze el insusi in asteptarea unui semnal de la alt proces;
- de a activa un alt proces si de a-i transmite informatii.

In ultimul caz procesul caruia ii este destinat semnalul de activare poate fi deja in starea "activ", deci trebuie sa se defineasca mai precis ce se intampla. Exista doua posibilitati:

- semnalul de actionare nu se memoreaza, in consecinta el va fi pierdut daca procesul nu il asteapta;
- semnalul este memorat si procesul respectiv nu se va bloca in cursul urmatoarei operatii de blocaj asupra procesului.

Tehnicile de sincronizare pot fi clasificate in doua categorii:

- sincronizare "directa", cind procesul actioneaza direct asupra unui alt proces sau asupra sa insasi;
- sincronizarea "indirecta" cind procesul actioneaza asupra altor procese prin intermediul unui mecanism special.

Una din operatiile pe care trebuie sa le faca cuploul din cadrul SDM este "scrierea initiala" adica inscrierea capului de sector ("header") cu informatii care sa permita identificarea fiecarui sector. Aceasta operatiune la sisteme putin evoluate este facuta sub conducerea procesorului. La sistemele mai complexe cuploul a primit in componenta sa o portiune specializata acestui scop, scrierea initiala a discului efectuindu-se "off-line". In timpul exploatarii UDM, atit in scriere cit si la citire, in perioada de cautare a sectorului dorit, exista o faza de comparare a adresei curente, cu adresa pe care se gaseste momentan sub capul de scriere/citire ales si deja pozitionat mecanic pe pisto dorita. La cuploarele microprogramate aceasta operatie poate fi executata de un subprogram de comparare care poate fi acutat simultan de catre mai multe UDM. Aceasta este o problema de excludere mutuala care poate fi solucionata prin utilizarea unui semafor e(s) initializat la valoarea 1. Cele doua microprograme care au o zona de excludere mutuala vor trebui sa fie scrise conform fig.8.3.

Microprogramul A	Microprogramul B
P(s)	:
:	zona critica
V(s)	e(s)
:	:
:	zona crit.
	V(s)

Fig.8.3. Programe cu excludere mutuala.

Deasemenea, utilizarea semaforelor ca mecanismul de sincronizare permite simplificarea apelului diverselor microprograme, ca urmare a unor microprograme care sunt activate in urma unei intreruperi. De exemplu, daca un microprogram A activat de un microprogram de intreruperi I dorim sa declanseze la rindul sau un alt microprogram B, putem folosi urmatoarea schema:

- se utilizeaza doua semafoare:

$e_1(s)$  si  $e_2(s)$

- se initializeaza  $e_0(s_1) = e_0(s_2) = -1$

- pentru microprogramele in cauza se stabilesc valorile initiale ale numaratorului de

instructiuni la valorile: inceput I, inceput A si respectiv inceput B.

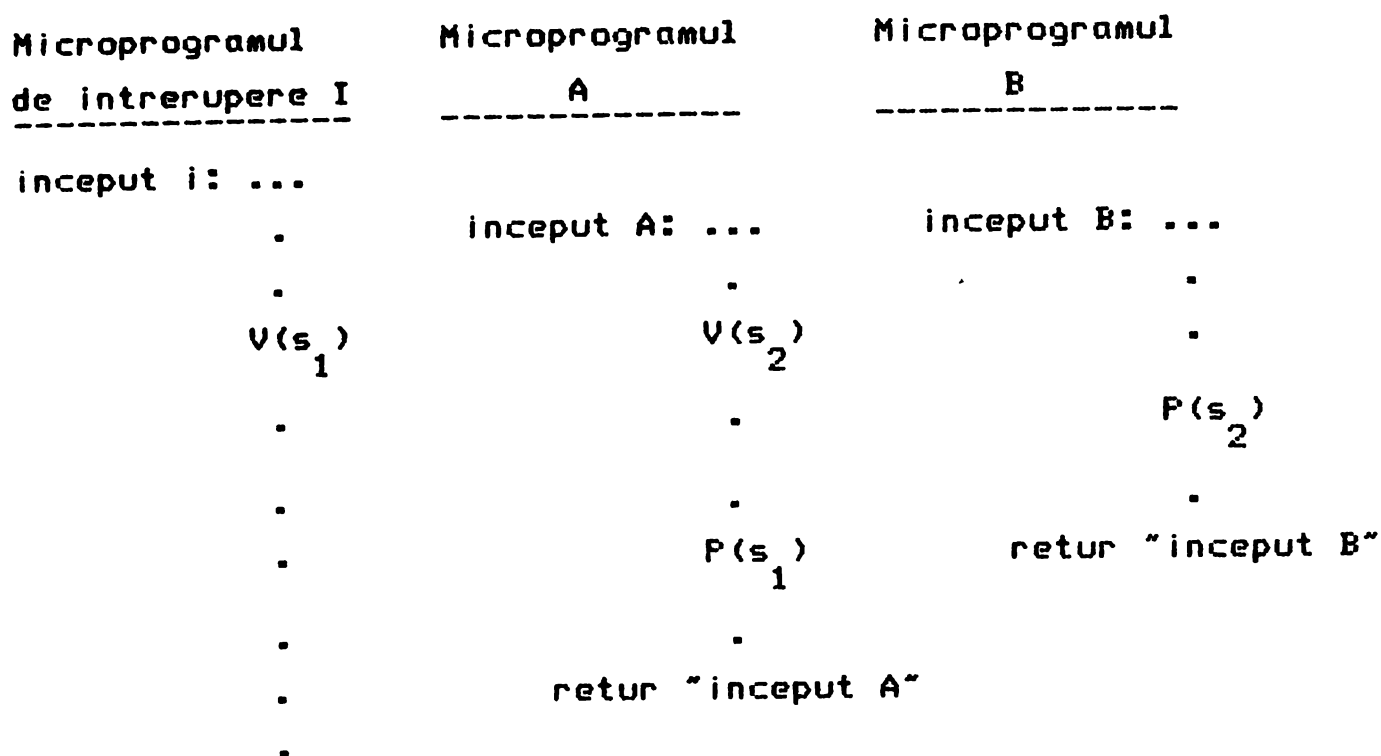


Fig.8.4. Sincronizari cu semafoare.

#### 8.4. Concluzii

In cazul SDM cu cupluri microprogramate care lucreaza in sisteme biprocesor sau multiprocesor apar probleme de sincronizare intre diversele lucrari care se desfasoara simultan in cadrul subsistemului, lucrari care cer accesul la aceleasi resurse hardware (UDM) si respectiv software (microprogramele interne ale cuplului). Mecanismele de sincronizare cu semafoare utilizate la nivelul SO, pot fi utilizate si pentru rezolvarea problemelor similare care apar in cadrul SDM. Problemele de sincronizare care apar la nivelul microprogramelor se pot rezolva prin alcatuirea unor microprograme interconectate care utilizeaza semafoare software, formatul microinstructiunii putind fi ales initial sau nu pentru a usura acest scop. In aceasta categorie intra: scrierea, citirea, verificarea, detectia si corectia erorilor, scrierea initiala a discului, transferul direct de informatii intre UDM ale SDM. Alte probleme de sincronizare se pot rezolva prin metode hardware cum sunt: problemele de prioritate, tratarea intrerup-

perilor, accesul la circuitele fizice de calcul al paritatii; circuitele respective fiind prevazute in partea de acces cu circuite care au facilitati de rezolvare conditionata.

Rezolvarea problemelor de sincronizare la nivelul SDM, face ca subsistemul sa capete un grad mare de independenta si sa permita transformarea sa intr-un Subsistem de Intrare-Iesire (SII) independent, care sa aibe in componenta sa pe linda UDM si toate celelalte tipuri de echipamente periferice. Datorita cuceririlor tehnologice in domeniul circuitelor integrate si a dinamicii de imbunatatire a tehnologiilor din domeniul tehnicii de calcul, in structura sistemelor de calcul evoluate chiar si a sistemelor minicalculatoare, se va impune utilizarea SII care sa comunice cu procesoarele prin instructiuni evoluate, dialogul devenind minim. Se observa posibilitatea implementarii metodelor utilizate in trecut la sistemele de calcul foarte mari, la sistemele de calcul mici si la minicalculatoare.

## CAP.9. LOCUL SDM IN CONFIGURATIILE MULTIPROCESOR

### 9.1. Multiprocesorul banalizat

Configuratiile biprocesor sau multiprocesor permit utilizarea UDM de catre doua sau mai multe procesoare simultan. Pentru studiul teoretic al problemei se definesc notiunea de "multiprocesor banalizat" (MB) care este: o structura cu o memorie unica partajata de mai multe procesoare, fiecare din acestea putind executa toate procesele existente in sistem, determinindu-si fiecare lucrarile pe care trebuie sa le execute. In structura MB se poate utiliza foarte bine un singur SDM, daca acesta va fi corect dimensionat din punctul de vedere al capacitatii totale si al vitezei de raspuns la cererile procesoarelor.

Consecintele definitiei MB asupra structurii pot fi grupate in urmatoarele grupe:

- accesul tuturor procesoarelor la toate resursele

- autonomia proceselor fata de procesoare
- autonomia proceselor unul fata de celalalt (problema analizata la Cap.8.).

#### 9.1.1. Accesul tuturor procesoarelor la toate resursele.

In configuratie trebuie sa existe legaturi fizice intre toate elementele constructive ale configuratiei si procesoare. Memoria se considera comună pentru toată structura. In structura există organe de comutare care permit stabilirea legăturilor impuse în anumite situații. Aceste organe de comutare trebuie să asigure urmatoarele funcții:

9.1.1.1. Sa arbitreze anumite conflicte de acces la resursele care sunt specifice structurii multiprocesor.

Resursele trebuie să răspundă numai la cererile care vin de la procesoare. Gestionarea lor este o problemă independentă de existența organelor de comutare. Deci dacă accesul la un periferic este împărțit între mai multe procese, eventualele probleme de excludere mutuala trebuie să fie rezolvate prin operații de sincronizare scrise în procesul propriu-zis și nu în organul de comutare care da accesul la aceasta resursă. Dar la nivelul de realizare al instrucțiunilor de intrare-iesire pot să se pună probleme specifice structurii multiprocesor. Aceasta problema e necesar să se rezolve la nivelul organului de comutare și al microprogramării, deoarece se dorește ca strutura să fie transparentă la nivelul programării. Aceste probleme apar cind un organ de comutare permite accesul la mai multe resurse.

Ele sunt de două feluri:

- conflicte datorate simultaneitatii a două cereri de schimb cu două periferice care împart aceleași organe de comutare la procesoare;
- necesitatea de a face indivizibile anumite secvențe de microschimburii, adică să se blocheze organul de comutare un anumit interval de timp necesar desfășurării unor microinstructiuni care compun o instrucțiune de intrare-iesire.

9.1.1.2. Orientarea intreruperilor prioritare spre procesoare.

Problema inversă celei de la 9.1.1.1. Organul de comutare trebuie să decida spre care procesor

sa stabilleasca legatura. Prin banalizarea procesoarelor si respectind regulile de prioritate se poate stabili urmatoarea strategie: intreruperile prioritare sunt orientate spre procesorul mai putin prioritari, deci mai putin incarcat.

#### 9.1.2. Autonomia proceselor fata de procesoare

"Banalizarea" procesoarelor permite inlatura-rea unei deficiente majore aparute in cazul structurii cu procesoare specializate si anume: la un anumit mo-ment toate procesele care se executa pot avea nevoie de un anumit procesor specializat (de exemplu de pro-cesorul de virgula mobila), celelalte procesoare stind libere. Prin autonomia fata de procesoare intele-gem ca un proces poate fi inceput intr-un procesor si sa fie apoi continuat in oricare alt procesor al structurii.

Pentru a se asigura "transparenta" structurii trebuie respectate urmatoarele reguli:

- daca exista un singur procesor, informatii referitoare la procesoarele absente se prezinta ca si cum acestea ar fi intr-o stare in care nu pot executa un proces.

- lista proceselor active poate fi facuta numai de S.O. (si anume de partea denumita "Planifica-tor"). Nici o operatie de sincronizare nu trebuie sa poata cere trecerea unui proces direct in starea "activ". Singura cerere posibila trebuie sa fie tre-cerea in starea "gata de executie", planificatorul singur decizind trecerea din starea "gata de executie" in starea "activ". In acest fel structura este trans-parenta pentru programare, putindu-se cere executia unui proces, dar nu si afectarea unui anumit procesor.

"Banalizarea" structurii impune ca toate pro-cesoarele trebuie sa poata executa Planificatorul, ori Planificatorul trebuind sa tina cont de starea si de prioritatea procesoarelor, trebuie ca toate ace-sa informatii sa fie accesibile pentru toate procese-le, deci sa fie plasate intr-o memorie comună.

## 9.2. Configuratiile cu minicalculatoare INDEPENDENT.

Din anul 1979 anul in care a intrat in produc-  
tie de serie, minicalculatorul I-100 a fost produs in  
peste 200 de exemplare iar din 1982 a inceput sa se  
produca si minicalculatorul I-102, care foloseste ace-  
leasi busuri si echipamente periferice ca si I-100.  
Cu sisteme I-100 au fost rezolvate anumite aplicatii  
in care s-a impus utilizarea unor configuratii bical-  
culator, la care a aparut necesitatea utilizarii in  
comun a acelorasi UDM. La "Sistemul de avertizare  
hidrometeorologica la inundatii" si la "Sistemul de  
supraveghere a instalatiilor OLTCIT-Craiova" s-a  
impus organizarea unei configuratii ca in fig. 9.1.,  
unde sunt utilizate doua calculatoare identice  
interconectate prin cuploare intercalculatoare. Un  
calculator este "activ" si este cuplat cu procesul,  
al doilea fiind "rezerva calda" ("stand by"), aces-  
tea din urma primind informatiile prelucrate de  
primul, pentru a fi stocate in memoria proprie si  
apoi pe UDM. In acest fel in cazul unei defectari a  
sistemului activ defectiune sesizata de logica de  
avarie cu ceasuri de garda, se produce o comutare a  
legaturilor cu procesul spre calculatorul al doilea  
care trece in starea "activ". Aceasta va demara  
prin rularea unui program de initializare, care cere  
repetarea transmiterii ultimilor date de la proces,  
date care s-au pierdut si nu au putut fi prelucrate  
de sistemul defectat.

In configuratie anumite periferice simple (impri-  
mante, lectorul de cartele, display-urile) au fost conec-  
tate prin intermediul unui comutator de bus, comandat de  
asemenea de logica de avarie.

Dupa intrarea sistemelor in exploatare s-a vazut  
ca solutia impusa initial nu este foarte buna, deoarece  
transferul permanent al informatiilor prin cuploarele  
intercalculatoare ocupa un timp insemnat din timpul de  
lucru al calculatorului activ. De aceea schema s-a modi-  
ficat (fig.9.2.) organizindu-se o grupare de UDM cu du-  
blu acces, o logica de comutare permitind cuplarea UDM  
la unul din cuploarele sistemului de calcul. In fieca-  
re configuratie mai exista cite un SDM propriu, echipat

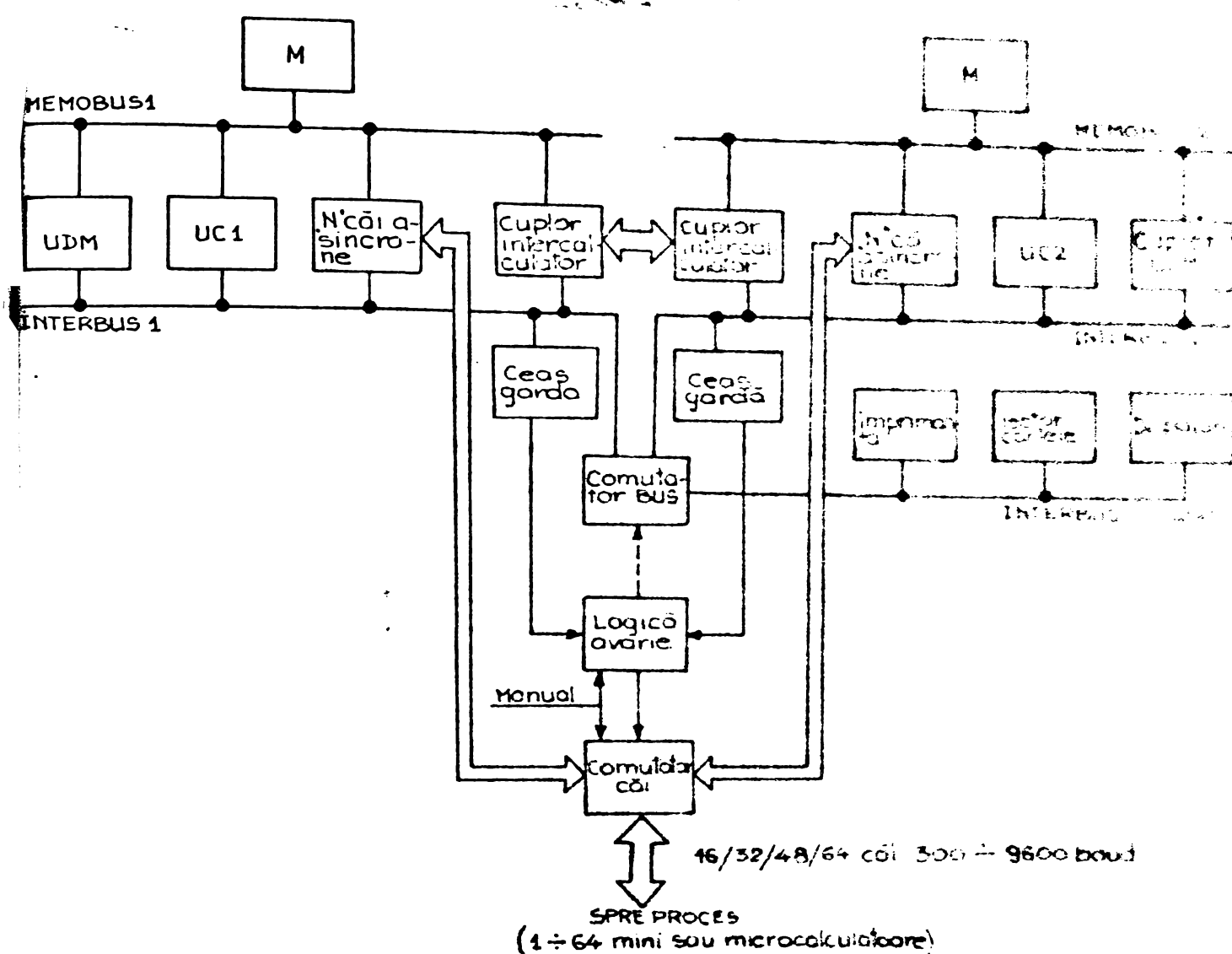


Fig. 9.1. Configurație cu sisteme interconecte

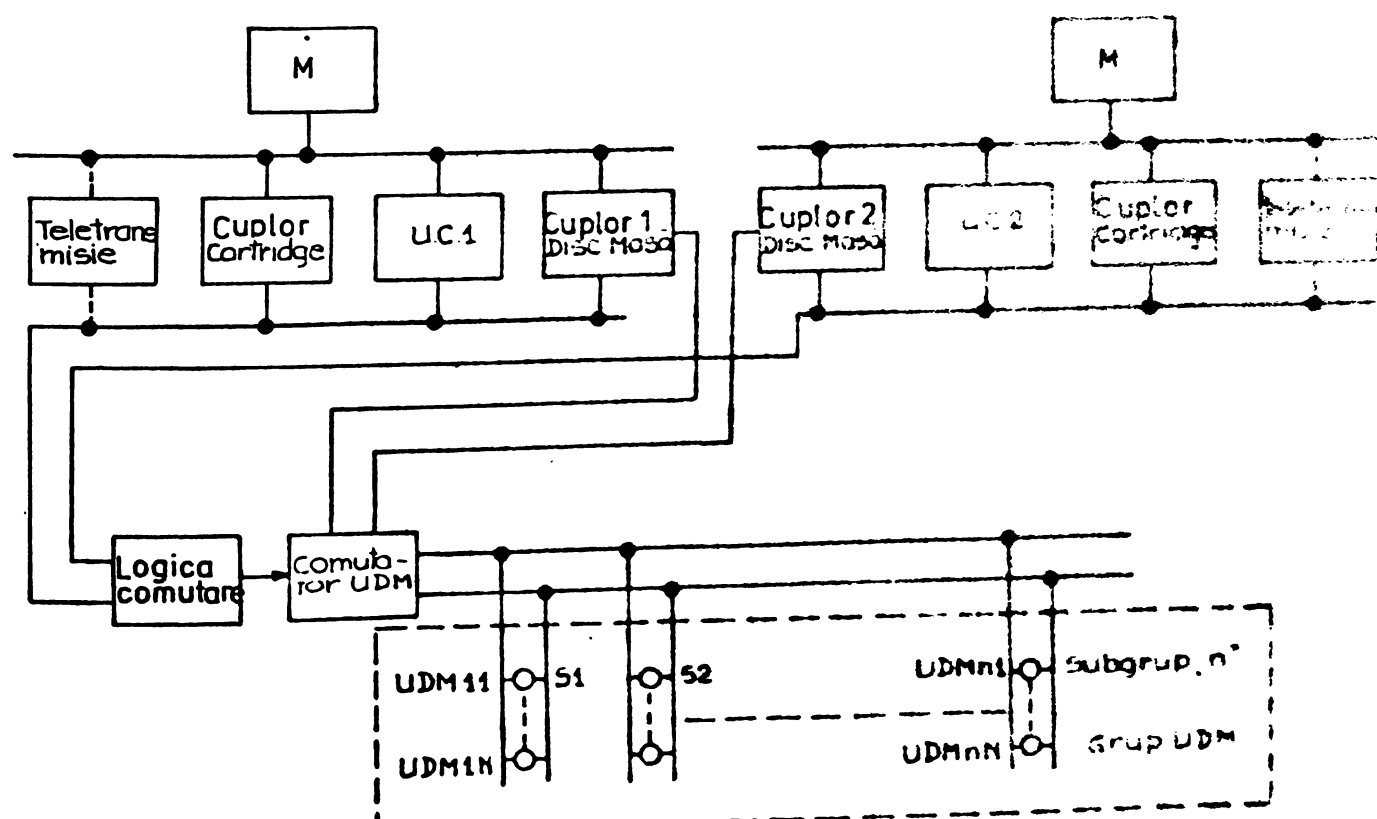


Fig. 9.2. Configurație utilizând UDM cu dublu acces grupate într-o memorie exterană de capacitate foarte mare

cu o UDM tip cartridge de mica capacitate (12 Mo) pe care se afla S.O. Gruparea comună de UDM este utilizată pentru stocarea informațiilor din proces.

O alta variantă posibilă (fig.9.3.) utilizează comutatoare de busuri comandate de logica de comutare. Fiecare sistem are un SDM cu discuri cartridge pentru S.O. și un SDM de mare capacitate cuplat după comutatoarele de bus pe busurile comune. De asemenea pe busurile comune se poate conecta și Subsistemul de Banda Magnetica (SBM).

### *9.3. Influenta introducerii circuitelor VLSI asupra arhitecturii configurațiilor multiprocesor.*

Cum s-a vazut o configurație multiprocesor conține cel puțin două procesoare identice care au acces la o memorie comună și la un sistem de intrare-iesire comun, întregul sistem fiind controlat de un S.O. care gestionează interacțiunea între procesoare și procesele ce trebuie rezolvate. Apariția microprocesoarelor VLSI cu 16 biti a dus la apariția unor posibilități noi pentru rezolvarea de configurații multiprocesor, dar au apărut și noi probleme cum ar fi modul de conectare a microprocesoarelor cu memoria și sistemul de intrare-iesire. Există trei posibilități de a soluționa problema: configurație cu busuri comune, configurație cu matrice de comutare (crossbar switches) și configurație cu memorie multiport. Configurația cu busuri comune (fig.9.4.) este cea mai simplă și cea mai ieftină și din aceasta cauza este recomandată.

Noile memorii rapide și ieftine împreună cu microprocesoarele vor putea duce la înlăturarea anumitor parti special concepute din vechile arhitecturi, cum ar fi de exemplu cuploarele de intrare-iesire. Noile tehnologii permit în primul rînd, introducerea unei parti a cuplului în echipamentul periferic propriu-zis, acesta devenind "intelligent", putind prelua de exemplu funcțiile de detectie și corectie a erorilor, stocarea intermediara a datelor, și anumite prelucrări asupra acestora, etc. La arhitecturile actuale sarcinile de intrare-iesire erau în majoritate rezolvate de U.C. Păstrarea acestui tip de arhitectură, numai cu schimbarea tehnologiei nu ar aduce o mare

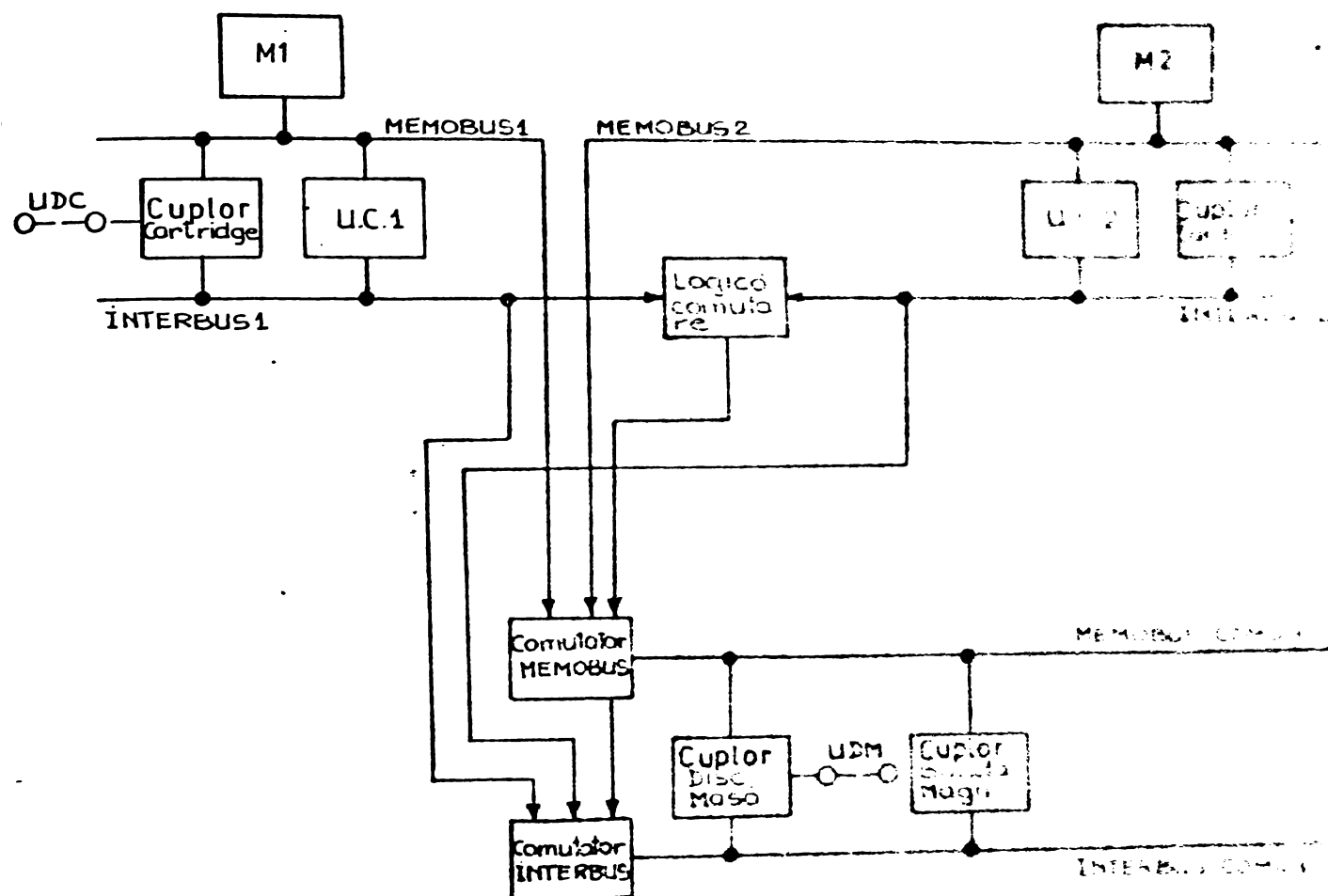
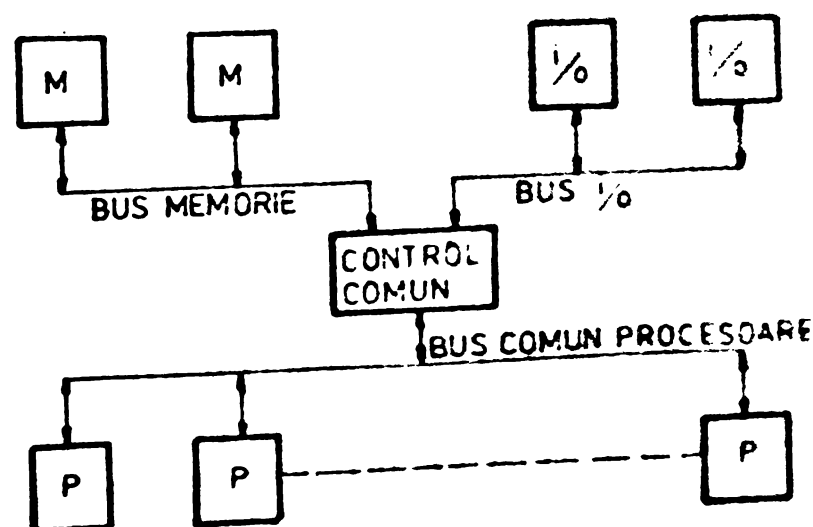


Fig. 9.3. Configuratie cu comutatoare de busuri. (scenariu simplificat)

9.4



efectiva a performantelor sistemului. Ceea ce se cere este definirea unor noi arhitecturi care sa utilizeze la maximum posibilitatile de calcul ale microprocesoarelor VLSI, utilizate ca subsisteme de intrare-iesire. Problema definirii unei arhitecturi de intrare-iesire se apropie foarte mult de problema definirii arhitecturii retelei de calculatoare, de fapt S.I.I. putind fi privit ca o retea locala de comunicatii de date. Asa cum o retea conduce la distribuirea prelucrarii datelor, o arhitectura de intrare-iesire bine definita poate duce la prelucrarea distribuita a sarcinilor de intrare-iesire, puterea de calcul fiind distribuita la cuploare unde este real necesara si unde se gasesc si datele. Aceasta actiune de descentralizare conduce la micsorarea legaturilor cu procesorul propriu-zis si la descongestionarea acestora, deci la cresterea performantelor de ansamblu ale sistemului.

Urmind exemplul conceptului arhitecturii de retea, se poate defini o arhitectura distribuita de intrare-iesire care utilizeaza mesaje de control a intrarii-iesirii si consta din patru nivele de protocol (fig.9.5.).

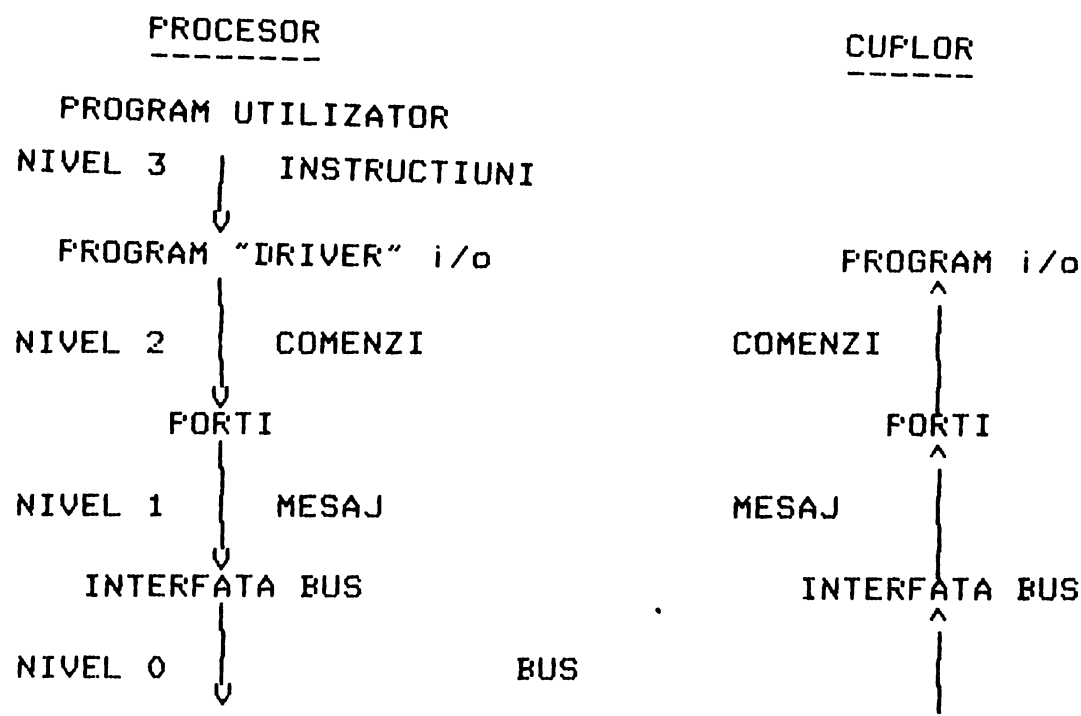


Fig.9.5. Arhitectura de intrare-iesire cu nivale de protocol.

Nivelul 0 este interfata fizica formata din circuitele emitatoare-receptoare si liniile fizice ale busului.

Nivelul 1 este nivelul de transfer al mesajului, mesaj format din bitii de stare, comenzi sau date, care a fost creat in nivelul 2 si a fost trimis prin intermediul unei porti de intrare-iesire. Nivelul 2 este nivelul de date in care mesajele contin informatii de control de intrare-iesire de nivel inalt (cum ar fi: SCRIERE, SFIRSIT, CITIRE, etc.). Nivelul 3 este nivelul interfetei cu driverul specific din S.O., unde un program utilizator poate cere o operatie de intrare-iesire.

Implementarea acestor nivele cu microprocesoare VLSI aduce urmatoarele avantaje:

- interfata de intrare-iesire poate fi standardizata la nivelul driverului software de intrare-iesire, astfel ca se va utiliza un singur driver, care poate fi intrebuințat usor cind este cazul;
- driverul software de intrare-iesire se simplifica, atit datorita transferarii in cuploul cu microprocesor a tuturor functiilor dependente de echipamentul periferic, cit si utilizarii unui set de protocoale bine structurat;
- posibilitatea cuplarii ulterioare a unor periferice inteligente care vor avea noi posibilitati fata de cele actuale;
- utilizarea unor busuri de intrare-iesire mai simple si mai ieftine, deoarece controlul cu mesaje orientate impune un volum mai mic de informatii care trebuie transferate, deci se poate trece la utilizarea unor busuri seriale, fara a diminua performantele sistemului;
- cresterea performantelor procesorului central, deoarece acesta este eliberat de calculele specifice operatiilor de intrare-iesire.

Cu cit procesorul central devine mai rapid cu atit va ocupa mai mult memoria in detrimentul sistemului de intrare-iesire. De aceea apare necesitatea utilizarii unor busuri separate pentru utilizarea memoriei.

In conditiile utilizarii microprocesoarelor VLSI, SDM va putea fi un microcalculator al retelei, standard din punctul de vedere al organizarii hardware, dar specializat prin micropogramare. Micropogramele specifice pot fi incarcate la initializarea sistemului pe microcalculatorul desemnat pentru a realiza functia de SDM, UDM pot fi cuplate fizic direct la acesta, sau printr-un bus de intrare-iesire se pot cupla la o serie de microcalculatoare.

latoare fiecare din acestea putind deveni beneficiarul acestor echipamente periferice. Aceasta solutie care nu prevede specializarea hardware, are avantajul realizarii unei fiabilitati de ansamblu foarte bune.

## CAP.10. PROBLEMA CONFLICTELOR DE ACCES

Cuplarea simultana a UDM la doua sau mai multe sisteme de calcul este posibila din punct de vedere al realizarii fizice. Solutia prezinta avantaje economice, deoarece UDM sunt echipamente periferice scumpe, fabricate cu un import rezidual mare, fata de cuploarele specifice care se pot realiza cu circuite din tara si tari socialiste la un cost relativ scazut.

Pentru sistemele cu minicalculatoare nu s-a studiat in exploatare coeficientul de utilizare reala a UDM. De aceea folosind o metoda originala se vor studia rezervele SDM si limita pina la care considerentele de ordin economic nu duc la diminuarea performantelor tehnice.

Un factor care poate diminua mult performantele unui sistem de calcul este constituit de conflictele care apar in momentul in care se solicita accesul la un ansamblu utilizat in comun de mai multi utilizatori. La sistemele multiprocesor pot aparea conflicte pe accesele la: memorie, echipamentele periferice comune, operatorul de virgula flotanta, etc.

In cele ce urmeaza se analizeaza problema conflictelor de acces ce apar in sistemele multiprocesor, datorate utilizarii unui singur cuplu pentru unitatile de discuri magnetice, precum si randamentul acestor configuratii.

### 10.1. Analiza teoretica a problemei.

Pentru studiul teoretic ne plasam in cazul general in care "n" procesoare ale sistemului multiprocesor impart aceiasi SDM. SDM este considerat referinta pentru configuratie, dorind sa rezolvam problema conflictelor de acces ce apar la intrarea SDM. Fata de SDM un procesor activ poate sa se gasesca in una din urmatoarele trei stari diferite:

- (1). "executie": procesorul lucreaza dar nu cere acces la SDM;

(2). "in asteptare": procesorul a facut o cerere de acces si asteapta ca accesul sa se libereze pentru a putea realiza efectiv un schimb de informatii cu subsistemul;

(3). "in acces": un schimb se deruleaza intre procesor si subsistem.

Vom face urmatoarele ipoteze:

a). La momentul dat numai un procesor poate fi in starea (3), deoarece consideram cazul in care subsistemul are un singur acces.

b). Procesoarele sunt independente.

c). Pentru un procesor care se afla in starea (1), posibilitatea de a trece in starea (2) sau (3) urmeaza o lege exponentiala care are urmatoarea densitate a probabilitatilor:

$$(10.1.) \quad f_1(t) = \alpha e^{-\alpha t}$$

unde este egal cu inversul valorii medii a timpului care separa pentru un procesor dat un sfarsit de acces si cererea urmatoare de acces, adica durata in care un procesor ramane in starea (1) "executie".

d). Pentru un procesor care se afla in starea (3), posibilitatea va fi:

$$(10.2.) \quad f_2(t) = \beta e^{-\beta t}$$

unde este egal cu inversul valorii medii a timpului de acces la subsistem pentru un procesor dat, deci durata pe parcursul careia procesorul ramane in starea (3) "in acces". Fie  $S(i)$  starea corespunzatoare cazului in care "i" procesoare solicita acces la subsistem. Sa consideram un interval de timp  $dt$ , atat de scurt incit posibilitatea de a se produce doua evenimente in timpul  $dt$  sa fie nula.

Observam ca:

- probabilitatea de trecere din starea  $S(i)$  in starea  $S(i+1)$  este  $(n-i) dt$ , deoarece fiecare din cele  $(n-i)$  procesoare aflate in starea  $S(i)$ , care nu sunt in cerere de acces la subsistem, pot cere un acces la subsistem cu probabilitatea  $\alpha$ ;  
- probabilitatea de trecere din starea  $S(i)$  in starea  $S(i-1)$  este:  $dt$ , deoarece un singur procesor poate fi in starea de acces la subsistem.

Se poate imagina modelul din fig.10.1.

Fie  $P_i(t)$  probabilitatea ca un procesor sa fie in starea  $S_i$  in momentul  $t$ . In ipoteza in care modelul se considera

stationar, probabilitatea de a parasi starea  $S_i$  in intervalul de timp  $dt$ , este egala cu probabilitatea de a intra in starea  $S_i$ . Deci:

$$(10.3.) \quad \left\{ \begin{array}{l} \forall i = 1, 2, \dots, n-1 : (n-i+1)\alpha P_{i-1} - \beta P_i = \\ \qquad = (n-i) P_i - P_i \\ \text{pentru } i=n : \alpha P_{n-1} - \beta P_n = 0 \end{array} \right.$$

deci:

$$(10.4.) \quad \forall i = 1, 2, \dots, n : (n-i+1)\alpha P_{i-1} - \beta P_i = 0$$

$$(10.5.) \quad P_i = (n-i+1) \cdot \frac{\alpha}{\beta} \cdot P_{i-1}$$

$$(10.6.) \quad P_i = \frac{n!}{(n-i)!} \cdot \left(\frac{\alpha}{\beta}\right)^i \cdot P_0$$

Deoarece:

$$(10.7.) \quad \sum_{i=0}^n P_i = 1$$

avem:

$$(10.8.) \quad P_0 = \left[ \sum_{i=0}^n \frac{n!}{(n-i)!} \cdot \left(\frac{\alpha}{\beta}\right)^i \right]^{-1}$$

Numarul mediu de procesoare care se afla in asteptarea unui acces este:

$$(10.9.) \quad E_n = \sum_{i=0}^n (i-1) \cdot P_i$$

Flecind de la aceasta valoare, se poate defini un coefficient  $k_n$ , multiplicant mediu al prelungirii timpului de executie in procesor, datorita conflictelor de acces la subsistem.

In orice moment avem  $(n-E)$  procesoare active, care deci nu sint in asteptarea unui acces. Pentru a avea o activitate echivalenta celei efectuate de  $n$  procesoare fara aparitia vreunui conflict in perioada de timp  $\bar{\tau}$ , trebuie sa se lucreze pe durata  $\bar{\tau}'$  astfel ca:

$$(10.10.) \quad n \cdot \bar{\tau}' = (n-E) \bar{\tau},$$

deci:

$$(10.11.) \quad k_n = \frac{\bar{\tau}'}{\bar{\tau}} = \frac{n}{n-E}$$

de eroare, pentru iesiri fiind utilizat tot discul magnetic; de asemenea biblioteca de programe utilizate a fost trecuta initial de pe banda magnetica pe unul din discurile magnetice).

Montajul foloseste un monostabil cu baza de timp reglabilă care constituie semnalul de referinta  $E_2$ . La intra-

rea monostabilului se aplica semnalul OCUPAT prelevat de la SDM, pe care-l vom nota cu  $E_1$ . La trecerea semnalului  $E_1$  din

starea 0 în 1, se declanșează monostabilul, iesirea  $E_2$  tre-

cind din 0 în 1 pentru o perioada de timp  $\Delta t$ , reglabilă. Vom avea:

$$(10.16.) \quad S = \overline{E_1} \cdot E_2$$

Semnalul S este în permanență 1 cu excepția cazului în care  $E_1$  ramine pe 1 o perioadă de timp mai lungă decât

semnalul de referință  $E_2$ . Dacă S ataca un numarator care numără pe frontul căzător al semnalului de intrare, se obține numărul de ori cind semnalul  $E_1$  este mai lung decât semnalul

de referință  $E_2$ , în timpul unei durate arbitrară de masura  $Z$ .

Semnalul OCUPAT s-a prelevat de la SDM arătând dacă accesul este ocupat (1) sau liber (0).

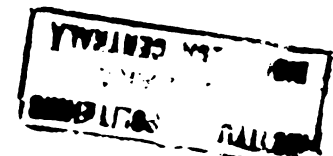
Pentru compensarea întirzierii trecerii semnalului prin monostabil s-a folosit în schema un circuit de întirzire format din componente D,R,C. Dacă aceasta întirzire nu ar fi compensată ar apărea un impuls parazit care a denatura masuratorile (fig. 10.3.).

Masuratorile în etapa I-a s-au facut în două ipoteze:

- cu un singur disc magnetic
- cu două discuri magnetice

Cind s-a lucrat cu două discuri magnetice, pe discul DM1 s-a montat numai sistemul de operare, iar discul DM2 a fost utilizat pentru transferul de date. Lantul de programe cu durată de două ore, a fost repetat timp de 24 de ore, în repetate rânduri. Astfel s-au obținut un mare număr de date care au servit la verificarea calculelor teoretice.

Pentru determinarea duratelor în care accesul este ocupat s-au fixat 11 valori diferite pentru  $\Delta t$ . S-au fixat anumite puncte de masură în concordanță cu caracteristicile unității de discuri magnetice folosite (CIOC 9747) și anume:



$$(10.12.) \quad k_n = \frac{1}{1 - \varepsilon_n}$$

unde:

$$(10.13.) \quad \varepsilon_n = \frac{\varepsilon}{n} = \frac{1}{n} \left[ \sum_{i=1}^n \frac{i-1}{(n-i)!} \left(\frac{\alpha}{\beta}\right)^i \right] \cdot \left[ \sum_{i=0}^n \frac{1}{(n-i)!} \left(\frac{\alpha}{\beta}\right)^i \right]$$

Particularizind pentru un sistem biprocesor, conflictul proceselor duce la o multiplicare a timpului de executie cu coefficientul:

$$(10.14.) \quad k_2 = \frac{1}{1 - \varepsilon_2}$$

unde:

$$(10.15.) \quad \varepsilon_2 = \frac{\varepsilon_2}{2} = \frac{1}{\left(\frac{\alpha}{\beta} + 1\right)^2 + 1}$$

### 10.2. Masuratori.

Pentru verificarea concluziilor teoretice s-a imaginat o metoda de masura, utilizandu-se o configuratie biprocesor cu sisteme I-100. Masuratorile s-au facut in doua etape:

- etapa I-a. Configuratie cu un singur procesor pe care cu ajutorul unui montaj suplimentar s-a determinat repartitia duratei acceselor pe intervale de timp;

- etapa II-a. Configuratie biprocesor folosindu-se un cuplaj comun pentru UDM.

#### 10.2.1. Etapa I-a.

Pentru verificarea premiselor teoretice din cap.10.1. este necesar sa determinam coeficientii  $\alpha$  si  $\beta$ . In acest scop a fost imaginat un circuit logic simplu care a permis ridicarea urmatoarelor curbe (fig. 10.2.).

- variația duratelor de acces; se pune în evidență numărul de accese care au durat mai mult de un interval  $\Delta t$  (intrerupatorul în poziția 2);

- variația duratelor fără acces; se pune în evidență numărul de ori cind există perioade fără acces, care au durat mai mult de un interval  $\Delta t$ . (intrerupatorul în poziția 1).

S-a utilizat o configurație I-100 completă (bandă magnetica, imprimanta rapida, două unitati de disc magnetic de 58 Moct., etc.). S-a stabilit un lant de programe software cu durata de 2 ore, similar cu lantul de programe utilizat la recepționarea sistemelor I-100, la care s-au facut anumite modificari cu scopul de a utiliza la maximum SIDM (toate ieșirile de date nu s-au mai facut pe imprimanta cu excepția mesajelor

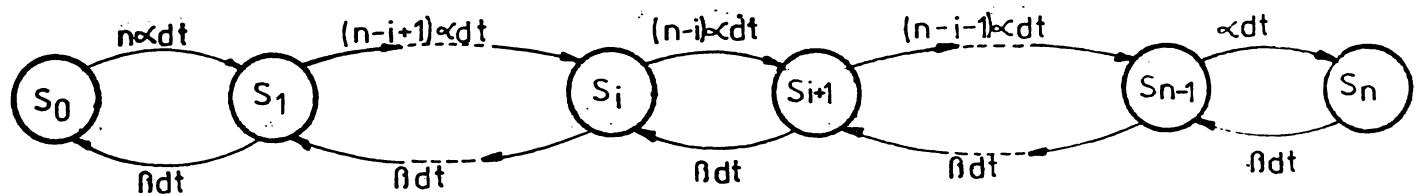


Fig. 10.1. Model cu stari ale procesoarelor.

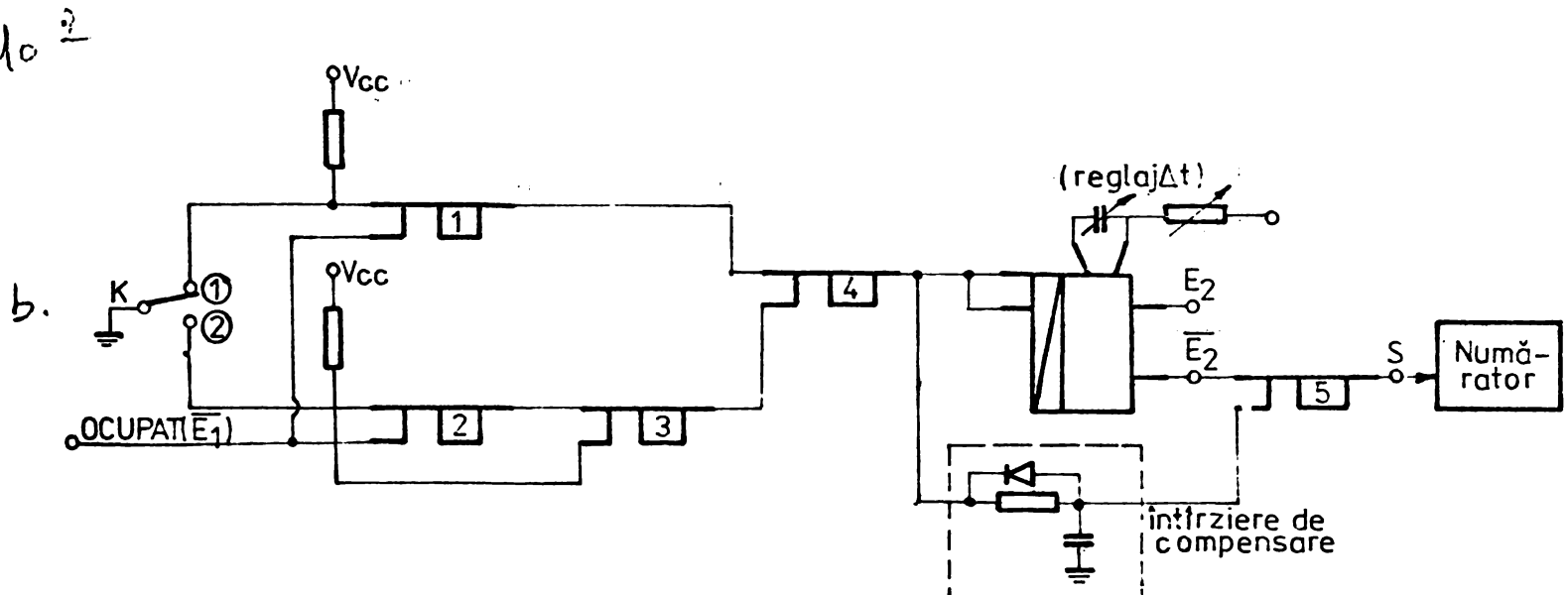
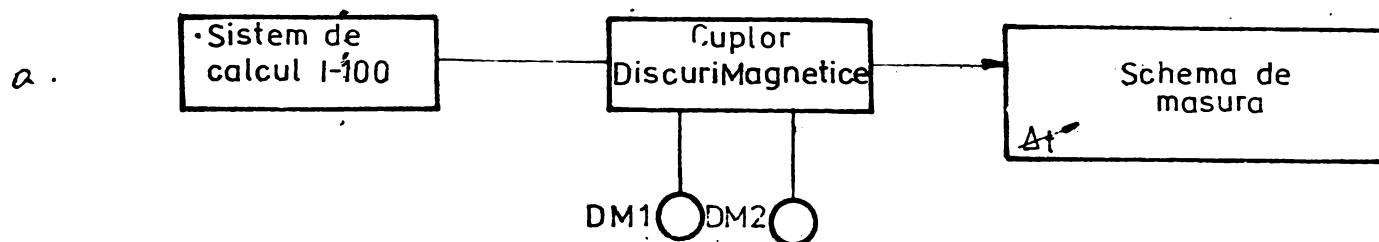
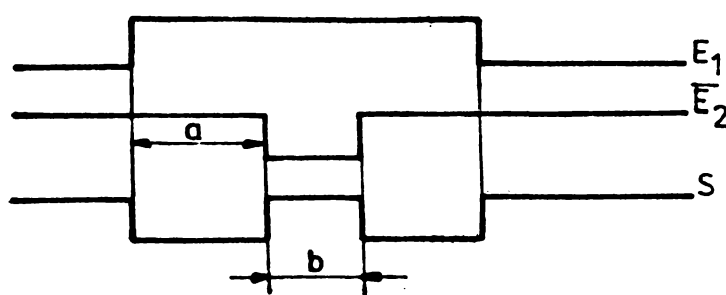


Fig. 10.2. Schema instalatiei de masura.

10.3



- a. Întirzire datată timpului de propagare prin monostabil.
- b. Impuls parazit.

Fig. 10.3. Schema aparitiei impulsului parazit.

7 msec., 35 msec., si 70 msec. corespunzatoare timpului minim, mediu si maxim de pozitionare a capetelor, precum si puncte intermediare care sa permita realizarea unei game de masuratori complete. Valoarea limita a duratei  $\Delta t$  a fost aleasa experimental, fixindu-se la 100 msec., valoare de la care masuratorile nu mai prezintau importanta datorita numarului mic de evenimente inregistrate. In fiecare punct de masura (fiecare valoare diferita a marimii  $\Delta t$ ) s-a trecut lantul de programe de cinci ori. Deoarece ora de calcul are o valoare ridicata, masuratorile s-au efectuat utilizindu-se concomitent cinci scheme logice de masura, pentru fiecare reglindu-se valori diferite ale parametrului  $\Delta t$ . In acest fel timpul total de masura a fost micsorat mult fara a se diminua precizia masuratorilor.

Pentru determinarea duratelor in care accesul este liber s-au utilizat 10 puncte de masura, in aceeasi plaja de variatie a parametrului  $\Delta t$  (0 - 100 msec.) majoritatea masuratorilor fiind efectuate pentru valori mici ale acestui parametru (0 - 25 msec.), deoarece s-a estimat ca se lucreaza cu o configuratie intens utilizata, deci timpii de neocupare a accesului vor fi minimi.

Rezultatele masuratorilor sunt trecute in tabelele 10.1. si 10.2.

TABELUL 10.1.

$\Delta t$ (msec.)	N - ACCES OCUPAT	
	un disc	doua discuri
0	950.000	950.000
7	950.000	930.000
25	835.000	710.000
35	755.000	580.000
50	585.000	350.000
65	375.000	150.000
70	320.000	90.000
75	205.000	40.000
80	115.000	20.000
90	15.000	10.000
100	5.000	5.000

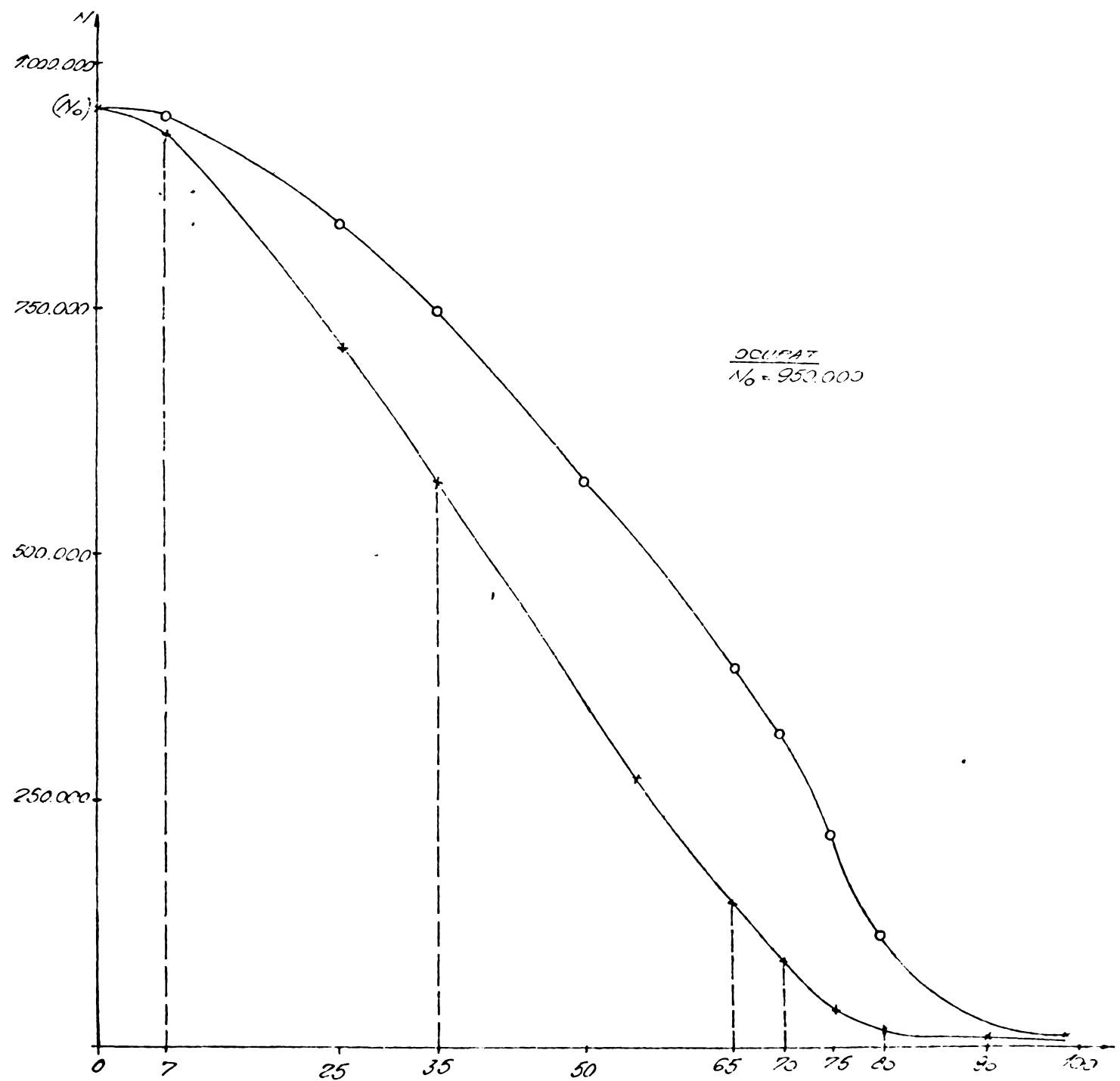


Fig. 10.4.

TABELUL 10.2.

$\Delta t$ (msec.)	N - ACCES NEOCUPAT	
	un disc	două discuri
0	950.000	950.000
2,5	925.000	940.000
5	100.000	915.000
10	50.000	910.000
15	30.000	675.000
20	25.000	475.000
25	20.000	260.000
50	10.000	75.000
75	7.500	40.000
100	5.000	15.000

Pe baza masuratorilor facute s-au trasat curbele din fig.10.4. și 10.5. Aceste curbe sunt de tipul:

$$(10.17.) \quad N = G(\Delta t)$$

unde:

$t$  = o perioada de timp

$N$  = numarul de ori cind o conditie (ocuparea sau neocuparea accesului) dureaza mai mult decit  $\Delta t$ .

De asemenea curbele tratate sunt de forma:

$$(10.18.) \quad N = N_0 [1 - F(\Delta t)]$$

unde:  $N_0 = G(0)$  – valoarea la originea curbelor

$F(\Delta t)$  = functia de distributie a perioadelor de acces sau respectiv a perioadelor fara acces.

Valoarea medie "m" a acestor perioade este:

$$(10.19.) \quad m = \int_0^{\Delta t_{\max}} \Delta t \cdot F(\Delta t) \cdot d(\Delta t)$$

unde:  $f(\Delta t)$  – densitatea probabilitatilor pentru  $\Delta t$ .

$$(10.20.) \quad m = \Delta t \cdot F(\Delta t) \left| \int_0^{t_{\max}} - \int_0^{t_{\max}} F(\Delta t) \cdot d(\Delta t) \right.$$

$$(10.21.) \quad m = \int_0^{\Delta t_{\max}} |1 - F(\Delta t)| \cdot d(\Delta t) =$$

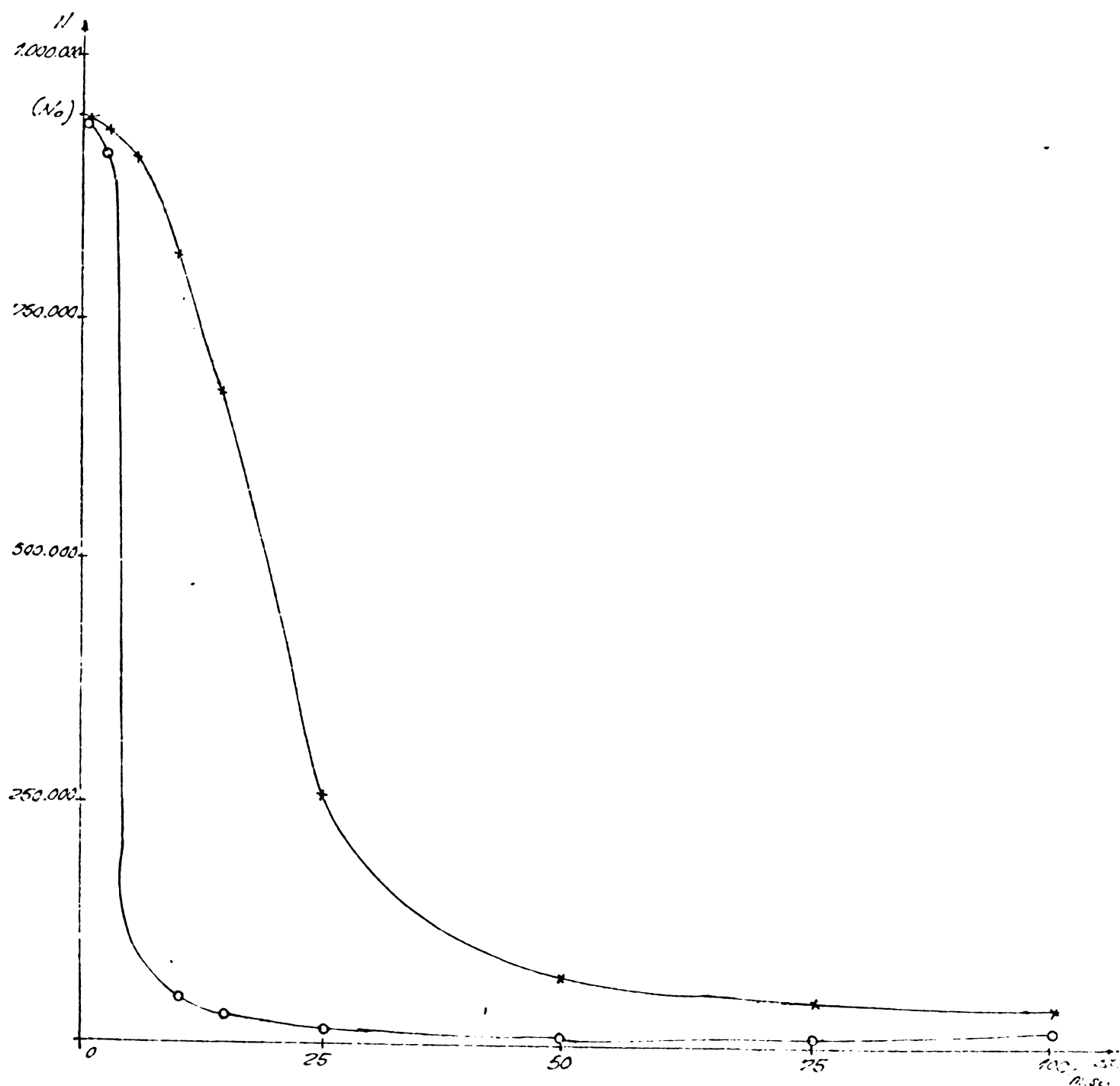
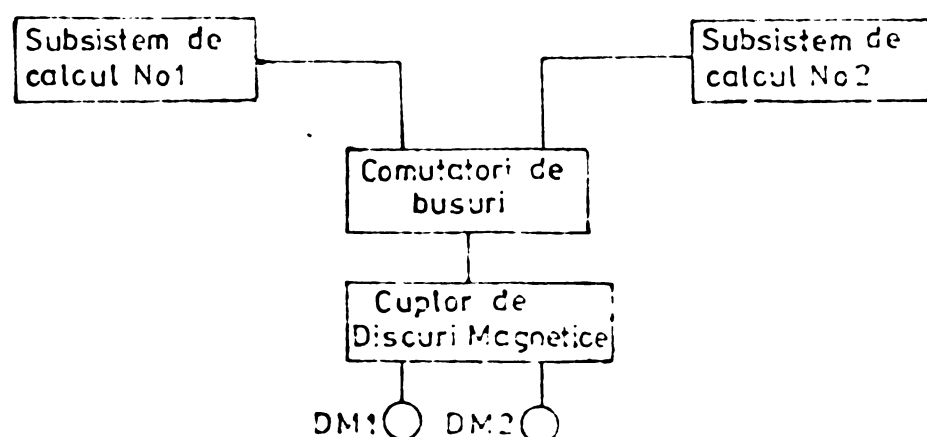


Fig. 10.5.

Fig. 10.6. Schema bloc a configuratiei.



$$= \frac{1}{N_0} \int_0^{\Delta t_{\max}} N \cdot d(\Delta t)$$

deci:

$$(10.22.) \quad m = \frac{s(G)}{N_0}$$

unde:  $s(G) =$  suprafața cuprinsă între curba  
 $N = G(\Delta t)$  și axele de coordonate.

$$N_0 = G(0)$$

Pe curbele din fig.10.3. și 10.4. un careu de  $1 \text{ cm}^2$   
 are valoarea "s":

$$s = 50.000 \text{ puncte} \times 5 \text{ msec.} = 250.000 \text{ puncte.msec.}$$

Valoarea initială pentru toate curbele este:  
 950.000 puncte.

Suprafața S cuprinsă între curbe și axele de coordonate este data în tabelul 10.3.

TABELUL 10.3.

	Acces ocupat	Acces neocupat		
	un disc	două discuri	un disc	două discuri
$S(\text{cm}^2)$	208,8	158,7	24,6	92,2

Valoarea medie a perioadelor fără acces este:

$$(10.23.) \quad \frac{1}{\alpha} = S \cdot \frac{1}{N_0}$$

Valoarea medie a perioadelor de acces:

$$(10.24.) \quad \frac{1}{\beta} = S \cdot \frac{s}{N_0}$$

In tabelul 10.4. se gasesc rezultatele calculelor efectuate cu formulele 10.23 și 10.24

TABELUL 10.4.

	Acces ocupat	Acces neocupat		
	un disc	două discuri	un disc	două discuri
1	54,947	41,758	-	-
1	-	-	6,483	24,269

In cazul utilizarii unei singure unitati de discuri magnetice vom avea:

$$(10.25.) \quad \gamma = \frac{\beta}{\alpha} = \frac{6,483}{54,947} = 0,118$$

$$(10.26.) \quad \varepsilon_2 = \frac{1}{(\gamma + 1)^2 + 1} = 0,4444$$

$$(10.27.) \quad E_2 = 2 \cdot \varepsilon_2 = 0,8888$$

$$(10.28.) \quad k_2 = \frac{1}{1 - \varepsilon_2} = 1,8$$

Daca se utilizeaza doua unitati de discuri magnetice obtinem:

$$\gamma = 0,5812 ; \quad \varepsilon_2 = 0,2857 ; \quad E_2 = 0,5714 ; \quad k_2 = 1,4.$$

Se observa ca in cazul utilizarii unei UDM suplimentare randamentul intregului sistem creste. Daca la utilizarea unei singure UDM coeficientul mediu de alungire a timpului de executie  $k_2 = 1,8$  arata o sporire cu 80% a timpului de lucru, la sistemul biprocesor fata de sistemul monoprocesor, odata cu introducerea celei de a doua UDM sporul va fi de numai 40% ( $k_2 = 1,4$ ).

Numarul mediu de procesoare in asteptarea unui acces  $E_2$  in cazul folosirii unei singure UDM este de 0,88 ceea ce arata ca SDM este un element limitativ, cu toate ca s-a utilizat un echipament periferic performant, cu o capacitate de stocare mare si cu timpi de acces la informatie redusi. Odata cu adaugarea celei de a doua UDM se observa o imbunatatire a valorii  $E_2$ , configuratia respectiva fiind convenabila atit din punct de vedere functional, cit si economic. Trebuie avut in vedere si faptul ca masuratorile s-au facut in conditii speciale care au intensificat la maximum lucrul cu SDM.

#### 10.2.2. Etapa II-a

S-a utilizat o configuratie formata din doua sisteme de calcul I-100, un comutator de busuri lucrind pentru cererile de acces dupa principiul FIFO (prima cerere de acces venita, este prima servita) si acelasi SDM utilizat la masuratorile din etapa I-a. Configuratia este prezentata in fig.10.6.

Pentru masuratori s-a utilizat acelasi lant de programe software utilizat si in etapa I-a care a fost rulat concomitent in paralel pe ambele sisteme cronometrandu-se timpul final de

executie al lantului in configuratie. Rezultatele masuratorilor sunt trecute in tabelul 10.5.

TABELUL 10.5.

	un disc	doua discuri
timpul total (minute)	216	168
coeficientul k	1,8	1,4

Se observa o concordanță a masuratorilor și calculelor efectuate în cadrul etapei I-a, cu masuratorile efectuate în etapa II-a.

Pentru a observa o imagine reală asupra posibilității utilizării SDM la configurațiile biprocesor s-au facut încercări suplimentare la care lantul de programe nu a mai fost modificat pentru a încărca în mod maxim accesele la SDM, ci s-a lucrat în modul obisnuit cu sistemele de calcul (cu utilizarea tuturor resurselor sistemelor; benzi magnetice, imprimante, etc.). Rezultatele masuratorilor sunt trecute în tabelul 10.6.

TABELUL 10.6.

	doua discuri	un sistem	doua sisteme
timpul total (minute)		120	132
coeficientul k		1	1,1

Se observă o alungire a timpului total de lucru cu 10%, ceea ce demonstrează posibilitatea lucrului cu un singur SDM în configurațiile biprocesor. Aceasta constatăre arată utilitatea studierii utilizării cuplării UDM simultan la două sau mai multe sisteme de calcul.

### 10.3. Concluzii.

Cu toate că masuratorile nu s-au putut efectua decât pe o configurație biprocesor, calculele teoretice verificate în practică pentru aceasta configurație, ne permit să extindem valabilitatea acestora și la configurațiile multiprocesor.

La configurațiile cu sisteme I-100 (echivalente PDP11/34) unde se utilizează UDM fabricate la ROM CONTROL DATA cu capacitatea de 58 Moct. este convenabilă constituirea SDM unde mai

multe procesoare pot utiliza simultan UDM, solutia prezentind pe lîngă avantajele economice imediate și o îmbunatătire a fiabilității generale a configurației, deoarece defectarea unei UDM nu duce la oprirea întregului sistem cum se întimplă la sistemele cu o singură UDM. Astfel de configurații cu SDM comune pentru mai multe procesoare pot fi utilizate în configurațiile cu rezerva caldă ("stand-by") unde se cere o disponibilitate a sistemului de 24 ore din 24 de ore.

**CAP.11. CUPLAREA SIMULTANA  
A UDM LA MAI MULTE  
SISTEME DE CALCUL  
IN CONTEXTUL MODER-  
NIZARII ARHITECTURII  
CONFIGURATIILOR  
DE CALCUL**

La sistemele moderne de calculatoare problema intrare-iesirii se poate trata pentru sistemele biprocesor sau multi-procesor prin preluarea tuturor sarcinilor de intrare-iesire de către un procesor component al configurației, iar la configurațiile singulare prin realizarea unui subsistem cu o independență funcțională cit mai avansată.

Elementele Sistemului de Intrare-Iesire din S.O. sunt:

- dispozitive de intrare-iesire
- numere logice
- drivere de intrare-iesire
- cereri de intrare-iesire
- sistemul de gestiune a fisierelor.

Se dorește introducerea majorității acestor elemente în structura internă a SDM, eliberindu-se memoria operativă de aceasta parte rezidentă a S.O.

Pe lîngă dispozitivele de intrare-iesire fizice, există dispozitivele de intrare-iesire logice și pseudodispozitivele de intrare-iesire. Denumirea dispozitivelor logice poate fi aceeași cu cea fizică sau să se dea o denumire care să nominalizeze fiecare proces în parte. În acest sens în SDM va fi prevăzută o tabelă cu corespondența fizică-logica pentru fiecare proces. Pseudo-dispozitivele de intrare-

iesire sint nume de dispozitive ce nu corespund cu nici un dispozitiv fizic din sistem, corespondenta fiind realizata prin operatii de redirectare. Existenta acestor dispozitive (pseudo-dispozitive) este utila in cadrul sistemului pentru stabilirea unor dispozitive de intrare-iesire implicita si pentru eliminarea functionarii cu randament scazut a sistemului datorita nefunctionarii unor dispozitive fizice. Un exemplu de pseudo-dispozitiv poate fi "listing consola", care prin redirectare poate fi folosit de anumite procese pentru salvarea informatiilor pe o UDM, sau pur si simplu pentru listarea acestora pe o imprimanta.

Interfata de comunicatie intre procesele utilizator si dispozitivele fizice de intrare-iesire este constituita de numerele logice. Fiecarui dispozitiv de intrare-iesire i se ataseaza un numar logic, fiecare proces stabilindu-si o corespondenta proprie intre numerele logice si dispozitivele fizice, corespondenta ce se poate modifica in orice moment, asigurindu-se astfel o independenta a proceselor fata de dispozitivele de intrare-iesire. Pentru fiecare proces va exista o tabela de numere logice, de lungime variabila care se va plasa in antetul procesului.

Driverele de intrare-iesire indeplinesc urmatoarele functii: prelucrarea intreruperile externe generate de dispozitivele periferice respective, initiaza operatiile de intrare-iesire, genereaza terminarea anormala a operatiilor de intrare-iesire si efectueaza anumite functii specifice echipamentelor periferice aferente. Driverele sint in prezent parte integranta a Monitorului, putind apela o serie de rutine ale acestuia si putind fi apelate de acesta pentru: tratare intreruperi, initiere intrare-iesire, depasire timp (time-out) alocat echipamentului, terminare intrare-iesire si revenire din avarie. La efectuarea operatiilor de intrare-iesire driverul foloseste structuri de date in concordanta cu interfata dispozitivului de intrare-iesire.

Cererile de intrare-iesire sint utilizate cind se solicita efectuarea unor operatii de intrare-iesire. Ele sunt servicii sistem, apelate de procese in scopul realizarii unei multiplexari a utilizarii dispozitivelor periferice de mai multi utilizatori simultan. Cererile se gasesc plasate in sirul de intrare a driverelor in

functie de prioritata pe care o are procesul respectiv.

Sistemul de gestiune a fisierelor este plasat la nivelul superior al sistemului de intrare-iesire, permitind accesul la configuratia de intrare-iesire data, independent de echipament. Plasarea acestui element in cadrul SDM este mai dificila, fiind posibila numai la S.I.I. Celelalte elemente insa pot fi foarte bine asimilate la nivelul SDM. Plasarea acestor elemente in cadrul SDM duce la micsorarea monitorului si implicit la o mai buna utilizare a memoriei operative prin diminuarea spatiului ocupat si eliberarea accesului de o serie de cereri.

SDM pe linda sarcinile clasice indeplinite de cupluri privind transferul de informatii intre sistemul de calcul propriu-zis si UDM, va trebui sa fie dezvoltat pentru a rezolva noile sarcini. Realizarea de SDM microprogramate utilizind microprocesoare si avind o memorie interna cu o capacitate care pe linda stocarea microprogramelor de utilizare generala in transferul de date pot permite si stocarea unor rutine ale sistemului de intrare-iesire devine posibila datorita dezvoltarilor tehnologice actuale. Rezolvarea problemei duce la aparitia unei intrebari de fond: ce se va intimpla cu S.O.? Exista doua cai de solutionare si anume:

- S.O. ramane neschimbat si hardware-ul va fi realizat in asa fel incit schimbarile survenite sa fie "transparente" pentru S.O. Solutia duce la complicarea hardware-ului si nu vizeaza ridicarea performantelor de ansamblu ale sistemului.

- S.O. este adaptat schimbarilor aduse, incercindu-se optimizarea secventelor de dialog si schimburi de informatii intre noui S.O. si SDM. Solutia este recomandata la realizarea unor sisteme de calcul noi, cu asigurarea software aferent, nefiind recomandata pentru sistemele de calcul ce rezulta ca o dezvoltare a unor sisteme mai vechi, deoarece se pierde compatibilitatea la nivel de familie de sisteme.

Rularea subprogramelor de intrare-iesire in cadrul SDM alaturi de microprogramele specifice cuprului, ridica problema sincronizarii acestora, metoda sincronizarii cu semafoare fiind una din caile eficiente de solutionare a problemei.

SDM devenind un subsistem autonom, cu independenta avansata hardware si software, fiind o sursa de informatii de care poate beneficia unul sau mai multe sisteme de calcul, deci fiind un S.I.I., permite o organizare mai buna a informatiilor pe UDM, precum si o imbunatatire a accesului la informatie. Se pot organiza tabele care sa cuprinda toate inregistrarile aferente unui proces, aceste tabele fiind pastrate in conformitate cu un algoritm de utilizare, fisierile mai des utilizate eliminind fisierile care nu au mai fost utilizate in ultima perioada de timp. Numele fisierelor din tabela, asociate cu locul inregistrarii fizice, pot fi introduse intr-un dispozitiv care va compara permanent cererile de informatii cu amplasarea fizica momentana a ansamblului de capete de scriere-citire, dindu-se intiietate fisierelor la care timpul de acces este minim. Dispozitivul poate fi denumit "cache de accese la fisiere", contribuind efectiv la optimizarea schimbului de date cu UDM.

In domeniul microprogramarii realizarea SDM care sa raspunda sarcinilor enumerate, presupune organizarea speciala a formatului microinstructiunii. La sistemele de calcul microprogramate emularea unui set oarecare de instructiuni nu presupune deplasari simultane cu mai mult de o pozitie a termenilor manipulati de o microinstructiune. Aceasta concluzie se bazeaza pe studiul setului de instructiuni ale calculatorelor produse de firma DEC, de intreprinderea FCE si sisteme IMB sau din seria RIAD produse de diverse firme din tari socialiste. In cadrul SDM se desfasoara operatii de serializare-deserializare a informatiilor (si vice-versa), operatii de detectare si corectie a erorilor, operatii care presupun in general deplasari cu un numar mare de pozitii a termenilor. Pentru a creste eficienta de ansamblu a subsistemului, microinstructiunea specifica SDM va trebui sa permita comanda unor deplasari simultane cu un numar variabil de pozitii. Astfel se va aloca un cimp care sa permita inregistrarea numarului maxim de pozitii ce se doresc deplasate si un alt cimp care sa indice felul si sensul deplasarii.

O alta caracteristica a SDM modern este cerinta de a recunoaste in cadrul dialogului extern instructiunile con-

cise si puternice de intrare-iesire si de a rezolva prin microprogramare sarcinile interne de rutina. In acest fel se poate organiza un sistem ierarhic pe mai multe nivele, de rezolvare a tuturor sarcinilor SDM. Rezolvarea sincronizarilor si a interblocajului intern la nivelul microprogramarii duce la marirea sigurantei in functionare a subsistemului.

Utilizarea tehnicii microprogramarii permite o adaptare usoara a SDM la diversele tipuri de formate de inregistrare. In general se utilizeaza pentru inregistrari anumite formate fixe, dar pentru realizarea compatibilitati cu alte sisteme de calcul poate apare necesitatea lucrului cu un tip de inregistrare special. Un alt impediment in cuplarea oricarui tip de UDM este tipul si valoarea semnalelor de interfata. Prin microprogramare se poate organiza sevenita dorita a dialogului cu UDM. Valoarea semnalelor de interfata ale UDM trebuie sa fie adaptata cu valoarea semnalelor de interfata pe interfata interna a SDM. In general cuplarea nu pune probleme lucrindu-se cu semnale specifice TTL. Daca apare necesitatea cuplarii unui UDM cu alte nivele de semnal, cea mai ieftina metoda este realizarea unui adaptor de interfata. In conditiile unei arhitecturi moderne, care beneficiaza de ultimele realizari ale tehnologiei circuitelor integrate, in locul adaptorului de interfata se poate realiza o interfata analogica, la care nivelul semnalului sa fie programat si comandat dupa caz prin microinstructiunile SDM.

Utilizarea in cadrul SDM a unor memorii tampon cu capacitate de stocare compatibila cu capacitatea de stocare pe o pista a UDM folosita in subsistem, permite ridicarea performantelor subsistemului prin diminuarea timpului de asteptare mediu de ajungere la informatie, echivalent cu timpul in care se efectueaza o semirotatie a pachetului de dicuri. Astfel imediat dupa pozitionarea ansamblului de capete pe cilindrul de lucru se va incepe citirea informatiei de pe pista dorita cu incepere de la preambulul primului sector prezent, informatie fiind transferata in memoria tampon. In momentul atingerii inceputului blocului de informatie utila, se procedeaza la prelucrarea directa a acesteia pina in momentul in care se ajunge la informatie deja inregistrata in memoria tampon. Din acest moment informatie este preluata din memoria tampon, viteza de prelucrare fiind mai ri-

dicata fata de rata de transfer a informatiei de la UDM. Deasemenea UDM se libereaza fiind gata pentru o noua pozitionare. Utilizarea acestei scheme, in cazul pachetului de informatie cu lungime compatibila cu capacitatea de inregistrare a unei piste, poate duce la eliminarea timpului mediu de ajungere la informatie, timp de ordinul zecilor de msec. Prin aceasta metoda de optimizare a modului de ajungere la informatie, combinata cu alte metode deja analizate, randamentul SDM poate fi mult ameliorat. Memoria tampon poate fi comună pentru toate UDM ale subsistemului, in acest caz putind aparea timpii de asteptare pentru utilizarea acesteia. De aceea mai eficientă este utilizarea unei scheme cu două memorii tampon "in tandem" sau a unei memorii tampon cu dublu acces cu posibilitatea scrierii și citirii simultane la adrese diferite. In ambele cazuri in biblioteca de microprograme, va apare un microprogram de gestionare a memoriei tampon și de pozitionare a indicatorilor de stivă pentru scriere și citire.

In cazul SDM se poate realiza gestiunea datelor inregistrate pe UDM din componenta subsistemului precum și o evidență a spațiilor neinregistrate. In acest scop la instalarea unui pachet nou de discuri, se utilizează un microprogram "de aducere la zi" a informațiilor din SDM referitoare la acest pachet de discuri. Informațiile se referă la numele fisierelor, spațiul ocupat și dacă e cazul căruia sistem de calcul aparține fisierul. In scopul simplificării dialogului cu UDM, in partea de cupluri a SDM se pot memora pozițiile fizice reale ale subansamblelor de capete ale UDM din configurație. Realizarea gestiunii datelor la nivelul SDM permite implementarea unor microprograme temporare de studiere a repartizării și mai eficiente a elementelor sistemului de intrare-iesire care sunt acum în sarcina SDM.

## CAP.12. CONCLUZII.

In lucrarea de fata s-a analizat problema cuplarii simultane a UDM la două sau mai multe sisteme de calcul. Cercetările desfășurate pînă în prezent în acest domeniu nu au reusit să rezolve decît anumite aspecte și în gene-

ral s-a procedat la rezolvarea unor cazuri particulare impuse de necesitatea realizarii unor configuratii specifice. Evolutiv incepindu-se cu "dublul acces" s-a ajuns la configuratiile multiprocesor cu procesoare specializate de intrare-iesire si la configuratii moderne cu subsisteme specializate de intrare-iesire. Evolutia conceptiei este strins legata de evolutia tehnologiei circuitelor integrate, creindu-se posibilitatea trecerii unor functii ale S.O. in hardware-ul specific.

Pe linge punerea in evidenta si sistematizarea aspectelor legate de cuplarea simultana, lucrarea cuprinde rezultatele masuratorilor efectuate printr-o metoda originala de masura asupra rezervelor sistemului, in cazul partajarii accesului unui subsistem de catre mai multe sisteme de calcul. Se studiaza de asemenea posibilitatea optimizarii timpului de acces la informatia stocata pe UDM. Fenomenul de interblocaj specific pina acum Sistemului de Operare, putind deveni un factor perturbator in cadrul SDM este studiat detaliat propunindu-se utilizarea unei metode dinamice de prevenire a fenomenului la nivelul SDM. Sporirea sarcinilor SDM ridica probleme speciale de sincronizare interna, rezolvarea fiind posibila prin utilizarea sincronizarii cu ajutorul semafoarelor.

Studiul detaliat al cuplarii simultane a reliefat importanta unor factori si functiuni si a stabilit interdependentele respective. S-a ivit necesitatea definirii unor notiuni noi cum au fost: SDM, modul virtual, capacitatea majora.

In lucrare nu s-a urmarit proiectarea unor dispozitive care sa permita cuplarea simultana a UDM la mai multe sisteme de calcul, dar se dau elementele necesare pentru demararea unui proiect care sa duca la o rezolvare eficienta a problemei. S-au desprins doua domenii de interes: sistemele de calcul mari unde cuplarea simultana si in general problema intrarii-iesirii se poate rezolva prin utilizarea unui subsistem dotat cu putere de calcul si care preia o serie de sarcini ale S.O. si sistemele multiprocesor unde un procesor poate prelua toate sarcinile de intrare-iesire.

Concluzia generala este ca problema cuplarii simultane a UDM la mai multe sisteme de calcul poate fi rezolvata in conditii de eficienta economica, este o pro-

blema de actualitate pentru configurațiile moderne și poate fi dezvoltată odată cu modernizarea arhitecturii sistemelor de calcul.

Contribuțiile originale aduse de autor în lucra-  
re sunt:

a). Prezentarea unitară a aspectelor teoretice și practice legate de cuplarea simultană a UDM la mai multe sisteme de calcul.

b). Analiza critică a modului de realizare a mo-  
dulelor componente ale SDM și a locului SDM în cadrul  
arhitecturii configurațiilor de calcul.

c). Impactul dezvoltării tehnologiilor din dome-  
niul circuitelor integrate și a UDM asupra concepției  
și noilor funcții ale SDM.

d). Definirea unor noi noțiuni necesare pentru  
o mai bună organizare a structurii hardware în vederea  
cuplării simultane a UDM la mai multe sisteme de calcul.

e). Studiul analitic al interfețelor SDM în ve-  
dereea realizării unor interfețe universale care se permi-  
tă cuplarea simultană.

f). Realizarea unei interfețe externe care să  
permită realizarea unei configurații multiprocesor benefi-  
ciara a unui SDM comun.

g). Organizarea "grupului unic" de UDM și a "mo-  
dulului virtual", care permit utilizarea simultană a UDM  
de diferite capacitați.

h). Realizarea unor configurații care permit cupla-  
rea simultană, prin utilizarea unor subansambluri cercetate  
și introduse în fabricație de colectivele conduse de autor  
(sisteme minicalculator INDEPENDENT, UDM-IM29, bus inter-  
calculatoare, sistem de comutare, cupluri intercalculatoare,  
ceasuri de gardă).

i). Analiza strategiilor de alocare și alegerea unui  
model de alocare care să permită implementarea sa pe un  
sistem de calcul în vederea alegerii unei variante optime  
prin modificarea simplă a parametrilor, utilizându-se  
modelarea matematică.

j). Stabilirea unei metodologii de calcul a timpu-  
lui de acces la informația stocată pe UDM în vederea ale-  
gerii unor algoritmi de acces îmbunătătiți.

k). Studiul fenomenului de interblocaj apărut la  
nivelul SDM și posibilitatile de prevenire.

1). Introducerea operatiilor de sincronizare cu semafoare a proceselor care se desfasoara simultan in cadrul SDM, pentru crearea conditiilor de utilizare paralela a suportului software propriu SDM.

m). Stabilirea locului SDM in cadrul multiprocesorului "banalizat" si a configuratiilor ce pot fi realizate in acest context.

n). Analiza teoretica a problemei conflictelor de acces si verificarea practica a concluziilor teoretice prin imaginarea unei metode de masura si realizarea de masuratori pe un sistem monoprocesor cu un montaj de simulare a acceselor multiple si pe un sistem real biprocesor.

o). Elaborarea unei proceduri de stabilire in exploatare a coeficientului real de utilizare a SDM.

p). Prelevarea elementelor din S.O. care pot fi transferate la nivelul SDM, in vederea realizarii unui SDM cu o independenta functionala cit mai avansata si pentru eliberarea sistemului de calcul propriu-zis de o serie de sarcini de intrare-iesire.

r). Precizarea unor perspective de interes in domeniul operatiilor de intrare-iesire si de cuplare simultana a UDM la mai multe sisteme de calcul in special, precum si a S.I.I. in cadrul modernizarii arhitecturii sistemelor de calcul.

## PRESCURTARI

AD	- Adaptor
ADM	- Acces Direct la Memorie
bpi	- bit per inch (cifra binara pe 2,54 mm)
c.b.	- cifra binara
CADM	- Cuplaj cu ADM
CS	- Cuplaj simplu (fara ADM)
CTD	- Cerere bus pentru transferul de date
DAB	- Dublu Acces Bicalculator
DAM	- Dublu Acces Monocalculator
DEC	- Digital Equipments Corporation - SUA
DM-29	- Unitate de Discuri Magnetice cu capacitatea de 29 Moct. (proiect ITC 1975)
FIFO	- First In First Out (Primul intrat, primul iesit)
I-100	- Minicalculatorul INDEPENDENT-100 (in fabricatie)

la ICE din 1979)  
I-102F - Minicalculatorul INDEPENDENT-102F (in fabricatie la ICE din 1982)  
M - Memorie  
MB - Multiprocesor Banalizat  
PDP - Programed Devices Processor  
SATF - Shortest Acces Time First (Cel mai scurt timp de acces, primul)  
SBM - Subsistem de Banda Magnetica  
SDM - Subsistem de Discuri Magnetice  
SII - Subsistem de Intrare-Iesire  
SO - Sistem de Operare  
tpi - tracks per inch  
UC - Unitate Centrala  
UDA - Unitate cu Dublu Acces  
UDM - Unitate de Memorie cu Discuri Magnetice  
USM - Unitate de Schimburi Multiple  
VLSI - Very Large Scale Integrated (integrat pe scara foarte larga)  
<= - mai mic sau egal  
>= - mai mare sau egal  
==> - implica

#### B I B L I O G R A F I E

1. Comtre Corporation - "Multiprocessor and Parallel Processing". John Wiley Sons New York, London 1979.
2. "Orientarile generale cu privire la intocmirea planului cincinal de dezvoltare economico-sociala a Romaniei in perioada 1981-1985". Conferinta Nationala a P.C.R. din 7-9 decembrie 1977.
3. "Raport de Sons/Traitancs de la Telemecanique" - October 1973.
4. "Single - Chip Microcomputer Focus of Intence Price Battle". Electronic News vol 22.No.1157. Nov.1977
5. Alexander, Michael T., "Time Sharing Supervisor Programs".

- University of Michigan 1970.  
"Fourth - Generation Hardware".  
Datamation Jan.1967.
- "Common Element Key to Multiprocessor  
Architecture". Computer Design. Oct.1981.
- "Hardware Monitoring of Real-Time  
Computer System Performance". Digest of  
1971 IEEE International Computer Society  
Conference 1971.
- "Modular Minicomputers Using Microprocessor". IEEE Transactions on Computers.  
Vol. C-29. No.2. Feb.1980.
- "Experimental Evolution of System  
Performance". IBM System Journal  
Vol.12.1973.
- "Performance Criteria and Measurement  
for a Time-Sharing System". IBM.  
System Journal Vol.10.No.3. 1971.
- "A Study of Replacement Algorithms for  
a Virtual Storage Computer". IBM.  
System Journal. Vol.4.1966.
- "A Panel Session - Computer Structure  
- Past, Present and Future". Fall  
Joint Computer Conference 1971.
- "Computer Structures: Readings and  
Examples", Mc.Graw Hill New York 1971.
- "FPLA Arbiter Concept Adapt to  
Application Needs". Computer Design  
June 1981.
- "Automating Judgmental Decision  
Making for a Serious Medical Problem".  
Management Science 17. No.8. Apr.1971.
- "Statistical Analysis of Non-Homogeneous  
Poisson Processes". Processes Conference  
on Stochastic Point Processes.  
Ed. P.A.W. Levis, New York, Wiley.
- "Discurile flexibile ca periferic al  
sistemului de calcul FELIX".  
Sesiunea de Comunicatii Stiintifice a  
Institutului Politehnic "Traian Vuia" -  
Timisoara 1974.
- "Metode si dispozitive de masurare a

- preciziei de pozitionare a sistemului de capete magnetice din unitatile de discuri magnetice". Sesiunea de Comunicari Stiintifice a Institutului Politehnic Iasi 1972.
- 20.Bulgakov R. si M.Rosu "Realizarea compatibilitatii unitilor de discuri magnetice cu interfața IBM la interfata calculatorului FELIX C-256". Sesiunea de Comunicari a Academiei R.S.R. Oct.1973.
- 21.Burns, J.F. "Greater Throughput with Multiple Array Processors". Computer Design Sept.1981.
- 22.Contrell, H.N. "Designing for Measurement". Digest of 1971 IEEE International Computer Society Conference 1971.
- 23.Coffman, E.G. si R.C.Wood "Interarrival Statistics for Time-Sharing Systems". Communication of the ACM 9.Jul.1966.
- 24.Cohen, E. "Simetric Multi-Miniprocessor: A Better Way to Go". Computer Decis 16 - 20 Jan.1973.
- 25.Cook, R.W. si M.J. Flynn "System Design of a Dynamic Microprocessor". IEEE Transaction on Computer Vol.C-19 No.3. Mar.1970
- 26.Conway, R.W.Wal.Maxwell L.W.Miller "Theory of Scheduling". Adison - Wesley 1967.
- 27.Crocus "Systemes d'Exploitation des Ordinateurs". Dunod 1975.
- 28.Denning, P.J. "Third Generation Computer Systems". Computering Surveys 3 - 4 Dec.1971.
- 29.Denning, P.J. "Thrashing - Its Causes and Prevention". Fall Joint Computer Conference 33. 1968.
- 30.Dennis, J.B. "Program Structure in a Multiacces Computer" MIT Project MAC Report MAC-TR-11.
- 31.Dijkstra, E.W. "Cooperating Sequential Processes in Programming Languages". Academic Press 1967.
- 32.Drummond, M.E.jr. "Evaluation and Measurement Technique for Digital Computer Systems" - Prentice Hall, New Jersey 1973.

- 33.ENSIMAG-AMC-AFLET "International Workshop on Computer Architecture". Grenoble. June 26-28th. 1973.
- 34.Ferdinand, A.E. "An Analysis of the Machine Interference Model". IBM Systems Journal Vol.10. No.2. 1971.
- 35.Finkel, R.A. si  
M.H. Solomon "Processor Interconnection Strategies". IEEE Transactions on Computer Vol. C-29 No.5. May 1980.
- 36.Flores, I. "Computer Organisation". Prentice-Hall New Jersey 1969.
- 37.Flynn, M.J. "Some Computer Organisation and Their Effectiveness". IEEE Transactions in Computer Vol C-21. No.9. Sept.1972.
- 38.Freiberg, W. "Statistical Computer Performance Evaluation". Americ Press New York 1972.
- 39.Gibson, D.H. "Consideration in a Block-Oriented System Design. Summer Joint Computer Conferance, 1967.
- 40.Gostelow, K.P. si  
R.E.Thomas "Performance in a Simulated Dataflow Computer". IEEE Transaction on Computer. Vol. C-29. No.10. Oct.1980.
- 41.Hanssmann. F.,  
W.Kistler si  
H.Schulz "Modeling for Computer Center Planning". IBM Systems Journal Vol.10. No.4. 1971.
- 42.Hellerman H., "Digital Computer System Principle". Mc.Graw - Hill New York 1967.
- 43.Hellerman H., si  
H.J.Smith "Throughput Analysis of Some Idealized Input" "Output and Compute Overlap Configurations". Computing Surveys. Vol.2 No.2. 1970.
- 44.Herman, D.H. "A Computer Evaluation Tool". Data-mation Feb.1967.
- 45.Hoogland. A.S. "Magnetic Recording Storage". IEEE Transactions on Computers Vol.C-255 No.12 Dec.1976.
- 46.Hoogland. A.S. "Mass Storage - Past, Present and Future" Computers, 6 - 8 sept.1973.
- 47.Hodges, D.A. "Trends in Computer Hardware Technology". Computer Design Vol.15 No.2.

- Feb.1976.
- 48.Husson, S.S.  
"Microprogramming Principles and Practices". Prentice Hall iuc. Englewood Cliffs New Jersey 1971.
- 49.I-100  
Documentatia tehnica a minicalculatorului INDEPENDENT 100". 1977 - 1980.
- 50.Jafari. H.,  
T.G.Lewis si  
J.D.Spragins  
"Simulation of a class of Ring-Structured Networks". IEEE Transactions on Computers Vol. C-29. No.5. May 1980.
- 51.Jenkins. J.H. si  
J.A.Howard  
"A Performance Metric for Evaluating Control-Unit Design" IEEE Transactions on Computers Vol. C-29 No.4. Apr.1980.
- 52.Jouillard si Brard  
"System D'exploitation des ordinateurs". Curs la Universitatea din Grenoble 1981-1982.
- 53.Katz, J.H.  
"Simulation of Multiprocessor Computer System". Spring Joint Computer Conference 1966.
- 54.Kermenji.P. si  
L.Kleinrock  
"A Tradeoff Study of Switching Systems in Computer Communication Networks". IEEE Transactions on Computers Vol. C-29. No.12. Dec.1980.
- 55.Kolence, L.W.  
"A Software View of Measurement Tool" Datamation Jan.1971.
- 56.Lake A., Hermani si  
Kraley M.  
"Flexible Processor Extends" Design Options" Computer Design Nov.1981.
- 57.Lewin D.  
"Theory and Design of Digital Computers" William Clowes Limited London 1972.
- 58.Lewins, P.A.W. si  
P.C.Yuc  
"Statistical Analysis of Program Reference Patterns in a Paging Environment". IEEE Transaction on Computers sept.1971.
- 59.Little, D.D.C.  
"A Proof of the Queking Formula L=a.S". Operations Research 9,3 1981.
60. Loris H.  
"Parallelism in Hardware and Software". Prentice Hall iuc. Englewood Cliffs New Jersey 1972.
- 61.Lucas H.C.Jr.  
"Performance Evaluation and Monitoring". Computer Surveys Vol.3. No.3.

- 1971.
62. Lum V.Y., H.Ling si  
M.Esenco "Analysis of a Complex Data Management Acces Method by Simulation Modeling". AFIPS Conference Proceedings. Vol.37. 1970.
63. Margolin, B.H,  
R.P.Parmelee si  
M.Schatzaff "Analysis of Free - Storage Algorithms IBM System Journal Vol.10. No.4. 1971.
64. Maltson R.L., J.Gecsei  
D.R.Slutz si  
J.L.Taiger "Evaluation Techniques for Storage Hierarchis". IBM System Journal Vol.9. No.2. 1970.
65. Mc.Grew, M.J.  
. "Measuring for Design". Digest of 1971 IEEE International Computer Society Conference 1971.
66. Meinadier, J.P. "Structure et Founctionnement des Ordinateurs" Librairie Larousse 1971.
67. Miller, J.S. si altii "Multiprocessor Computer System Study Intermetric inc. Cambridge Mass. May 1966.
68. Nadir.J. si  
B.Mc.Carmick "Bus Arbiter Streamlines Multiprocessor Design" Computer Design Jun.1980.
69. Padua D.A., D.J.Kuck  
si D.H.Lawrie "High-Speed Multiprocessor and Compilation Technique" III Transactions on Computers Vol. C-29 No.9. Sep. 1980.
70. Pradhan, D.K si  
K.L.Kodandapani "A Uniform Representation of Single and Multistage Interconecting Network Used in Single Instruction Multiple Data Stream (SIMD) Machines". IEEE Transaction on Computers Vol. C-29 No.9. 1980.
71. Rauscher T. si  
P.Adams "Multiprogramming: A Program and Survey of Recent Developments", IEEE Transactions on Computers Vol. C-29 No.1. Sept. 1980.
72. Reiner H. si Z.Rodney Workshop on the "Microarchitecture of Computer Systems". North-Holland American Elsevier Nice June 23-25th 1975.

- 73.Rogojan A. "Curs de calculatoare numerice"  
Vol.1 si 2 Ed.I.P.Timisoara 1973.
- 74.Rony,F.R. "Interfacing Fundamentals:  
Conditional I/O Using Two Micro-  
computers". Computer Design Aug.  
1980.
- 75.Rony F.R. "Interfacing Fundamentals" Bidirec-  
tional I/O Using Two Semaphores".  
Computer Design Apr.1981.
- 76.Rony F.R, "Interfacing Fundamentals: 2 wire  
Handshake Using Two Microcomputers".  
Computer Design. Jun.1981.
- 77.Rosu M. si  
Bulgacov R. "Consideratii asupra utilizarii  
motoarelor lineare in echipamentele  
periferice din configuratia calcula-  
toarelor numerice". Sesiunea de  
Comunicari Stiintifice a Institutului  
Politehnic Iasi 1972.
- 78.Rosu M. si  
Bulgacov R. "Criterii de alegere a memorilor  
externe" Automatica si Electronica  
Nr.5 Oct.1973.
- 79.Rosu M. si altii "Cu privire la tehnica masurarii unor  
parametri fizico-mecanici si elec-  
trici". Metalurgia nr.3 1964.
- 80.Rosu M. "Matrice decodificatoare" Buletin  
tehnic MFA Nr.3 1966.
- 81.Rosu M. si  
Bulgacov R. "Noi sisteme de servoreglare a moto-  
rului de actionare a dispozitivului  
de pozitionare a sistemului de cape-  
te din unitatile de discuri magnetice".  
A 3-a Conferinta Internationala a  
Electricienilor Bucuresti. Sept.1972.
- 82.Rosu M. si altii "Unitatea de legatura cu acces optim  
pentru unitatile de discuri de mare  
capacitate". Sesiunea de Comunicari  
Stiintifice a Institutului Politehnic  
Timisoara. Mai 1974.
- 83.Samsen, G.R. si  
R.D.Hudson "Bus Adapter Simplifies Interprocessor  
Communication". Computer Design Dec.1980.
- 84.Schwetman, H.D. "A Study of resource Utilisation and  
Performance Evaluation of Large Scale  
Computer System". TSN-12 Computation

- Center The University of Texas at  
Austin Jul.1970.
- 85.Schedler G.S. si  
S.C.Yang  
"Simulation of a Model of Paging System  
Performance". IBM System Journal.  
Vol.10. No.2. 1971.
- 86.Shore J.E.  
"Second Thoughts on Parallel  
Procesing". IEEE INTERCON Proc.1972
- 87.Siegel, H.P.  
"The Theory Underlying the Parti-  
tioning of Permutation Networks".  
IEEE Transaction on Computers  
Vol. C-29 No.9. Sept.1980.
- 88.Smith, T.B.  
"A Highly Modular Fault - Tolerant  
Computer System". Massachusetts  
Institute of Technology 1970.
- 89.Spencer, F.R.  
"Interaction of VLSI Technology  
Progress with Minicomputer Product  
Development". IEEE Journal of Solid-  
State circuits Vol.Sc.14. No.2 Apr.1979.
- 90.Stang H. si  
P.Sonthgate  
"Performance Evaluation of Third Gene-  
ration Computing Systems" Datamation  
Nov.1969.
- 91.Strauss. J.C.  
"A Simple Thruput and Response Model  
of EXEC under Swapping Saturation".  
AFIPS Conference Proceeding Vol.39 1971.
- 92.Traiger.I.L. si  
R.L.Mattson  
"The Evaluation and Selection of  
Technologies for Computer Storage  
Systems, Magnetion and Magnetic Mate-  
rials". AIP Conference Proceedings  
No.5. Part. 1.1979 1 - 9.
- 93.Tsav, R.F. si  
B.H.Margolin  
"A Multi-Factor Paging Experiment"  
American Press New-York 1971.
- 94.Walter, C.J.  
A.B.Walter si M.J.Bohl  
"Impact of Fourth Generation Software  
on Hardware Design". IEEE Computer  
Group News. Jul.1978, 1-10.
- 95.Warner. C.D.  
"Monitoring A Key to Cost Efficiency"  
Datamation. Jan.1971.
- 96.Weityman C.  
"Aerospace Computer Technology Catch  
up with Ground Gear". Electronics  
Sept. 1972.
- 97.Wood D.C. si  
E.H.Forman  
"Throughput Measurement Using a  
Synthetic Job Stream: AFIPS Conference  
Proceeding Vol.39. 1971.

- 98.Wood, P.E. Jr.  
"Interconnection of Processor and  
Memory in the Multiprocessor System".  
ERC Memo. Feb.1968.
- 99.Zaccoli, M.P. si  
A.C.Sanderson  
"Rapid Bus Multiprocessor Systems"  
Computer Design Nov. 1981.